

INSTITUTUL POLITEHNIC "TRAIAN VUIA"
TIMISOARA
FACULTATEA DE MECANICA

Anna Maria Tache

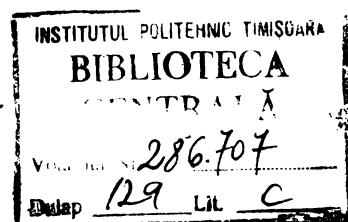
OTELURI DE SCULE DE INALTA REZISTENTA
ALIATE CU Cu - Cr - Mo

CONDUCATOR STIINTIFIC:
Prof.dr.doc.ing. AUREL NANU

BIBLIOTECA CENTRALĂ
UNIVERSITATEA "POLITEHNICA"
TIMIȘOARA

TIMISOARA

1975



Capitolul 1

CONSIDERATII TEORETICE ASUPRA OTELURILOR ALIATE Cu - Cr - Mo DESTINATE SCULELOR PENTRU PRELU- CRAREA LA RECE A METALELOR, FARĂ DEGAJARE DE ASCHII

1.1.- Alegerea materialului pentru sculele folosite în procesul de prelucrare la rece a metalelor

Industria prelucrătoare de metale și aliaje pune probleme din ce în ce mai complexe privind precizia dimensională a produsului, reducerea consumului de metal, productivitatea, durabilitatea sculelor, etc. Printre procedeele cele mai răspândite în toate sectoarele industriei constructoare de mașini, industriei electrotehnicii, industriei alimentare și în general, de bunuri de larg consum, sunt prelucrările prin deformarea la rece datorită caracteristicilor și avantajelor pe care le prezintă :

- reducerea consumului de material și posibilitatea folosirii parțiale a deșeurilor ;
- precizia dimensională și de formă a produsului, desigur fără să mai necesite prelucrări ulterioare ;
- volumul de muncă este redus, putindu-se executa piese de formă complexă care prin alte procedee ar fi dificile sau imposibil de prelucrat. Totodată presele pot fi deservite de muncitori cu calificare inferioară, existând posibilitatea deservirii simultane a mai multor mașini de către un singur om ;
- mărirea rezistenței pieselor datorită întăririi în timpul prelucrării ;
- creșterea considerabilă a productivității prin extinderea mecanizării și automatizării ;
- folosirea sculelor combinate simultan sau succesiv, cu dispozitive de avans automat, etc.

Dezavantajele prelucrărilor prin deformare la rece sunt în principal următoarele :

- proiectarea și executarea sculelor necesită durată.

mari de pregătirea fabricației și investiții inițiale relativ mari ;

- aplicabilitatea la producția de serie mică este limitată datorită costului ridicat a ștanțelor și matrițelor.

Din aceste motive procedeele de deformare la rece se aplică în ceea mai mare măsură la producția de serie mare sau masă. Există posibilitatea aplicării rentabile și la producția de serie mică prin folosirea de scule universale de construcție simplificată și puțin costisitoare.

Trebue remarcate tendințele actuale - datorită avantajelor procedeelor anterior amintite - de a lărgi domeniul de utilizare spre dimensiuni extreme, piese de gabarit mare (pînă la 10 m) și piese miniaturizate (în industria electronică). Se evidențiază de asemenea tendința de extindere spre grosimi mai mari ale materialului de prelucrat - la decupare, pînă la 25 mm, la perforare, pînă la 35 mm, la ambutizare, pînă la 20 mm, iar la îndoire, pînă la 100 mm.

Caracteristicile tehnologice și de exploatare ale materialelor utilizate, pentru executarea sculelor, a părților active, sunt determinate de condițiile în care se desfășoară procesul de prelucrare. Apar solicitări complexe, mecanice, termice și de uzură ceea ce impune materialelor proprietăți deosebite, duritate ridicată, rezistență la uzură, compresiune și încovoiere mare cît și o tenacitate relativ bună.

Elementele active sunt supuse unor solicitări dinamice, puternic concentrate pe muchiile sau suprafețele de lucru. Tensiunile de contact, ce apar în timpul prelucrării, sunt cauzate de momentele de încovoiere și de răsucire și pot provoca deformarea și ruperea elementelor active și astfel scoaterea lor prematură din uz.

Datorită frecvenței mari a ciclului de lucru și a presiunilor mari apar solicitări termice, încălziri ale muchiilor active și care pot provoca, prin fenomene de revenire, scăderea durității sculelor și totodată a rezistenței la uzură.

Solicitări la uzură apar și la prelucrarea materialelor dure cît și a celor moi. La prelucrarea materialelor moi, uzura se produce datorită particulelor de material care aderă pe părțile tăietoare, favorizând uzarea.

Se impune de asemenea, ca sculele să aibă o durabilitate-

te ridicată și să asigure o calitate bună a produsului.

Durabilitatea sculelor este un factor important al productivității și contribuie în mod hotărîtor la creșterea rentabilității procesului de fabricație. Se apreciază după numărul de piese care se pot executa pînă la uzura sculei sub limita admisibilă. Se consideră următoarele forme ale durabilității :

- durabilitatea între două ascuțiri sau reparări consecutive ale pieselor de lucru ;
- durabilitatea pînă la înlocuirea elementelor active ;
- durabilitatea pînă la uzarea completă.

Indiferent care formă se consideră, durabilitatea sculelor este puternic influențată de caracteristicile materialului de prelucrat, de compozitia chimică și tratamentul termic al sculelor, de tipul sculei, de operația de executat.

Pînă în prezent, durabilitatea a rămas mai mult o noțiune convențională, neputind fi generalizată datorită complexității factorilor influenți.

Chiar și în privința caracteristicilor reprezentative nu există încă o concepție unitară de apreciere pentru că proprietățile de rezistență impuse, chiar a unor scule construcțiv simple, de același tip, sunt diferite, funcție de natura, grosimea materialului de prelucrat. De exemplu, foarfecile de tăiat tablă groasă sunt solicitate la uzură, compresiune și incoacere și ca atare reclamă, pe lîngă proprietățile de rezistență, și o tenacitate bună, pe cînd cele pentru tablă subțire, trebuie să fie dure, rezistente la uzură, cu tăiș bine ascuțit.

Tinînd seama de aceste caracteristici complexe, ar trebui ca conținutul în carbon și în elemente de aliere ce formează carburii, să fie relativ redus, pentru a asigura o tenacitate suficient de bună, pentru a nu se distrugă scula sub solicitările mecanice din timpul luorului. În acest caz însă, duritatea și deci și rezistența la uzură sunt reduse ceea ce duce la scoatere prematură din uz. Aceste caracteristici sunt asigurate de conținuturi ridicate în carbon și elemente de aliere ce formează carburii, asociate cu o tehnologie corespunzătoare de prelucrare, avînd în vedere totodată că la unele scule se pune problema menținerii unei anumite plasticități a miezului prin călire ne-pătrunsă, ori majoritatea elementelor de aliere uzuale măresc călibilitatea.

Din cele de mai sus reiese că problema alegerii unui material optim pentru elementele active ale diferitelor scule, este foarte complexă și dificilă. La noi se utilizează actualmente diferite aliaje :

- fonte speciale aliate cu crom, mangan, nichel ;
- oțeluri carbon hipereutectoide cu călibilitate redusă - OSC 10 ; OSC 11 ; OSC 12 ;
- oțeluri cu conținut ridicat de crom, în special de tip ledeburitic, cu călibilitate mare și variații minime de volum la călire - C 120 ; VMoC 120 ; VWC 62 ; VMoC 15 ;
- oțeluri hipoeutectoide și aliate cu tenacitate ridicată - OSC 7 ; OSC 8 ; VSCW 20 ; VSC 13 ; VNO 6 ;
- aliaje dure, pentru armarea elementelor active ale scuclor.

Este de remarcat categoria largă de materiale utilizate datorită proprietăților unilaterale, în deosebi în privința durității și a rezistenței la uzură pe de o parte și a tenacității pe de altă parte.

Oțelurile carbon se supun unui tratament termic fiind compus din călire, în apă pînă la OSC 10 și apă sau ulei la OSC 11 și OSC 12, urmată de revenire joasă între 425...573⁰K (150...300⁰C). Călibilitatea este funcție de temperatura de încălzire, dar trebuie ținut seama că aceste oțeluri sunt sensibile la supraîncălzire, astfel încît în condiții optime de încălzire, călibilitatea este redusă.

Oțelurile cu crom ledeburitice și hipereutectoide au capacitați de călire, mai ales în privința durității obținute, comparabile ; se comportă însă diferit din punct de vedere a călibilității. Oțelurile C 120 și VMoC 120 se călăso pătruns chiar la grosimi de 200...300 mm, cele hipereutectoide însă au călabilitate mai redusă (VWC 62 ; VMoC 15). Oțelurile din această categorie (exceptând VMoC 15) prezintă o bună stabilitate la cald și variații minime de volum la călire. Călirea acestor oțeluri se face curent în ulei sau în băi izoterme urmată de revenire joasă. Caracteristicile mecanice, rezistența la rupere și săgeata la încovoiere sunt sensibil influențate de temperatura de încălzire pentru călire în sensul că se înrăutătesc considerabil cu creșterea temperaturii.

Oțelurile hipoeutectoide aliate au de asemenea o căli-

bilitate bună (40 mm grosime) în afară de oțelul VNO 6 care se caracterizează printr-o călabilitate redusă și un strat călit dur. Oțelul VSC13 prezintă o bună stabilitate la cald însă la temperaturi de revenire mai mari de 573°K (300°C) scade considerabil tenacitatea oțelului, în schimb oțelul VSCW20 prezintă o tenacitate bună, apare doar un domeniu de fagilitare cuprins între 570 și 670°K ($300\ldots 400^{\circ}\text{C}$). Oțelurile din această categorie se utilizează în stare călită în ulei, urmată de revenire joasă, în afară de VSCW20 care se utilizează revenit la $723\ldots 873^{\circ}\text{K}$ ($450\ldots 600^{\circ}\text{C}$).

Deși gama oțelurilor folosită este mare, există încă domenii neacoperite. De exemplu la prelucrarea tablelor silicioase, nici sculele confectionate din C120 nu dă rezultate multumitoare.

1.2.- Considerații teoretice asupra oțelurilor

Gu - Cr - Mo pentru scule de prelucrare

la rece a metalor

Influența elementelor crom și molibden asupra unor caracteristici ale oțelurilor este studiată și larg tratată în literatura de specialitate. Mai puțină atenție este acordată cuprului ca element de aliere deși acesta are efecte de aliere complexe dar deocamdată insuficient exploatație.

Tinând seama de condițiile care se impun sculelor de prelucrare la rece fără degajare de așchii a materialelor metale, s-au cercetat cîteva calități de oțeluri aliante cu crom, molibden și cupru, în vederea obținerii unor oțeluri utilizabile pentru un domeniu larg de solicitări. Este vorba de o categorie de oțeluri la care, pe baza compoziției chimice – în special a conținutului în cupru – și a tratamentului termic final, se poate obține un raport optim între caracteristicile de rezistență și de tenacitate.

In paragrafele următoare se trăie în revistă principalele efecte de aliere ale elementelor utilizate.

1.2.1.- Influența cuprului în oțel

Statisticile mondiale arată o creștere lentă dar continuă a procentajului de cupru în oțel. Astfel, de exemplu, în

oțelui Martin, conținutul mediu în cupru în anul 1940 a fost de 0,15 % iar pînă în 1960 a crescut la 0,2 %. Această creștere lentă dar continuă se datorește în mare parte fierului vechi utilizat la elaborarea oțelului. Fierul vechi introdus în circuit conține cîteva zecimi de procente cupru care, oxidîndu-se mai greu decît fierul, trece la elaborare în oțel /47/. Totodată, există unele minereuri de fier care conțin cupru și care rămîne de asemenea în oțel, astfel încît la ora actuală acest element poate fi considerat ca făcînd parte din categoria elementelor insotitoare.

Literatura de specialitate aduce o serie de date privind influența cuprului asupra unor caracteristici ale oțelurilor de construcții /5/; /34/; /37/; /47/; /54/; /51/; /63/; /75/ și ale oțelurilor de scule /62/; /68/; /69/; /53/; /67/. Se arată că

creșterea conținutului de cupru în oțel duce la mărirea rezistenței la surgere și de rupere (figura 1.1), la rezistența caldă, la corozione și la uzură, influențează favorabil călăribilitatea oțelului și are efecte pozitive în oțelurile de cimentare, nepermînd o carburare excesivă; de asemenea mărește fluiditatea aliajului la turnare.

În oțelurile de construcție se mai manifestă un efect deosebit de favorabil și anume, prezența cuprului deplasează puternic temperatură de tranziție spre valori mici sub 233°K (-40°C) în OLC35, atenuînd

totodată scăderea rezilienței în jurul acestei temperaturi /63/. Reziliența nu scade brusc ci lent și continuu (figura 1.2).

Influența cuprului în general în oțeluri depinde în mare măsură și de existența altor elemente de aliere în compozitie. De exemplu, nichelul mărește solubilitatea cuprului în Fe și deplasează temperatura critică de fisurare la cald spre valori mai mari, peste 1470°K (1200°C); conținuturile mici sau medii de crom în schimb, reduc solubilitatea. Un efect similar cu cromul are și molibdenul, doar că influențează fa-

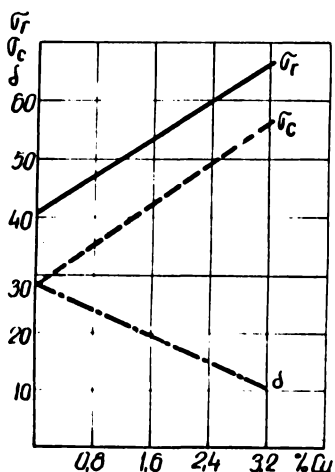


Fig.1.1

vorabil și comportarea la cald, în sensul că reduce susceptibilitatea la fisurare la cald.

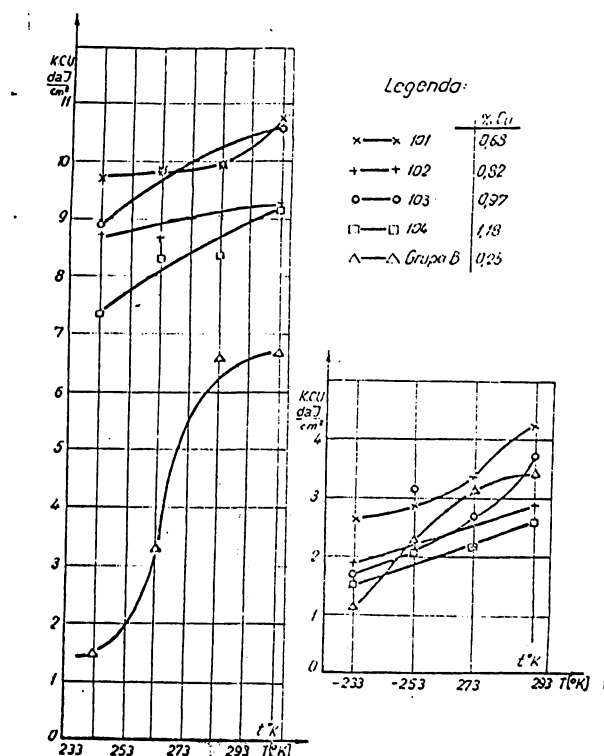


Fig.1.2

printr-o alegere judicioasă a temperaturii de roscocare după laminare /107/ sau a unei vîzeze lente de răcire după laminare astfel încât cuprul să poată redifuza în grăunții învecinați /74/ sau prin adierea otelului cu cantități mici de nichel sau molibden /47/.

În privința folosirii cuprului ca element de aliere în otelurile de scule, literatura de specialitate aduce foarte puține date. Deja în a doua jumătate a secolului trecut s-a folosit în Germania cuprul ca element de aliere în otelurile pentru cilindrii de laminare la recu a metalelor mobile și neforoase, datorită faptului că cuprul asigură o calitate imbunătățită a suprafeței cilindrului, duceând la mărirea capacitatii de polizare a acestuia și deci și la o calitate superioară a calității

Există însă încă o mare rezervă în privința folosirii cuprului ca element de alie re datorită faptului că provoacă fragilitate la cald. La încălzire fierul se oxidează mai ușor decât cuprul, iar acesta, rămânind pe suprafață aproape în stare metalică, patrundând în timpul deformării plastică la temperaturi ridicate pe marginea grăunților din stratul superficial. Dacă ulterior produsul deformat plastic este îndoit apar fisuri intergranulare în zona superficială.

Acoastă influență nefavorabilă poate fi însă ușor înălăturată

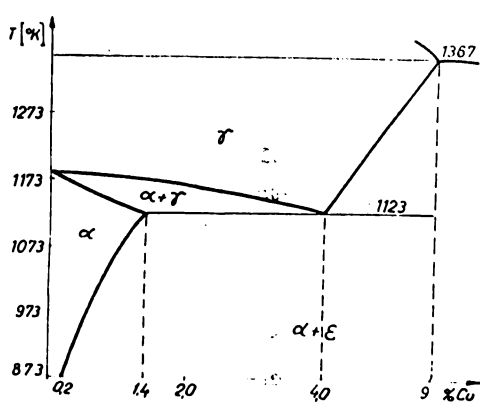
laminatului.

P. van Bleijenbergh și colaboratorii /62/ prezintă în anul 1958 la Bruxelles, în cadrul celui de al 25-lea Congres Internațional de Turnătorie, rezultatele unor cercetări privind îmbunătățirea fontelor și a oțelurilor prin adăosuri de cupru. Se examinează influența cuprului asupra oțelului Crom-mangan pentru bile de mărăi. Oțelul cu 2,00 % Mn și 2,00 % Cu (1,3... 1,6 % C) are o structură austenitică și prezintă după încercări, pierderi în greutate mult mai mici decât oțelul aliat cu crom și mangan, supus acelorași condiții de lucru. Se remarcă la oțelul aliat cu mangan și cupru o mărire a rezistenței la uzură chiar la o duritate mai redusă.

În lucrările /68/ și /69/ există referiri la un oțel complex aliat și care conține 2,5 ... 3,0 % Cu și cu conținut de carbon în jur de 0,7 %, pentru fabricarea foarfecelor pentru tablă groasă. Sculele de prelucrat table groase sunt solicitate în special la compresiune și încovoiere și ca atare se reclamă oțeluri cu o tenacitate bună și totodată o duritate și rezistență la uzură ridicată.

Aceste caracteristici sunt puternic influențate de prezența cuprului datorită influenței acestuia asupra comportării la tratamentul termic (capacitate de călire în aer, durificare secundară prin precipitarea fazii ϵ).

Cuprul este un element gamagon având o influență asemănătoare cu a carbonului asupra temperaturilor de transformare ale fierului. Se observă din figura 1.3 că cuprul se dizolvă în cantitate mult mai mare în fierul δ decât în fierul α . Fierul δ poate dizolva maximum 9 % Cu la temperatura de 1367⁰K (1094⁰C) și 4 % Cu la



la 1123⁰K (850⁰C). Fierul α dizolvă maximum 1,4 % Cu la temperatura de 1123⁰K (850⁰C), solubilitatea scăde pînă la 0,2 %, la temperatura de 873⁰K (600⁰C).

Fe - Cu sint :

- ferită săracă în cupru ($0,2\%$ Cu) numită și faza α
- faza bogată în cupru ($1...2\%$ Fe) numită faza ϵ

Cuprul nu reacționează cu carbonul, nu formează carburi ci se dizolvă doar în soluția solidă, durificând-o.

Datorită solubilității diferite a cuprului în Fe γ și Fe α și a solubilității variabile cu temperatura în Fe α , apar două procedee posibile de durificare prin călire :

a.- Călire din domeniul α . Dacă se încălzește materialul la maximum 1123°K (850°C) și se aplică apoi o răcire rapidă, cuprul dizolvat în Fe α rămâne. La o refacere la $673...723^{\circ}\text{K}$ ($400...450^{\circ}\text{C}$) excesul de cupru față de cît poate dizolva fierul α în condiții de echilibru la temperatură ambientă, se separă sub formă de precipitații fine de fază ϵ , cauzând durificarea aliajului. Durificarea maximă se obține la aliajele cu $1,4\%$ Cu /47/ ; /53/ ; /67/ ;

b.- Călire din domeniul γ . Prin încălzire în domeniul γ urmată de răcire rapidă soluția solidă γ se transformă în soluția solidă α puternic suprasaturată, caracterizată de o tensiune internă puternică, evidențiată printr-o rezistență ridicată la deformare. La revenire, precipită excesul de cupru sub formă de fază ϵ , ajungindu-se astfel la o durificare secundară însotită de o atenuare a fragilității.

In cazul laminateelor, respectiv pieselor forjate se poate obține o durificare suplimentară și o creștere a rezistenței prin simplă refacere la $723...773^{\circ}\text{K}$ ($450...500^{\circ}\text{C}$), cu condiția ca laminatul să fi fost răcit în aer după deformare.

Prezența cuprului în oțel cauzează efecte de aliere foarte interesante. Pe lîngă cele sus amintite, cuprul reduce conținutul în carbon a perlitei și adică deplasează punctul S al diagramei Fe-C spre concentrații mai mici de carbon. Este însă o problemă inerentă deoarece prin aliere cu cupru se coboară temperatura de transformare și ca atare este posibil ca viteza mai redusă a transformării să dea doar iluzia unei deplasări a concentrației critice spre procentaje mai mici de carbon /47/.

Curbele de transformare izotermă a austenitei (figura 1.4) și diagramea constituentilor (fig.1.5) /37/ evidențiază o scădere continuă a vitezelor de transformare ferito-perlitică și bainitică odată cu creșterea conținutului în cupru și toto-

dată o creștere a cantității de bainită și perlită, fenomen ce poate fi cauzat atât de modificarea concentrației eutectoide cît și de deplasarea proceselor de transformare spre durate mai lungi. Stabilizarea austenitei și deci scăderea vitezei critice, conduce la o călăritate mai bună, mai ales la oțeluri bogate în carbon.

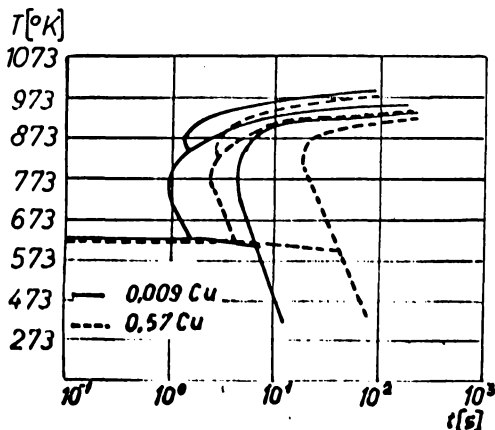


Fig.1.4

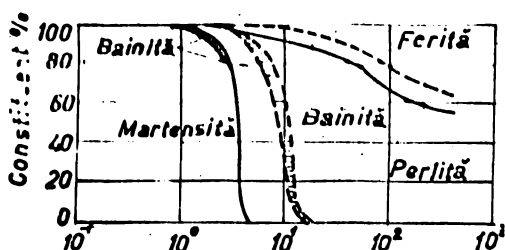


Fig.1.5

1.2.2.- Influența oromului în oțel

În oțelurile oeroestate, oromul este prezent în proporție de 1...1,12 %. Este un element alfagen și la concentrația folosită se dizolvă parțial în soluția solidă, parțial formează cu cementită o carbură aliată de formă $(FeCr)_3C$.

În literatura de specialitate se arată că oromul, în proporție folosită nu influențează practic concentrația în carbon a eutectoidului și cea maximă a austenitei. În schimb, deja 1,00 % orom mărește rezistența la rupere a oțelului cu 8...10 daN/mm² reducind elungirea specifică doar cu 1,5 % /64/.

Oromul dizolvat diminuiază viteza de transformare a austenitei la răcire, reduce viteza critică de călărit, mărește

Tinând seama de influența complexă a cuprului se pot obține caracteristici bune de rezistență, duritate, rezistență la uzură la oțelurile cu conținut mai redus de carbon, concomitent cu indice de tenacitate buni.

călabilitatea otelului, favorizând și călirea în aer. Conodminent cu aceste efecte, cromul influențează favorabil și capacitatea de călire a otelului, capacitatea de durificare datorită formării carburilor. În fine, prezența cromului în otel mărește

stabilitatea la revenire, carburile cu crom având o viteză mică de precipitare din soluția solidă supersaturată. Datorită precipitațiilor de carbură cu crom se constată în domeniul temperaturilor $623-773^{\circ}\text{K}$ ($350-500^{\circ}\text{C}$) un fenomen de durificare secundară. Acest fenomen devine evident însă numai la procentaje mai mari de 4...5 % fig.1.6.

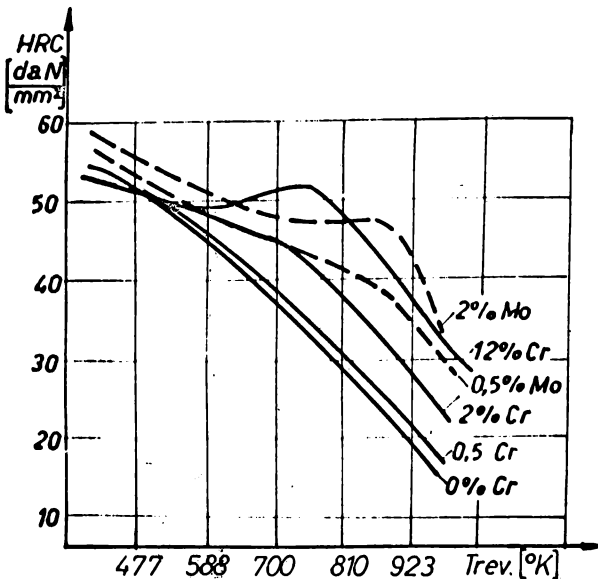


Fig.1.6

1.2.3.- Influenta molibdenului în otel

Molibdenul îngustează asemănător cu cromul domeniul fierului γ , ridică temperaturile A_3 și coboară A_4 . În diagrama Fe - Mo, transformarea $\alpha \rightarrow \gamma$ este micșorată deja la 2,75 % Mo. În aliajele Fe-C-Mo apar de preferință carbură mixte, adică carbură duble de Fe și Mo mult mai stabile decât cementita /45/ /47/. Cementita propriu zisă dizolvă doar puțin molibden. De asemenea apare o carbură de tip $\text{Fe}_{21}\text{Mo}_2\text{C}_6$ și la conținuturi mari de molibden, o carbură de forma $(\text{FeMo})_6\text{C}$. Se presupune însă că compoziția aceastei carbură nu este omogenă ci se situează între $\text{Fe}_3\text{Mo}_3\text{C}$ și $\text{Fe}_4\text{Mo}_2\text{C}$. Rezistența bună la cald și stabilitatea marită la revenire ale otelurilor aliate cu molibden se atrăge toamăi acestei carbură.

Prezența molibdenului în otel mărește mult histerezisul

termic A_{c1} și A_{r1} și A_{c3} și A_{r3} . Astfel, 1% Mo într-un oțel cu 0,9% C coboară punctul A_{c1} , în cazul unei răcori cu o viteză de aproximativ $8^{\circ}\text{K}/\text{min}$, de la 953°K (685°C) la 843°K (570°C). La o răcare cu o viteză de $90^{\circ}\text{K}/\text{min}$, A'_{r1} scade de la 923°K (650°C) propriu ceea ce este și fără adăugă 1% Mo. Valoarea temperaturii A''_{r1} este, se pare neinfluențată, fiind situată la $453 \dots 463^{\circ}\text{K}$ ($180 \dots 190^{\circ}\text{C}$). Rezultă că temperaturile A_{r1} și A'_{r1} sunt puternic depășite de prezența molibdenului în oțel, chiar pînă în domeniul bainitic (figura 1.7). În figura 1.8 se redă influența carbonului și a molibdenului asupra structurilor obținute la răcire în aer liniștit, de la temperatura de 1173°K (900°C).

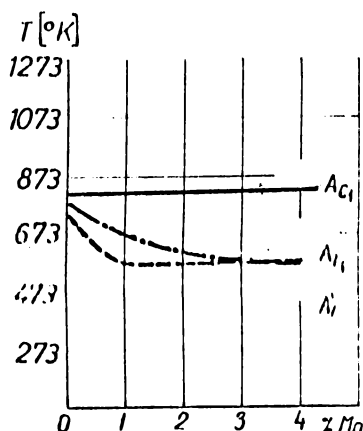


Fig.1.7

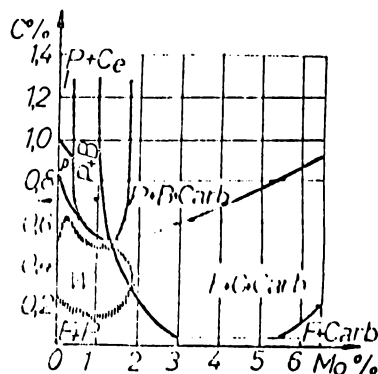


Fig.1.8

Molibdenul stabilizează puternic austenita în treapta perlitică, ridicând ușor temperatură acesteia. În treapta bainitică însă, stabilitatea austenitei este mai rodusă, probabil datorită faptului că această transformare se bazează doar pe difuziunea atomilor de carbon ($D_{\text{MoC}} = 0$; $D_0 \neq 0$). Totodată, molibdenul stabilizând austenita, reduce viteza critică și influențează favorabil călăribitatea.

Molibdenul, ca și oromul de altfel, influențează puternic și comportarea oțelului la revenire. Oțelurile cu orom și molibden sunt caracterizate de o stabilitate marită la re-

venire. Aceste elemente influențează totodată și viteza de înmuiere. Aceasta nu mai este o funcție continuă de temperatură. Din figura 1.6 se constată că duritatea desorește la început continuu cu creșterea temperaturii de revenire, apoi, la conținuturi mici de crom și molibden, apare doar un interval de stagnare a fenomenelor de revenire, respectiv înmuiere, însă la conținuturi mai mari (2 %) se constată un efect de durificare secundară cauzat de precipitarea carburilor din soluția solidă suprasaturată.

La conținuturi relativ mici de elemente de aliere comparativ cu cantitatea de fier și datorită vitezei mici de difuziune a atomilor elementelor de aliere, în timpul revenirii precipitată mai întâi carbura de fier iar scăderea inițial rapidă a durității evidențează fenomenul de coalescență a acestuia. Pe măsură ce crește durata de menținere, mai ales la temperaturi ridicătoare de revenire, la care viteza de difuziune a atomilor elementelor de aliere este mărită, încep să precipite și carburile speciale. Întrucât acest proces are loc după ce coalescența carburilor de fier este avansată, apariția celor speciale, foarte fine, are un efect contrar înmuierii, mai ales în oțelurile cu conținut mărit de elemente de aliere.

Trebue remarcat încă un efect deosebit de favorabil a molibdenului și anume, deja conținuturi de câteva zecimi de procente în oțel, reduc sau anulează fragilitatea la revenire și fragilitatea la cald. La oțeluri de îmbunătățire, de exemplu, molibdenul are un efect dublat față de wolfram, motiv pentru care, acesta din urmă a fost abandonat din punctul de vedere al efectului asupra fragilității la cald sau la revenire ale oțelurilor.

1.2.4.- Necessitatea elaborării unor oțeluri aliante cu cupru, crom și molibden

In paragrafele anterioare s-au expus succint condițiile complexe pe care trebuie să le satisfacă un oțel destinat confecționării souivelor de prelucrare la rece ale materialelor metalice fără degajare de așchii. Este de remarcat faptul că aceste oțeluri trebuie să prezinte caracteristici de rezistență ridicate, o rezistență bună la uzură concomitent cu indicii de tena-

citate considerabili. Din cauza acestor caracteristici impuse, materialele folosite pentru confectionarea sculelor sunt diferențiate - de mare duritate, în detrimentul tenacității, de mare tenacitate, în detrimentul durătății și a rezistenței la uzură.

Bazat pe influențele aliatoare pe care le au elementele Cr, Mo și Cu asupra unor caracteristici ale oțelurilor, se contează că sorturile ceroestate pot fi utilizate pentru un domeniu larg de sollicitări. Se pot obține caracteristici de rezistență ridicata, duritate și rezistență la uzură sau indice de tenacitate buni însotiti totodată de valori considerabile de duritate și rezistență la uzură, modificând conținutul în Cu sau temperatura de revenire după călire.

C a p i t o l u 1 2

2.- ELABORAREA SI FORJAREA OTELULUI ALIAT Cu-Cr-Mo

2.1.- Elaborarea sarjelor de otel complex aliat

Tinind seama de influențele singulare ale elementelor de aliere, prezentate pe scurt în paragrafele anterioare, asupra caracteristicilor oțelului, s-au elaborat cîteva șarje cu conținuturi de C, Cr, Mo, P, S constante și de cupru diferite.

Elaborarea s-a făcut la ICEM , într-un cupor ou inducție bazic, de capacitate 50 kg (70 000 Hz). La elaborare s-au respectat întocmai prevederile instrucțiunilor generale pentru elaborarea și turnarea oțelurilor slab aliate cu proprietăți și destinații speciale.

Încărcătura metalică a fost formată din bucate debitate și pregătite anume în scopul elaborării în cuporul ou inducție; compozitia materialelor componente a fost :

- fier vechi : 0,46 % C; 0,91 % Mn ; 0,38 % Si ; urme de P și S ;
- fontă sintetică : 4,39 % C ; 0,15 % Mn , urme de Si ;
- ferosiliciu : 75 % Si ;
- ferochrom : 71,2 % Cr ;
- feromolibden : 62 % Mo ;
- cupru eleotrolitic ;
- aluminiu.

Durată de topire a fost calculată la aproximativ 35 de minute. Imediat după topire s-a îndepărtat zgura și s-a format o zgură nouă din var, magnezită și fluorură de calciu. În această perioadă , temperatura băi măsurată prin imersia unei termocuple, a fost de aproximativ 1803°K (1530°C). Se menționează că temperatura de fluiditate nulă, determinată prin calcul este de 1743°K (1470°C). S-a procedat apoi la desoxidare și aliere.Ca desoxidant paternic s-a folosit aluminiu deoarece asigură și absența porozităților, este economic și practic. Asigură de asemenea îndepărtarea rapidă a suspensiilor de aluminiu, produse ale desoxidării și reduce suspensiile de (SiO_2) și silicoații. Deso-

xidarea se conduce prin precipitare. După aproximativ 5 minute după introducerea aluminiului, operația de desoxidare este terminată și se procedeză la aliere.

La aliere trebuie ținut seamă de :

- necesarul de element de aliere care depinde de pierderile în zgură și de atmosfera cuptorului ;

- momentul și proceful de adăugare a lui, cu scopul măsurării pierderilor, asigurării omogenității chimice și a unei productivități finale ;

- temperatura și intensitatea mișcării băi metalice în momentul și după efectuarea adaosului, scopul fiind același ca mai sus.

Pentru compozitiile utilizate s-a ținut cont de următoarele :

- la carbonul calculat pentru încărcătură, pierderile sunt de 3...5 % ;

- la siliciul și manganul necesar pentru desoxidare, pierderile variază între 10 și 20 % pentru fiecare ;

- la crôm, dacă conținutul este mai mic de 5 % pierderile variază între 3...5 %. Pentru a evita segregarea ferocromului în oțelul lichid este bine ca temperatura să fie suficient de ridicată și baia energetic amestecată;

- la molibden problema este mai complexă. Aceasta este mai puțin avid față de oxigen decât fierul și deci ar putea fi adăugat oricând. Însă datorită temperaturii finale de topire și mai ales a tendinței pronunțate de vaporizare a oxidului său, trebuie introdus în baia metalică, adăugindu-se feromolibdenul, sub formă de bucăți mici, înainte de descărcare. Pentru concentrația de 1 % Mo pierderile se pot compensa prin mărirea adaosului cu 3 %;

- cuprul are o afinitate mai mică față de oxigen decât fierul și prin urmare poate fi adăugat oricând. Având temperatură relativ mică de topire - 1356°K - și o tensiune de vapor la 1873°K de asemenea mică, se poate considera că nu se produc pierderi prin zgură.

Cînd temperatura a ajuns la $1863\dots1873^{\circ}\text{K}$ ($1590\dots1600^{\circ}\text{C}$) s-a trecut la evacuarea și turnarea oțelului, durata fiind de aproximativ trei minute.

Turnarea s-a făcut prin pîlnie intermediară în linguriști hexagonale, invers conice, cu maselotă. Greutatea netă

a lingoului a fost de 18 kg.

După solidificare, la cca. 10 minute de la terminarea turnării, lingourile au fost dezbatute, la o temperatură de peste 1023°K (750°C) și introduse în cutii cu nisip cald pentru a li se asigura o răcire lentă.

S-au elaborat în felul acesta șase șarje cu conținuturi variabile de cupru, a căror compozitie este dată în tabelul 2.1.

Tabelul 2.1.

Sar-ja	Compoziția chimică (%)							
	C	Si	Mn	P	S	Cr	Mo	Cu
A	0,74	0,37	0,50	0,015	0,008	1,12	0,91	1,43
A'	0,74	0,37	0,59	0,011	0,005	1,05	1,00	1,50
B	0,70	0,34	0,57	0,015	0,007	1,12	0,98	2,02
B'	0,74	0,37	0,59	0,011	0,005	1,05	1,00	1,90
C	0,71	0,37	0,59	0,016	0,010	1,12	1,00	2,29
C'	0,74	0,37	0,59	0,011	0,005	1,05	1,00	2,40

După răcirea completă, lentă în nisip cald, duritatea s-a menținut încă relativ ridicată – tabelul 2.2.

Tabelul 2.2.

Sarja	Duritatea după turnare		
	HB	HB _{med}	HRG _{med}
A; A'	388		
	383	389	39,8
	398		
B; B'	464		
	464	464	45,7
	464		
C; C'	398		
	388	397	40,3
	404		

Lingourile au fost apoi forjate în bare rotunde cu $\varnothing 14...15$ mm.

2.2.- Forjarea si recoacerea otelurilor elaborate

2.2.1.- Forjarea otelurilor Cu-Cr-Mo . Forjabilitatea

In vederea stabilirii comportării otelurilor la deformarea plastică la cald s-au executat încercări de forjabilitate conform normativelor în vigoare (STAS 2233-72) pe probe cilindrice cu $L = 2D$ ($L = 30 \text{ mm}$; $D = 15 \text{ mm}$).

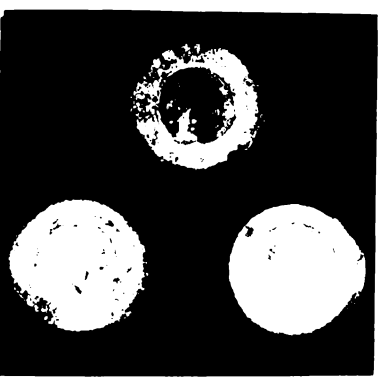
Intervalul optim s-a determinat prin stabilirea plasticității prin refugare liberă. Ca temperatură de început de deformare s-a ales, pe baza diagramele de echilibru Fe-Cu și Fe-C, ținând seama la aceasta din urmă de titlul fictiv în C (cap.3), temperatura de 1423°K (1150°C).

Temperatura de sfîrșit de deformare s-a stabilit prin încercări repetate din 50 în 50°K . S-a obținut astfel un interval optim cuprins între 1423 și 1123°K (1150 și 850°C).

Durata de încălzire, fiind vorba de probe cu diametru mic, s-a determinat după criteriile folosite la paragraful 3.4.

Folosind regimul sus menționat s-a procedat la reducerea înălțimii cu 33 ; 50 și 66% a probelor confectionate din șarjele A'; B' și C'. Refugarea a fost executată la o presă cu fricțiune cu cursă reglabilă, printr-o singură lovitură, răcirea făcindu-se în aer liniștit.

In condițiile amintite, forjabilitatea este foarte bună nici o probă nu a prezentat fisuri. In fig.2.1 sunt arătate probele la scara 1:1 pe care s-a efectuat o reducere a înălțimii cu 66% .



In figurile 2.2 a,b ; 2.3 a,b ; 2.4 a,b sunt redată structurile microscopice obținute pe aceste probe în direcția longitudinală și transversală.

In fig.2.2 a; 2.3 a și 2.4 a se observă o structură de călire, de martensită fină. Structurile din figurile 2.2 b ; 2.3 b și 2.4 b prezintă o evidentă orientare a formațiunilor aciculare ceea ce dovedește o curgere, o

Fig.2.1.

deformare considerabilă a materialului la temperatura ridicată, la care s-a executat forjarea.



Fig.2.2 a



Fig.2.2 b

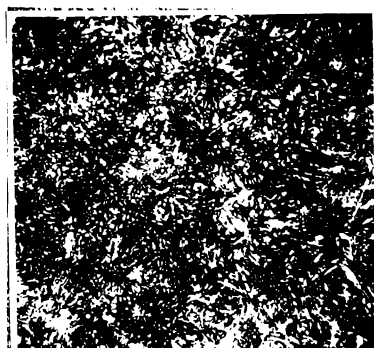


Fig.2.3 a



Fig.2.3 b



Fig.2.4 a



Fig.2.4 b

Rezultă că dacă se execută corect forjarea, există posibilitatea unei căliri directe în aer urmată de o revenire la o temperatură stabilită în funcție de caracteristicile necesare în exploatare.

Din cele prezentate rezultă un regim optim de forjare și anume :

- intervalul de temperatură : $1423 \dots 1123^{\circ}\text{K}$;

- durata de încălzire : 2 min/mm. La piese mici, cu diametru mai mic de 25 mm se poate efectua o încălzire continuă ; în schimb la piese mai mari este recomandabil să se facă o încălzire mai lentă pînă la $820 \dots 870^{\circ}\text{K}$ și apoi o încălzire rapidă ;

- întrucît nu au apărut fisuri nici la probele la care s-a redus înălțimea cu 66 %, se recomandă să nu se efectueze refîncălziri multe pentru a evita pierderile prin oxidare.

2.2.2.- Recoacerea otelurilor clăburate

In urma forjării, ținind seama și de structurile care rezultă la răcire în aer și pentru a obține o duritate cît mai mică, barele au fost supuse unei recoaceri pendulare cu răcire dirijată. S-au efectuat patru cicluri în intervalul $1113 \dots 993^{\circ}\text{K}$ ($840 \dots 720^{\circ}\text{C}$) cu menținere de cîte o oră la fiecare pa-lier. Răcirea s-a făcut conform graficului din figura 2.5.

Temperatura de recoacere s-a ales în funcție de puncte-

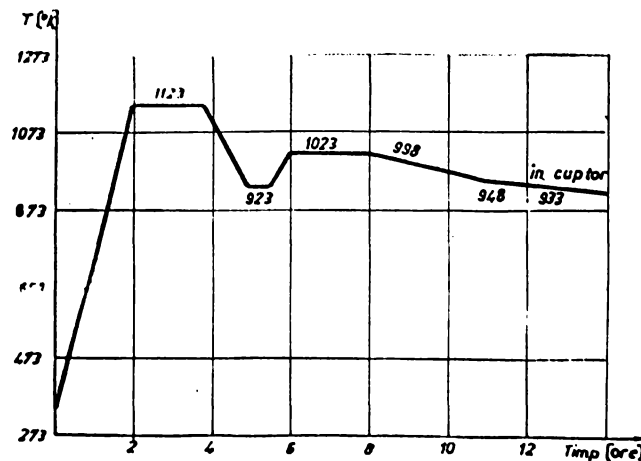


Fig.2.5

le critice stabilite pe cale dilatometrică (cap.3.1).

După forjare și recoacere, barele au prezentat următoarele durități (tabelul 2.3), încă ridicate.

Tabelul 2.3

Sarja	Duritatea după recoacere		
	HB	HB _{med}	HRG _{med}
A; A'	245		
	236	239	21,00
	235		
B; B'	256		
	253	256	24,00
	258		
C; C'	320		
	320	325	33,20
	335		

2.3.- Concluzii asupra elaborării și forjării oțelurilor cercoctate

Elaborarea oțelurilor aliante cu conținuturi constante de C, Cr și Mo și variabile de Cu se recomandă să se facă în cuptor bazic cu inducție, de medie frecvență. Materia primă de mare puritate : fier vechi, fontă sintetică, ferosiliciu, ferocrom, feromolibden, cupru electrolit, aluminiu.

Dezoxidarea se face cu un dezoxidant puternic - aluminiu după care se procedează la aliere, ținând seama de pierderile prin zgură, de elemente de aliere. Turnarea se realizează prin pîlnie intermediară în lingotiere hexagonale, invers conice, cu maselotă.

Lingourile trebuie răcite foarte lent pentru a evita apariția structurilor de călire, foarte dure.

In vederea confectionării probelor și pentru a cerceta capacitatea oțelurilor aliante cu Cr, Mo și Cu de a se forja, s-au forjat lingourile. Pentru a cerceta forjabilitatea s-au

confeționat probe cu $L = 2 D$ pe care s-a stabilit intervalul optim de forjare. Temperatura de început de forjare este 1423°K (1150°C) iar cea de sfîrșit de prelucrare - 1123°K (850°C).

Încercările s-au efectuat conform STAS 2233-72 reducind înălțimea cu 33 ; 50 și 66 %, fără ca să apară fisuri pe probe (fig.2.1) ; ca atare se recomandă folosirea datelor sus amintite pentru prelucrarea oțelurilor.

Nu este recomandată, după cum se va vedea în capitolul următoare, să se aplique o recoacere pendulară, mai dificilă de executat, întrucât problema principală la aceste oțeluri constă în aplicarea unei viteze foarte lente de răcire pînă la temperaturi relativ joase ($450...500^{\circ}\text{K}$). Aceasta datorită stabilității considerabile a austenitei, a histerezisului termic mare. În capitolul 3 se insistă pe larg asupra acestui lucru, demonstrîndu-se că o recoacere obișnuită cu răcire foarte lentă este mai adecovată.

Capitolul 3

3.- TRATAMENTE TERMICE APLICATE OTELURILOR Cu-Cr-Mo

3.1.- Punctele critice ale transformărilor de fază la răcire

Datorită alierii cu cupru, crôm și molibden, este de așteptat ca punctele critice ale transformărilor de fază să fie puternic afectate.

În vederea determinării influenței compozиiei chimice asupra temperaturilor de transformare de fază la răcire, s-au ridicat curbele dilatometrice pentru oțelurile A, B și C. Diagramele astfel obținute sunt reprezentate în figurile 3.1 a, b, c,

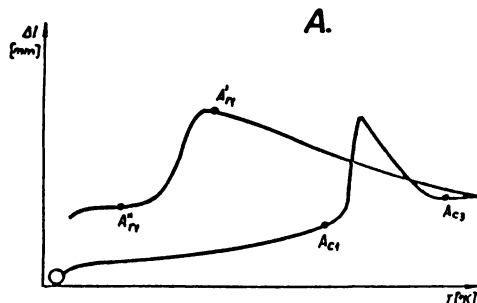


Fig. 3.1 a

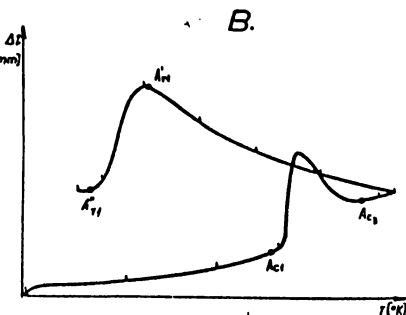


Fig. 3.1 b

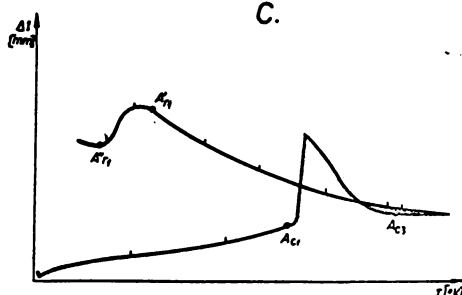


Fig. 3.1 c

iar temperaturile reale de transformare stabilite experimental, sunt treute în tabelul 3.1.

Tabelul 3.1

Sarja	Temperaturi de transformare [°K]				ΔA_1 [°K]	ΔA_3 [°K]
	A_{c1}	A_{c3}	A_{r3}	A_{r1}		
A	1026	1058	721	603	423	334
B	1023	1058	673	593	430	385
C	1040	1073	661	563	477	412

Incerările dilatometrice evidențează diferențe considerabile între temperaturile de transformare la încălzire și răcire – un puternic histerezis termic.

În literatura de specialitate /45/, /47/, se arată că prezența molibdenului în oțel provoacă un histerezis termic puternic, ceea ce are ca urmare apariția unei structuri de tip intermediar, de tip bainitic, chiar la răciri cu viteze relativ lente a oțelurilor aliante cu cantități mai mari de Mo.

La oțelurile studiate se constată însă un fenomen cumulativ, dat de prezența cuprului, Cromului și molibdenului. În cele trei șarje conținuturile de carbon, crom și molibden sunt constante iar cele de cupru cresc de la șarja A spre C.

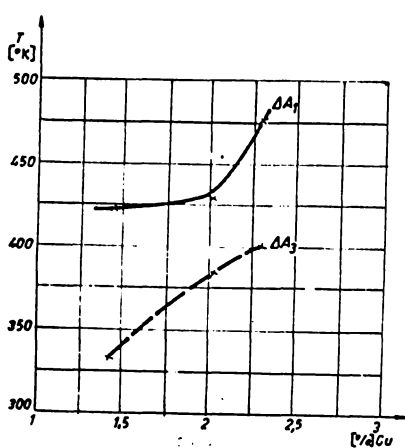


Fig.3.2

Prezența cuprului în compozitie va accentua stabilitatea austenitei la răcire pînă la temperaturi relativ mici și ca a-

Dacă se reprezintă variația diferențelor de temperatură $A_{c3} - A_{r3}$, respectiv $A_{c1} - A_{r1}$ în funcție de conținutul în cupru – figura 3.2 – se evidențează o creștere a diferențelor de la oțelul A la C. Diferența de temperatură ΔA_3 crește de la 334°K la 412°K respectiv ΔA_1 , de la 423°K la 477°K . De aici se poate conclu- de că și cuprul are un efect asupra molibdenului în oțel și anume de întîrziere a transformărilor de fază la răcire.

tare este de așteptat ca oțelurile complexe aliante cu orom, molibden și cupru să aibă o viteză critică de călire redusă, o bună călibilitate și chiar o tendință spre autocălire.

În literatura de specialitate sunt date unele relații care dovedesc preocuparea pentru a găsi posibilități de a determina temperaturile de transformare la răcire, pe baza compoziției chimice /51/, /52/, având în vedere că încercările dilatometric recurgă instalații, material și timp. Unele din aceste relații sunt stabilite experimental /51/ iar altele empiric /52/. Se recomandă :

- pentru temperatură de transformare perlitică :

$$\begin{aligned} a) T_p &= 923 - 11 \text{ Mn} - 17 \text{ Ni} + 17 \text{ Cr } [^\circ\text{K}] \\ b) T_p &= 933 - 17 (\text{Ni} + \text{Mn} - \text{Cr} - \text{Mo}) [^\circ\text{K}] \end{aligned}$$

- pentru calculul temperaturii de transformare bainitică în condiții izoterme se recomandă relațiile /84/ :

$$T_{B1} = 1103 - 270 \text{ C} - 90 \text{ Mn} - 37 \text{ Ni} - 70 \text{ Cr} - 83 \text{ Mo } [^\circ\text{K}]$$

$$T_{B50} = T_{B1} - 60 [^\circ\text{K}]$$

$$T_{Bs} = T_{B1} - 120 [^\circ\text{K}]$$

iar pentru condiții anizotermă :

$$T'_{B1} = T_{B1} - 20 [^\circ\text{K}]$$

$$T'_{B50} = T_{B50} - 25 [^\circ\text{K}]$$

$$T'_{Bs} = T_{Bs} - 75 [^\circ\text{K}]$$

- pentru calcularea temperaturilor de transformare martensitică se recomandă în diferită tratată /51/, /52/ relații discret distinute :

$$a) M_1 = 834 - 474 \text{ C} - 33 \text{ Mn} - 17 \text{ Ni} - 17 \text{ Cr} - 21 \text{ Mo } [^\circ\text{K}]$$

$$M_s = M_1 - 21,5 (\pm 15) [^\circ\text{K}]$$

$$a') M_1 = 785 - 453 \text{ C} - 16,9 \text{ Ni} + 15 \text{ Cr} - 9,5 \text{ Mo} + \\ + 217 \text{ C}^2 - 71,5 (\text{C.Mn}) - 67,6 (\text{C.Cr}) [^\circ\text{K}]$$

$$b) M_1 = 811 - 517 \text{ C} - 33 \text{ Mn} - 18 \text{ Cr} - 16,5 \text{ Ni} - 11 \text{ Si} - \\ - 11 \text{ Mo} - 11 \text{ V } [^\circ\text{K}]$$

$$M_5 = M_1 - (200 \dots 300) [^{\circ}\text{K}]$$

Relația a) este valabilă pentru anumite limite ale compoziției chimice și anume: 0,1 ... 0,55 % C; 0,2...1,7 % Mn; pînă la 5 % Ni; pînă la 3,5 % Cr și pînă la 1,00 % Mo.

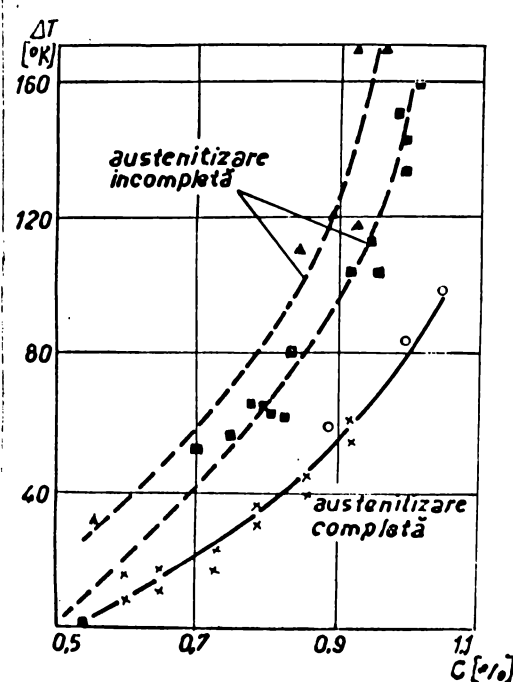


Fig.3.3

Intrucît conținutul în carbon al oțelurilor cercetate depășește limita maximă pentru care este valabilă relația de calcul a temperaturii M_1 , se folosește diagrama de corecție din figura 3.3. /51/.

Valorile calculate cu relațiile sus amintite pentru temperaturile de transformare bainitică și martensitică ale oțelurilor cercetate sunt date în tabelul 3.2-

Comparînd valoarea temperaturilor de transformare stabilite dilatometric cu cele obținute prin calcul, se constată diferențe mari

în privința temperaturilor perlitico.

Temperaturile A_{31} stabilite dilatometric variază între 603 și 563 $^{\circ}\text{K}$ (330 și 290 $^{\circ}\text{C}$) în timp ce calculele au dus la valori situate peste 873 $^{\circ}\text{K}$ (600 $^{\circ}\text{C}$). Aceste diferențe considerabile se pot atribui efectului cumulativ a elementelor de aliere asupra stabilității austenitei, favorizînd, chiar la răcire lentă, apariția unor structuri diferite de ceea perlitică. Intrucît în relațiile recomandate nu apare contribuția cuprului s-a făcut o analogie cu efectul nichelului, analogie evidentiată în mai multe lucrări /51/, /45/, /65/. Se pare însă că în privința transformărilor la temperaturi ridicate, efectul cuprului este mult mai puternic, mai ales în prezența și a al-

tor elemente de aliere, în special a molibdenului.

Tabelul 3.2.

Sar-ja	Temp. perlit [°K]		Temp. bainit. [°K]		Temperatura martensit. [°K]					
	A _{r1a)}	A _{r1b)}	T _{B1a)}	T _{B50}	T _{Bs}	M _{1a)}	M _{sa)}	M _{1a')}	M _{1b)}	M _{sb)}
A	912	935	631	566	456	430	215	449	502	252
B	901	925	608	543	433	429	214	455	502	252
C	897	920	592	527	417	419	204	436	494	244

Experimental s-a dovedit că transformarea perlitică necesită viteză foarte mică de răcire, în general este estompată de prezența elementelor de aliere și în aceste condiții, nu se poate pune problema comparării temperaturilor transformării perlitice obținute prin calcul și pe cale dilatometrică.

Este de remarcat o bună corespondență între temperaturile de transformare A'_r stabilite dilatometric și cele calculate pentru transformarea bainitică, diferențele nu depășesc 30°K. Cercetările structurale efectuate în continuare permit explicarea acestei corespondențe.

Analizând valorile din tabelul 3.2 nu se constată numai o scădere în general a temperaturilor de transformare fazică. Se evidențiază și o certă influență a cuprului. Cu creșterea conținutului în Cu, temperaturile de transformare bazată pe descompunerea austenitei scad, fenomen constat de altfel și experimental.

În ceea ce privește temperatura martensitică, problema este diferită. Relațiile de calcul folosite nu evidențiază vreo influență a cuprului asupra temperaturii M_i respectiv M_s, ceea ce este un lucru pozitiv, mai ales în privința cantității de austenită reziduală. Si alte relații recomandate în literatură /64/, /65/ și cercetate, pe lîngă cele de sus amintite, nu au dus la rezultate principial diferite :

- după Stuhlmann /65/ rezultă pentru :

$$\text{otelul A : } M_i = 498 \text{ °K}$$

$$\text{otelul B : } M_i = 503 \text{ °K}$$

$$\text{otelul C : } M_i = 496 \text{ °K}$$

- după A.A.Popov /109/ rezultă pentru :

$$\text{oțelul } A : M_1 = 470 \text{ } ^\circ\text{K}$$

$$\text{oțelul } B : M_1 = 476 \text{ } ^\circ\text{K}$$

$$\text{oțelul } C : M_1 = 470 \text{ } ^\circ\text{K}$$

Analizând valorile calculate pentru temperaturile de transformare martensitică, se poate presupune că influența carbonului acoperă influența elementelor de aliere la oțeluri slab aliate decarece toate relațiile de calcul au dus la valori maxime ale punctului M_1 pentru șarja B , șarjă cu conținut minim de carbon.

3.2.- Determinarea carbonului echivalent

In numeroase lucrări publicate /52/,/65 II; III; IV/, se recomandă determinarea echivalentului de carbon pentru caracterizarea aliajelor, atât a oțelurilor carbon cît mai ales a celor aliate, în privința caracteristicilor mecanice, a transformărilor de fază, a sudabilității, etc. In acest sens sunt indicate o serie de relații empirice ce diferă mai mult sau mai puțin discret între ele. Este însă de remarcat că, indiferent de forma relației, toate evidențează același fenomen.

Cele mai uzuale, publicate în literatură, pentru determinarea echivalentului de carbon sunt :

$$C_{eI} = C + \frac{1}{8}(Si + Mn) + \frac{1}{2}(S + P) + \frac{1}{2}(Ni + Cr)$$

$$C_{eII} = C + \frac{Mn}{6} + \frac{Cr + Mo + V}{5} + \frac{Ni + Cu}{15}$$

$$C_{eIII} = C + \frac{Mo}{4} + \frac{Cr}{5} + \frac{V}{5} + \frac{Mn}{6} + \frac{Ni}{15} + \frac{Cu}{13} + \frac{P}{2}$$

$$C_{eIV} = C + \frac{Mn}{5} + \frac{Cr}{4} + \frac{Mo}{3} + \frac{Ni}{10} + V + \frac{Si - 0,5}{5} + \\ + \frac{W}{10} + \frac{T1}{5} + \frac{Al}{10}$$

Valorile calculate sunt date în tabelul 3.3, iar variația lor în funcție de conținutul în cupru este reprezentată în figura 3.4.

Tabelul 3.3

Sarja	Echivalentul de carbon [%]			
	C_{eI}	C_{eII}	C_{eIII}	C_{eIV}
A	0,987	1,324	1,392	1,507
B	0,982	1,350	1,427	1,503
C	1,113	1,386	1,453	1,576

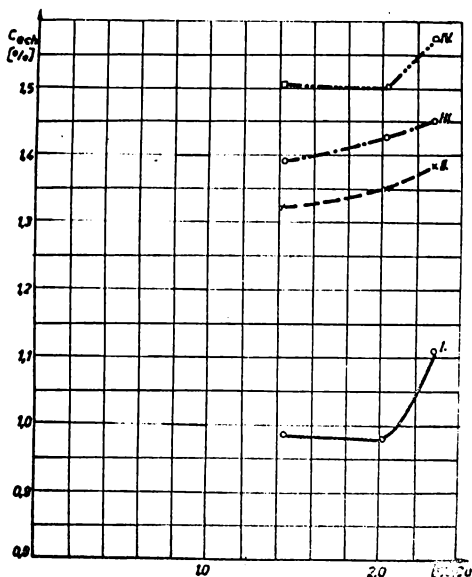


Fig. 3.4

Analizînd variația echivalentului de carbon, în sensul creșterii acestuia de la șarja A spre C – mai ales cel calculat cu relațiile C_{eII} și C_{eIII} , în care este cuprinsă și contribuția cuprului – se constată că variația temperaturilor de transformare fazică, atât determinate experimental cît și cele calculate sunt în concordanță cu compoziția chimică a oțelurilor cercetate.

La echivalentul de carbon de 0,98...1,11 % apare o creștere a stabilității austenitei și o coborîre a temperaturilor critice de transformare, în special în domeniul bainito-martensitic. Rezultă că la aceste valori ale echivalentului de carbon, apare normală situația existenței microstructurilor și a duratăilor obținute în procesul de recoacere sau de călire și revenire, evidențiate prin cercetarea metalografică ulterioară.

3.3.- Structurile de recoacere ale oțelurilor cercetate

După recoacerea pendulară cu răcire dirijată a barelor

forjate, s-au prelevat eșantioane din fiecare șarjă pentru a determina structura și duritatea.

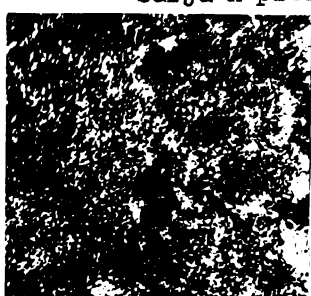


Fig.3.5

Sărja A prezintă o structură fin sorbitică - fig.3.5 - conținutul de cupru în acest oțel fiind 1,43 %, conținut ce se dizolvă complet în $\text{Fe}\alpha$ la temperatură de 1123°K (850°C). Este de remarcat că fazele ferito-cementitice sunt foarte fin dispersate (mărirea este de $1080 \times$) iar duritatea după recoacere este relativ mare - 239 HB (21 HRC).

Sărjele B și C, cu conținuturi mai mari de cupru, 2,02 respectiv 2,29 %, prezintă după recoacerea pendulară durități mărite, 256 HB (24 HRC) respectiv 325 HB (33,2 HRC). Acest lucru este explicabil dacă se analizează structurile prezentate în figura 3.6 - sărja B și figura 3.7 - sărja C.



Fig.3.6



Fig.3.7

In structurile din figurile 3.6 și 3.7 se observă, pe lîngă amestecul ferito-cementitic foarte fin, și un constituent greu atacabil, greu deoclabil la mărirea de $1080 \times$.

De asemenea, se remarcă, că acest constituent, care în continuare va fi numit convențional "a" (alb) diferă cantitativ, fiind mai mare în structura oțelului C, mai bogat în cupru. În urma unui atac îndelungat cu nital se evidențiază că și acest constituent "alb" este eterogen.

Pentru a stabili în prima instanță duritatea și eventual natura lui - eutectoid polifazic sau structură de tip intermediar - s-au determinat duritățile Vickers la sarcini mici, folosind aparatul PMT3 la o încărcare de 150 gr. Valorile obținute atât pe formațiunile de constituent "alb" cât și pe cele ferito-cementitice, notate convențional cu "n" (negru) sunt trecute în tabelul 3.4.

Tabelul 3.4.

Sar-ja	Pro- ba Nr.	Diag.medicie "a"		HV _{n,a} med	HV _a med	Diag.medicie "n"		HV _{n,n} med	HV _{n,a} med
		D _m \bar{x}	D _{m/3,33}			D _m \bar{x}	D _{m/3,33}		
A	1	-	-	-	-	86,00	25,800	279	269,5
	7	-	-	-	-	88,95	26,70	260	
B	1	77,20	23,20	345	349,5	89,70	26,93	256	265,0
	7	76,50	22,90	354		86,50	25,98	274	
C	1	74,10	22,25	376	379,5	79,70	23,93	325	323,5
	7	73,20	22,00	383		79,90	24,00	322	

x) Valorile diagonalelor D_m reprezintă valorile medii a trei măsurători

Din tabel se constată că apare o diferență considerabilă de duritate - 70...80 unități - între constituentul "a" și constituentul "n", ceea ce permite să se presupună că este vorba de o formăriune de tip intermediar - bainitică.

Anterior s-a arătat că temperaturile de transformare la răcire, stabilitate dilatometric, sunt relativ joase, sub 723°K (450°C). S-a mai remarcat de asemenea, corespondența bună între aceste temperaturi determinate experimental și cele calculate pentru domeniul transformărilor de tip intermediar. Pe baza și a acestor rezultate, pare justificată afirmația că constituentul "alb" este de natură bainitică.

Dacă se analizează valorile de duritate a constituentului ferito-cementitic din structurile celor trei categorii de oțeluri cercetate se observă că la șarjele A și B aceste durătăți sunt comparabile; cele obținute la oțelul C însă sunt considerabil mai mari, diferențele depășind 50 HV. Analizând microstructurile reiese că fazele au grad mai mare de dispersie, sunt mai fine decât la A și B și formate la temperaturi mai joase.

Prin analizarea variației echivalentului de carbon, a

duritateii Brinell (tab.2.3) și a valorilor de sus se observă o bună corespondență. Fiecare element de carbon variază discret între șarjele A și B, în schimb crește considerabil pentru șarja C.

In vederea elucidării naturii constituenților strucurali obținuți în urma recoacerii pendulară cu răcire dirijată, s-a aplicat o nouă recoacere. În acest scop probele seriilor 1 și 8 din fiecare șarjă s-au impachetat în nisip uscat, într-o cutie de oțel și s-au încălzit cu o viteză de $7^{\circ}\text{K}/\text{min}$ pînă la 1123°K (850°C). S-au menținut timp de 2 ore la această temperatură și apoi s-au răcit lent în cupor.

După această recoacere cu răcire lentă în nisip, structurile au fost modificate. Toate probele au evidențiat structuri tipice de recoacere, structuri fin globulare, redate în figurile 3.8 - șarja A ; 3.9 - șarja B și 3.10 - șarja C.

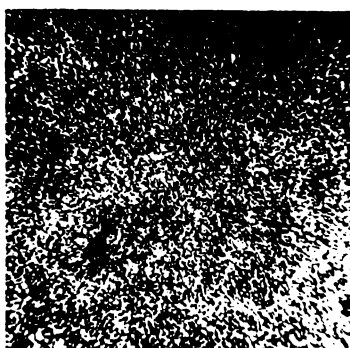


Fig.3.8

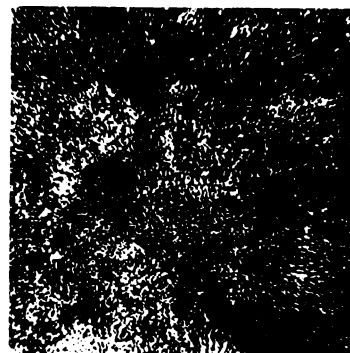


Fig.3.9

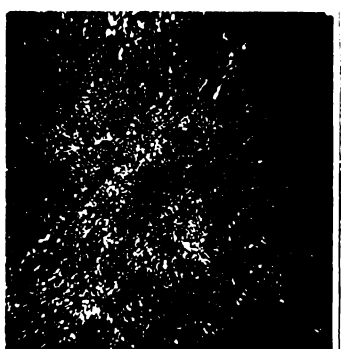


Fig.3.10

Analizînd microstructurile, se observă că la nici una din categoriile de oțel nu mai apare constituentul alb "a". Se constată însă că gradul de finețe a carburiilor diferă. Astfel, dacă în structura oțelului A carburi sunt fine, în structura oțelului B sunt mai grosolane iar în cea a oțelului C, cu conținut maxim în cupru, sunt foarte fin disper-

sate. Trebuie remarcat că condițiile de lucru nu au putut influența aceste rezultate ; probele au fost recoapte în condiții identice.

Valorile de duritate obținute pe seriile probelor 1 sunt redatate în tabelul 3.5 (Se menționează că seriile de probe 8 paralele au fost reținute pentru a stabili dacă structura inițială – după recoacere cu răcire dirijată respectiv după recoacere în nisip – duce la o comportare diferită la călire adică, dacă influențează rezultatele călirii).

Tabelul 3.5

Sarja	Duritatea [HB]	HB _{med}	HRC
A	253 250 253	252	23,3
B	234 239 234	235	20,2
C	297,8 297,8 297,8	297,8	30,0

Analizând duritățile, se observă că la șarja A, la căre nu apăruse constituentul de tip intermediar, duritatea nu s-a micșorat după recoacerea în nisip. La celelalte două însă, se constată o discretă reducere a durității iar valorile înălțiate de duritate ale probelor din șarja C se explică prin gradul înalt de finețe ale fazelor.

3.4.- Călirea și revenirea otelurilor aliata cu cupru - crom - molibden

3.4.1.- Călirea otelurilor ceroestate

Pentru a cerceta comportarea la călire – revenire a otelurilor Cr-Mo aliata cu cupru, s-au confectionat probe cilindrice de dimensiuni \varnothing 10 mm și înălțimea de 15 mm și \varnothing 15 mm și înălțimea de 30 mm. Probele mari s-au confectionat din șarje noi, cu compoziția identică cu șarjele A, B și C, doar conținutul în Cu variază discret. În continuare se notă aceste calități de otel cu A' cu 1,50 % Cu ; B' cu 1,90 % Cu și C' cu 2,40 % Cu.

Temperatura de încălzire s-a determinat pe baza valorilor obținute la încoacerile dilatometrice. Dat fiind faptul că

A_{c3} are valorile cuprinse între 1058 și 1073°K . (785 și 800°C) s-a ales o temperatură de austenitizare de 1123°K (850°C) care asigură un grad corespunzător de omogenizare a austenitei.

Durata de menținere s-a calculat cu ajutorul relațiilor date în literatură /66/, /52/.

$$t_{\text{tot}} = t_{\text{inc}} + t_{\text{men}} \quad [\text{min}]$$

Pentru a calcula t_{inc} se recomandă relația :

$$t_{\text{inc}} = W_1 K \quad [\text{min}]$$

unde :

W este un indice geometric al corpului ce se încălzește și are pentru piese cilindrice pline și complet încălzite următoarea formă :

$$W = \frac{D_1}{4 l + 2 D} ;$$

unde :

D – este diametrul piesei în cm ;

l – lungimea piesei în cm.

Acest indice trebuie multiplicat cu 1,4 întrucât nu s-au încălzit probe singulare. Astfel :

$$W = \frac{1 \cdot 1,5}{4 \cdot 1,5 + 2 \cdot 1} \cdot 1,4 = 0,25 ; \text{ respectiv}$$

$$W' = \frac{1,5 \cdot 3}{4 \cdot 3 + 2 \cdot 1,5} \cdot 1,4 = 0,45$$

K este un factor fizic insumat ce caracterizează atât condițiile de încălzire cît și compoziția chimică. Este dat în literatură și anume se recomandă pentru oțeluri aliante, încălzite în cuptor în intervalul de temperatură $1072...1173^{\circ}\text{K}$ ($800...900^{\circ}\text{C}$), valoarea de 45. Astfel :

$$t_{\text{inc}} = 0,25 \cdot 45 = 11,25 \text{ min respectiv}$$

$$t'_{\text{inc}} = 0,45 \cdot 45 = 20,25 \text{ min}$$

Durata de menținere se recomandă aproximativ 0,25 din durata de încălzire, astfel încât s-a ales drept durată totală

valoarea de 15 respectiv 25 min.

Drept mediu de răcire s-au folosit apa la 293°K , uleiul și aerul. În prima instanță, pentru a stabili mediul optim de răcire (mediul cu viteza minimă care duce la structură martensitică) s-au călit paralel probe mici ($\varnothing 10$ și $1 = 15$ mm din primul lot și probele mari ($\varnothing 15$ și $1 = 30$ mm) din al doilea lot. Rezultatele obținute sunt trecute în tabelul 3.6.

Tabelul 3.6

Sar-ja	Tin- o [$^{\circ}\text{K}$]	Med. răcire	Duritatea ^{x)} [HRC]	HRC _{med}	Observații
A	1123	apă	64,0; 65,0; 64,0; 65,0; 65,0	64,6	probe martor
A'			-	-	fisurat
A		ulei	65,5; 65,0; 65,5	65,3	
A'			66,0; 63,0; 64,0; 64,0; 63,5	64,0	probe martor
A		aer	65,0; 65,0; 66,0	65,3	
A'			63,0; 63,5; 63,0	63,2	
B		apă	63,5; 64,5; 64,0	64,0	
B'			64,0; 63,5; 64,5	64,0	
B		ulei	63,0; 63,0; 63,5	63,2	
B'			63,0; 62,0; 61,5; 63,0	62,6	probe martor
B		aer	64,5; 65,5; 65,0	65,0	
B'			64,5; 63,0; 63,0; 62,0; 63,0	63,0	probe martor
C		apă	63,0; 62,0; 61,0	62,0	
C'			62,5; 63,5; 63,0	63,0	
C		ulei	62,8; 63,0; 63,0	62,9	
C'			61,0; 63,0; 62,0	62,0	
C		aer	62,5; 64,0; 63,0; 63,0	63,1	probe martor
C'			62,5; 63,0; 63,0; 63,5; 63,0	63,0	probe martor

x) Valoările din tabel sunt valori medii pe sarjă

Analizând rezultatele obținute se observă că atât la probele mici cât și la cele mari duratăile corespund structurilor de călire pentru toate mediiile de răcire folosite, diferențele se înscriu în domeniul de toleranțe admise ($\pm 1,5$ HRC) ale aparatului. Reiese clar că aceste oțeluri se călesc exceptional prin răcire în aer. Din acest motiv nu s-au mai folosit, pentru tratamentul probelor necesare ceroetării influenței revenirii și a celor necesare determinării unor caracteristici de rezistență, alte medii de răcire.

La regimul de călire astfel stabilit s-au tratat serile de probe 2 ; 3 ; 5 ; 6 ; 7 ; 9 și oîteva probe marter sau de control la unele șarje și serii. De asemenea s-au călit serile probelor 4 și 8 , 4 - în stare recoaptă cu răcire dirijată și 8 - în stare recoaptă cu răcire continuă în nisip, pentru a stabili dacă structurile inițiale influențează rezultatele călirii și în ce măsură. După călire s-a determinat duritatea și s-a ceroetat structura obținută. Valorile de duritate sunt date în tabelul 3.7 iar microstructurile în figurile 3.11 ... 3.16.

Tabelul 3.7

Sarja	Seria probe	Duritatea [HRC]	HRC _{med}	Observații
A	4	65,0 ; 66,0 ; 65,5	65,5	
	8	65,5 ; 65,0 ; 66,0	65,5	
B	4	64,0 ; 65,0 ; 66,0	65,0	
	8	63,5 ; 63,5 ; 64,5	63,5	
C	4	64,0 ; 63,0 ; 63,5	63,5	
	8	64,0 ; 65,5 ; 64,5	64,5	

Analizând valorile de duritate obținute pe serile de probe 4 și 8 se constată că sunt reprezentative pentru starea călătă. De asemenea, este de remarcat că nu se evidențează diferențe de duritate în funcție de structura inițială.

Microstructurile din figurile 3.11...3.16 sunt caracteristice tratamentului termic de călire-martensită. În micrografia electronică - fig.3.17, mărirea 17000x se observă și exis-

tență unor precipitări foarte fine, sub $0,01 \mu\text{m}$ dar orientate.



Fig.3.11



Fig.3.12

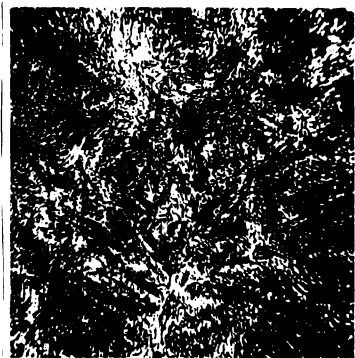


Fig.3.13



Fig.3.14



Fig.3.15



Fig.3.16

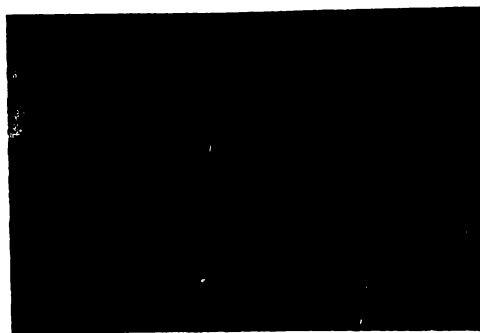


Fig. 3.17

3.4.2.- Revenirea oțelurilor călăite

Stiind că fenomenele la revenire sunt fenomene de difuziune, este normal ca pe lîngă temperatura de încălzire, să importe considerabil, durata de revenire.

Pentru a determina durata necesară desăvârșirii revenirii, s-au încălzit seriile probelor 2 și 3 din fiecare șarjă la temperatură cea mai mică folosite - 473°K (200°C) și s-a variat timpul de menținere. Seriile probelor 2 s-au menținut 30 de minute iar a probelor 3, 60 de minute. Duratăile măsurate după răcire sunt date în tabelul 3.8.

Tabelul 3.8

Sarja	Seria de probe	t_{rev} [min]	Duritatea după rev. [HRC]	HRC _{med}	Obs.
A	2	30	59,0 ; 60,0 ; 61,0	60,00	
	3	60	61,0 ; 61,0 ; 60,0	60,70	
B	2	30	57,0 ; 60,0 ; 60,0	59,00	
	3	60	59,0 ; 60,0 ; 58,0	59,00	
C	2	30	58,0 ; 57,0 ; 59,0 ; 61,0	58,75	
	3	60	56,0 ; 57,0 ; 58,0	57,00	

Din tabelul 3.8 se observă că diferențele de duritate în funcție de durata de revenire sunt foarte mici, situându-se chiar în domeniul erorilor de măsurare ale aparatului Rockwell ($\pm 1,5$ HRC). Rezultă că după încălzirea la 473°K (200°C), timp de 30 de minute, fenomenul de revenire este deja stabilizat.

In vederea determinării influenței temperaturii de revenire, s-au folosit serilele probelor 5 ; 6 ; 7 ; 9 și o serie de probe de control. Temperaturile de încălzire ceroetate au fost: 473°K (200°C) ; 573°K (300°C) ; 673°K (400°C) ; 723°K (450°C) ; 773°K (500°C) ; 823°K (550°C) ; 873°K (600°C) și 923°K (650°C) iar durata de 50 ... 60 de minute.

Valorile de duritate stabilite sunt trecute în tabelul 3.9 și în figura 3.18.

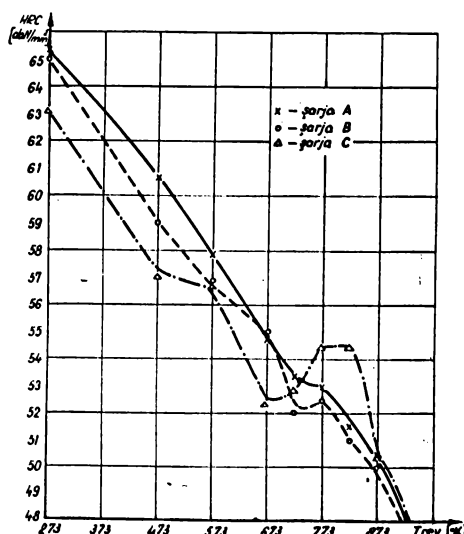


Fig.3.18

Tabelul 3.9

Sar-ja	Seria probe	T _{rev} [°K]	Duritatea după revenire [HRC]	HRC _{med}	Observații
A	3	473	61,0 ; 61,0 ; 60,0	60,70	
	5	573	51,5 ^{x)} ; 57,5 ; 53,5 ^{x)}	57,90	x) Valori extreme, neconsiderate
	5'		59,0 ; 57,5 ; 57,5		
	6	673	55,5 ; 54,5 ; 54,5	54,75	
	6'		53,5 ; 55,0 ; 55,5		
	7	723	53,5 ; 53,5 ; 53,0	53,30	
	9	773	53,5 ; 52,5 ; 53,0	53,00	
	P ₁	823	49,7; 51,0; 52,5; 50,5; 52,0	51,50	
	P ₂	873	50,2 ; 50,7 ; 49,5 ; 51,5	50,50	
	P ₃	923	48,0 ; 47,0 ; 48,5 ; 48,5	48,00	
B	3	473	58,0 ; 60,0 ; 59,0	59,00	
	5	573	57,5 ; 56,5 ; 57,5	56,85	
	5'		55,5 ; 57,5 ; 57,0 ; 56,7		
	6	673	55,0 ; 55,5 ; 56,5	55,00	
	6'		54,5 ; 54,5 ; 54,5		
	7	723	52,0 ; 52,0 ; 52,0	52,00	
	9	773	51,0 ; 53,0 ; 52,5 ; 53,5	52,50	
	P ₁	823	52,5; 50,5; 51,5; 50,5; 51,5	51,00	
	P ₂	873	49,3 ; 50,2 ; 50,5 ; 50,5	50,00	
	P ₃	923	47,0 ; 47,5 ; 46,5 ; 46,5	46,90	
C	3	473	56,0 ; 57,0 ; 58,0	57,00	
	5	573	55,5 ; 56,5 ; 57,00 ; 56,7	56,65	
	5'		57,0 ; 57,5 ; 54,5		

Sar-ja	Seria probe	T_{rev} [$^{\circ}$ K]	Duritatea după revenire [HRC]	HRC_{med}	Observații
C	6	673	52,5 ; 52,5 ; 51,5	52,40	
	6'		52,5 ; 53,5 ; 52,0		
	7	723	51,5 ; 54,0 ; 52,5 ; 53,5	52,90	
	9	773	53,5 ; 54,5 ; 55,0 ; 54,5	54,50	
	P ₁	823	54,2 ; 53,5 ; 55,5 ; 54,5	54,50	
	P ₂	873	50,0 ; 50,7 ; 50,2	50,30	
	P ₃	923	46,5 ; 47,2 ; 45,5 ; 47,0	46,50	

Valorile de duritate, obținute după tratamentul de revenire, evidențiază o comportare diferențiată a celor trei calități de oțeluri ceroestate.

Pentru șarja A - cu conținut minim de cupru (1,43 %) - curba de variație a durității indică, pentru temperaturi mici, o scădere continuă, practic liniară a acestei caracteristici pînă la aproximativ 723° K(450° C). Între 723 și 773° K scăderea durității e discretă - 0,30 HRC - valoare ce poate fi atribuită și unor erori de măsurare. La temperaturi de revenire mai mari de 773° K(500° C), duritatea continuă din nou să scadă, proporțional cu creșterea temperaturii.

Analiza microstructurilor optice ale probelor din șarja A nu evidențiază transformări structurale accentuate în intervalul de temperaturi de revenire folosite - figurile 3.19 a...h.

Structura obținută după revenire la 473° K(fig.3.19 a) se caracterizează prin formațiuni aciculare evidente, de mărimea de revenire. La următoarele patru temperaturi - 573° K (fig.3.19 b), 673° K (fig.3.19 c), 723° K (fig.3.19 d) și 773° K (fig.3.19 e) - nu apar diferențe considerabile de strucțură la mărirea de 108ox . Totuși, analizînd atent setul de structuri, se constată că microstrucutra din fig.3.19 e are o compactitate sau mai bine zis o omogenitate mai mare a precipitațiilor fine ceea ce ar putea explica încetinirea scăderii durității în intervalul de temperaturi $723...773^{\circ}$ K. La temperaturi de reve-

- 42 -

nire mai mari, scăderea duratăii este confirmată de creșterea formațiunilor precipitate.

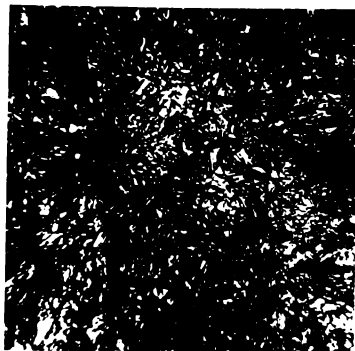


Fig.3.19 a

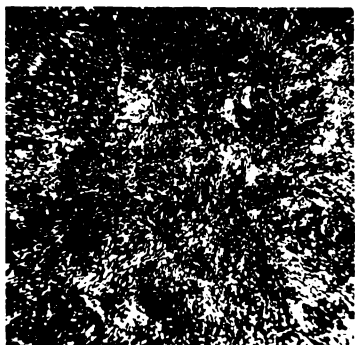


Fig.3.19 b



- 43 -

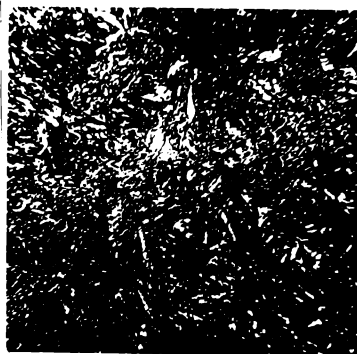


Fig.5.19 d

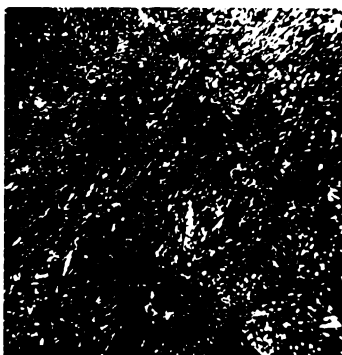


Fig.5.19 e



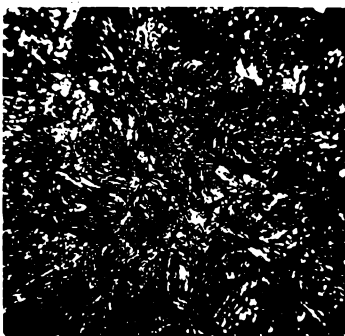


Fig.3.19 g

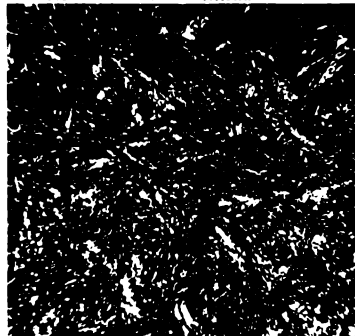


Fig.3.19 h

Sarja B, cu conținut mai mare de cupru (2,02%) se comportă asemănător la revenire, doar că fenomenele sunt mai accentuate. Astfel, duritatea scade continuu cu creșterea temperaturii de revenire pînă la 723°K (450°C), apoi crește discret (fig.3.18). Practic se poate considera că în intervalul $723 \dots 823^{\circ}\text{K}$ ($450 \dots 550^{\circ}\text{C}$) duritatea rămîne aproximativ constantă, adică în acest interval, înnuierea nu continuă proporțional cu temperatura ; cu alte cuvinte, se produce separarea unor precipitări de fază secundare care duc la durificare.

Analizînd microstructurile probelor șarjei B, revenite în intervalul $473 \dots 923^{\circ}\text{K}$ ($200 \dots 650^{\circ}\text{C}$), se observă doar o influență foarte discretă a temperaturii - figura 3.20 a...h.

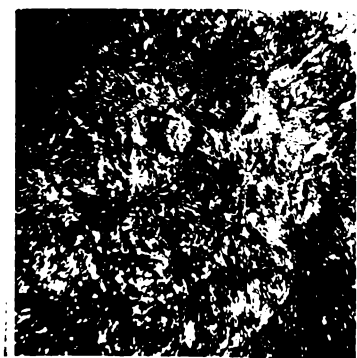


Fig.3.20 a

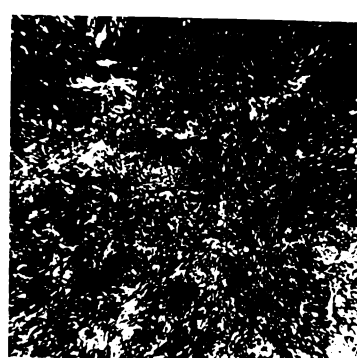


Fig.3.20 b

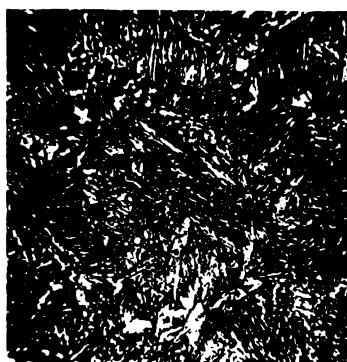


Fig.3.20 c

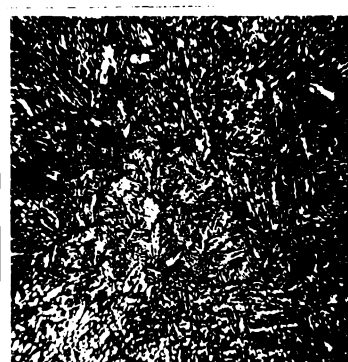


Fig.3.20 d

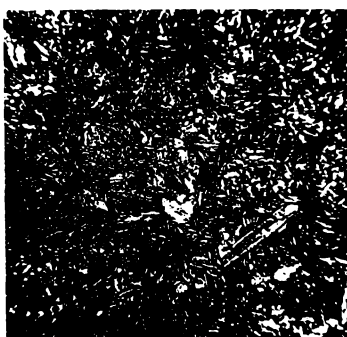


Fig.3.20 e

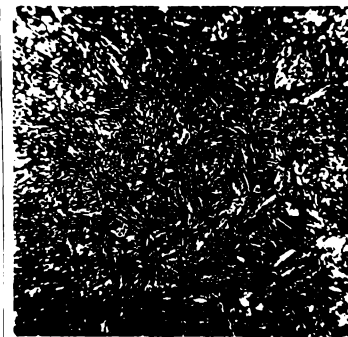


Fig.3.20 f

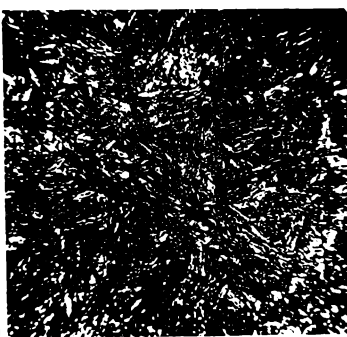


Fig.3.20 g

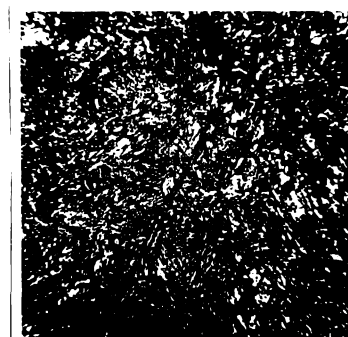


Fig.3.20 h

Structurile probelor revenite la 473°K ; 573°K și 673°K (fig.3.20 a, b, c) prezintă formațiuni pregnant aciculare, iar cele revenite la temperaturi mai mari, începând de la 723°K (fig.3.20 d), formațiuni mai fine, cu tendință de sărbă globulizare sau mai precis, apar precipitații fine. Dacă în structurile din figurile 3.20 d...g, precipitațiile sunt încă orientate în direcția fășelor ace de martensită, la proba 3.20 h - revenită la 923°K (650°C) - orientarea este oarecum anulată. Menținerea orientării pînă la temperaturi mari de revenire - $773\ldots873^{\circ}\text{K}$ - și gradul mare de finețe, dovedesc o bună stabilitate la revenire a oțelului cercetat.

Fenomenul de durificare secundară este evident la șarja C cu un conținut de 2,29 % Cu. Din fig.3.18 se constată o scădere continuă a duritatei în funcție de temperatura de revenire pînă la 673°K (400°C), apoi o creștere pînă la 823°K (550°C) și la temperaturi mai mari, din nou o scădere continuă, proporțional cu creșterea temperaturii de revenire.

Microstructurile probelor șarpei C sunt redate în figura 3.21 a...h. Structura probelor revenite la 473°K respectiv 573°K este aciculară, de martensită de revenire (fig.3.21 a și 3.21 b). Structurile din figurile 3.21 c...f nu evidențează diferențe considerabile la mărirea de $1080 \times$ folosită - apar precipitații fine, și orientate. O tendință ușoară de aglomerare a precipitațiilor se observă în fig.3.21 g și h, adică pe probele revenite la 873 și 923°K .

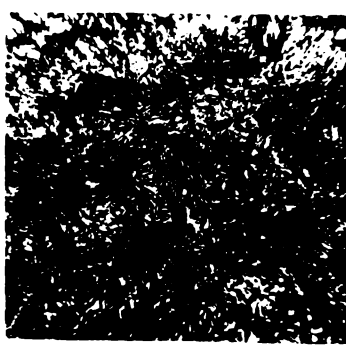


Fig.3.21 a



Fig.3.21 b



Fig.3.21 c

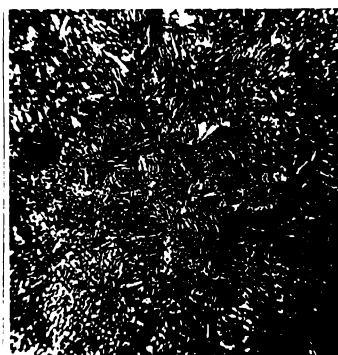


Fig.3.21 d



Fig.3.21 e

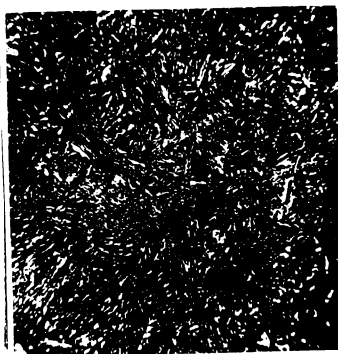


Fig.3.21 f

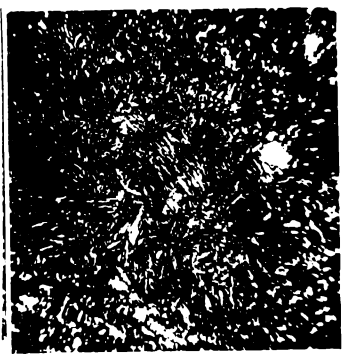


Fig.3.21 g

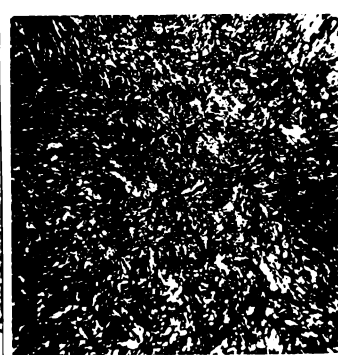
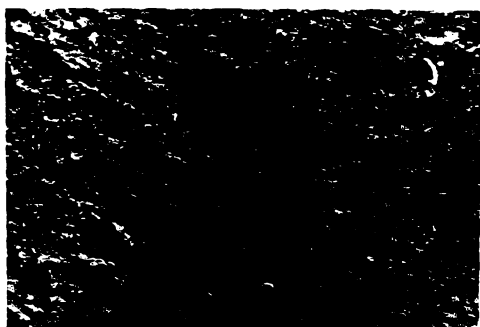


Fig.3.21 h

In figura 3.22 se redă microstructura electronică a unei probe din șarja C călărită și revenită la 473°K .



Se observă existența unor precipitații fine de carburii ($0,05\ldots 0,1 \mu\text{m}$) clasice pentru revenirea joasă.

In fig.3.23 a și b este redată microstructura electronică a unei probe din aceeași șarjă, dar revenită la 673°K (a - $2740 \times$; b - $5700 \times$).

Este de nominalat menținerea orientării precipitaților de carburii în direcția fascicelor aco de martensită.

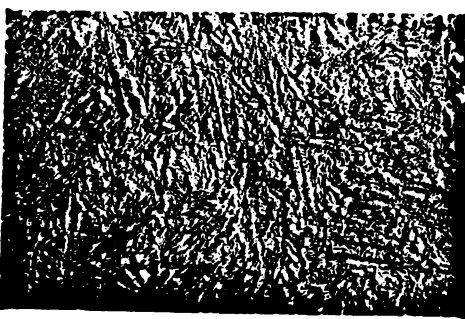


Fig.3.23 a



Fig.3.23 b

In fig.3.24 a și b sunt redăte microstructurile electronice a probelor revenite la 673°K din șarjul C.



Fig.3.24 a

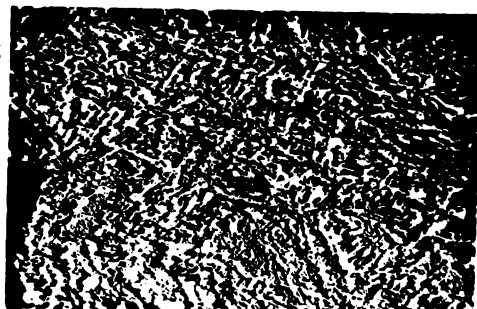


Fig.3.24 b

Se observă că se menține și la această temperatură orientarea formațiunilor de carburi, dar pe lîngă acestea apar în matrice numeroase precipitări de o deosebită finețe, de fază δ bogată în cupru și care provoacă probabil durificarea secundară.

Este cunoscut efectul de durificare secundară a oțelului datorită prezenței cromului și a molibdenului. În literatura de specialitate /45/, /47/ reiese însă că, în ceea ce privește cromul, efectul nu este evident la conținuturi relativ mici, pînă la 1,0 ... 1,5 %. Pentru molibden, acest efect este ceva mai accentuat pentru intervalul temperaturilor de revenire $723 \dots 873^{\circ}\text{K}$ ($450 \dots 600^{\circ}\text{C}$) - figura 1.7.

În această diagramă se observă că efectul de durificare secundară este evident la conținuturi de Cr și Mo mai mari decît cele utilizate în oțelurile ceroestate. În afara de asta, dacă creșterea durității în domeniul de temperatură $723 \dots 823^{\circ}\text{K}$ s-ar datora prezenței cromului și a molibdenului, fenomenul ar trebui să se manifeste identic la toate calitățile de oțeli ceroestate, întrucât concentrațiile în aceste elemente sunt aceleasi. Durificarea fiind însă progresivă, de la stagnarea înmuierii la șarja A și pînă la o creștere netă la șarja C, înseamnă că se datorează unor precipitări durificatoare cauzate de prezența cuprului, care crește de la 1,43 % la 2,29 %.

În literatura de specialitate /47/, /45/ se arată că excesul de Cu față de cît poate dizolva Fe α (1,4 % la 1123°K și 0,3 % la 293°K) se separă la reîncălzire, la aproximativ 723°K , după normalizare (călire în aer) sub formă de fază δ bogată în cupru și care duce la durificarea oțelului.

3.5.- Concluzii asupra regimurilor de tratament termic și a transformărilor de fază

În urma cercetărilor efectuate asupra comportării la recoacere se constată că nu se recomandă reciacerea pendulară cu răcire dirijată, structurile obținute nefiind apropiate de cele de echilibru, iar duritățile rezultate sunt destul de ri-

dicate. Este totodată un tratament neeconomic. Tinând seama că austenita este puternic stabilizată la aceste oțeluri complexe aliante este mai indicată o recoacere obișnuită la temperaturi de $1123 \dots 1173^{\circ}\text{K}$ ($850 \dots 900^{\circ}\text{C}$) urmată de o răcire continuă dar lentă, în special în domeniul temperaturilor joase.

Cercetările privind capacitatea de călire au demonstrat că oțelurile aliante cu Mo, Cr și Cu se călesc exceptiional dacă se încălzesc la temperaturi de $1123 \dots 1153^{\circ}\text{K}$, cu o durată de încălzire de 1,5 min/mm urmând apoi o răcire în aer. Viteze mai mari de răcire (apă sau ulei) nu modifică fenomenul călirii și nici rezultatele acestuia. Răcirea în aer este optimă și datorită faptului că nu duce la deformarea sau strâmbarea pieselor tratate.

Regimul de revenire se recomandă să fie ales în funcție de caracteristicile cerute sculei în exploatare. Deși duritatea probelor revenite, chiar la temperaturi mari – 773°K – este încă ridicată tenacitatea este foarte bună, după cum dovedesc cercetările în continuare.

Capitolul 4

4.- PROPRIETATILE FIZICO-MECANICE ALE OTELURILOR

Cu - Cr - Mo

Sculele folosite pentru deformarea plastică a materialelor metalice trebuie să prezinte pe lîngă o rezistență mare la uzură și importante caracteristici de tenacitate, dat fiind faptul că în timpul exploatarii sunt supuse unor complexe solicitări dinamice. De asemenea, scula de deformare plastică trebuie să prezinte valori ridicate de rezistență la rupere și de durată - lucru ce se realizează prin alegerea adecvată a compoziției chimice și a tratamentului termic.

4.1.- Caracteristicile electrice și magnetice ale otelurilor cercetate

Tinînd seama de variația durității probelor călite și revenite la diferite temperaturi, s-a ridicat problema dacă în intervalul de temperaturi de revenire $673\ldots 823^{\circ}\text{K}$ ($400\ldots 550^{\circ}\text{C}$) continuă precipitarea din soluția suprasaturată sau stagnează. De asemenea, se pune problema, în cazul în care și în acest interval au loc precipitări însotite de o carecare durificare secundară, acestea nu provoacă cumva o fragilizare a oțelului.

În vederea elucidării primei probleme, avind în vedere că prin analiza structurală nu se sesizează modificări, s-a recurs la analiza unor caracteristici electrice și magnetice, întrucât acestea variază sensibil cu gradul de suprasaturare a soluției solide.

Este cunoscut că soluțiile solide, în general, prezintă o rezistivitate electrică ridicată, rezistivitate proporțională cu concentrația lor. Înseamnă că structura obținută după călire trebuie să se caracterizeze printr-o rezistivitate electrică mare, iar cu creșterea temperaturii de revenire, prin care se intensifică fenomenele de precipitare, aceasta trebuie să scadă proporțional cu micșorarea gradului de suprasaturație.

Transformările fazice din cheile materiale metalice sunt însotite totodată și de modificarea unor caracteristici magnetice, în funcție de cantitatea de fază feromagnetică și de compoziția acesteia. Rezultă că și determinarea acestor caracteristici - cimpul coercitiv H_c și magnetismul remanent B_r - la probele călite și revenite la diferite temperaturi, permit să se urmărească gradul de precipitare din martensită în timpul revenirii.

Determinările de rezistivitate s-au făcut pe probe cilindrice cu $\varnothing = 7$ mm și lungimea efectivă $L = 80,3$ mm, cu ajutorul unui dispozitiv construit în laboratorul Catedrei de măsuri electrice al Facultății de electrotehnica iar cele magnetice, cu ajutorul unui Ferometru tip "Orion". Probele s-au călit și s-au supus revenirii la diferite temperaturi. Rezultatele măsurătorilor sunt date în tabelele 4.1 ; 4.2 și 4.3 . S-a lucrat cu un curent de 20 A. Astfel :

$$\rho = R \frac{\pi D^2}{4 L} = R \frac{\pi \cdot 0,007^2}{4 \cdot 0,0803} = 4,79 \cdot 10^{-4} \cdot R \quad [\Omega \text{ m}]$$

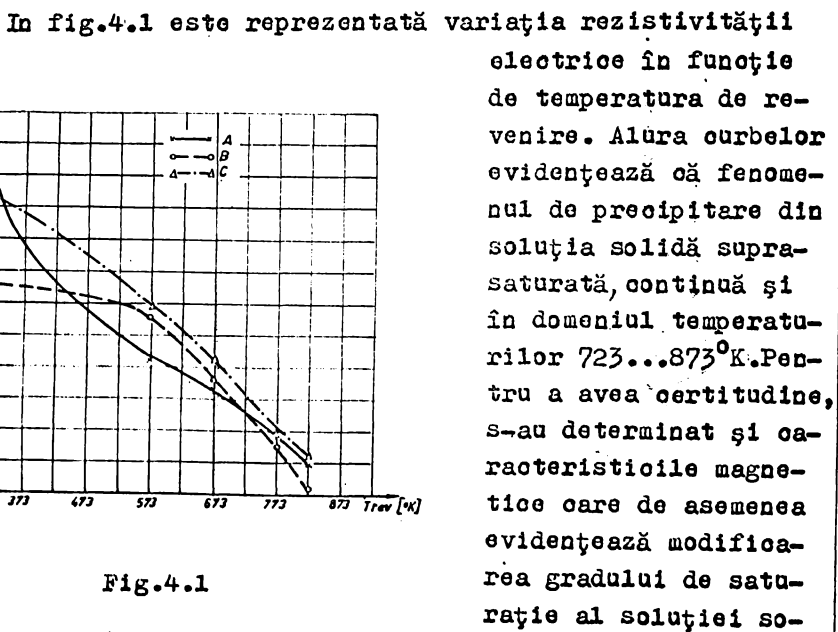


Fig.4.1

Tabelul 4.1

Sarja A

Proba Nr.	Trat.ter- mic aplic.	R [Ω]	ρ [$\Omega \cdot m$]	Observații
73	1123/15/aer	$10,36 \cdot 10^{-4}$	$0,4962 \times 10^{-6}$	
25	1123/15/aer+ 573/50/aer	$7,98 \cdot 10^{-4}$	$0,3822 \times 10^{-6}$	defecte de la- minare
26		$8,30 \cdot 10^{-4}$	$0,3976 \times 10^{-6}$	
27		$8,06 \cdot 10^{-4}$	$0,3861 \times 10^{-6}$	
28		$7,94 \cdot 10^{-4}$	$0,3803 \times 10^{-6}$	
29		$8,03 \cdot 10^{-4}$	$0,3846 \times 10^{-6}$	
30		$8,03 \cdot 10^{-4}$	$0,3846 \times 10^{-6}$	
Media,		$8,07 \cdot 10^{-4}$	$0,3859 \times 10^{-6}$	
61	1123/15/aer+ 673/50/aer	$7,66 \cdot 10^{-4}$	$0,3669 \times 10^{-6}$	suprapunerile de la- minare
62		$7,65 \cdot 10^{-4}$	$0,3664 \times 10^{-6}$	
63		$7,63 \cdot 10^{-4}$	$0,3655 \times 10^{-6}$	
64		$7,61 \cdot 10^{-4}$	$0,3645 \times 10^{-6}$	
65		$7,76 \cdot 10^{-4}$	$0,3717 \times 10^{-6}$	
66		$7,67 \cdot 10^{-4}$	$0,3764 \times 10^{-6}$	
Media		$7,66 \cdot 10^{-4}$	$0,3676 \times 10^{-6}$	
7	1123/15/aer+ 773/50/aer	$7,05 \cdot 10^{-4}$	$0,3377 \times 10^{-6}$	
8		$7,04 \cdot 10^{-4}$	$0,3372 \times 10^{-6}$	
9		$7,00 \cdot 10^{-4}$	$0,3353 \times 10^{-6}$	
10		$7,00 \cdot 10^{-4}$	$0,3353 \times 10^{-6}$	
11		$7,16 \cdot 10^{-4}$	$0,3430 \times 10^{-6}$	
12		$6,98 \cdot 10^{-4}$	$0,3343 \times 10^{-6}$	
Media		$7,04 \cdot 10^{-4}$	$0,3371 \times 10^{-6}$	

Sarja A

Proba Nr.	Trat. termic aplic.	R [Ω]	$\rho [\Omega \text{ m}]$	Observații
67	1123/15/aer+ 823/50/aer	6,52 . 10^{-4}	0,3123x 10^{-6}	
68		6,56 . 10^{-4}	0,3142x 10^{-6}	
69		6,89 . 10^{-4}	0,3300x 10^{-6}	
70		6,54 . 10^{-4}	0,3133x 10^{-6}	
71		7,07 . 10^{-4}	0,3386x 10^{-6}	
72		6,46 . 10^{-4}	0,3099x 10^{-6}	
Media		6,67 . 10^{-4}	0,3197x 10^{-6}	

Tabelul 4.2

Sarja B

Proba Nr.	Trat. termic aplic.	R [Ω]	$\rho [\Omega \text{ m}]$	Observații
74	1123/15/aer	9,64 . 10^{-4}	0,4317x 10^{-6}	
1	1123/15/aer+ 573/50/aer	8,47 . 10^{-4}	0,4057x 10^{-6}	
2		8,70 . 10^{-4}	0,4167x 10^{-6}	
3		8,68 . 10^{-4}	0,4158x 10^{-6}	
4		8,42 . 10^{-4}	0,4033x 10^{-6}	
5		8,60 . 10^{-4}	0,4119x 10^{-6}	
6		8,73 . 10^{-4}	0,4182x 10^{-6}	
Media		8,60 . 10^{-4}	0,4119x 10^{-6}	
37	1123/15/aer+ 673/50/aer	7,55 . 10^{-4}	0,3616x 10^{-6}	defecte de laminare
38		7,66 . 10^{-4}	0,3669x 10^{-6}	
39		8,03 . 10^{-4}	0,3846x 10^{-6}	
40		7,70 . 10^{-4}	0,3688x 10^{-6}	
41		7,82 . 10^{-4}	0,3746x 10^{-6}	
42		7,80 . 10^{-4}	0,3762x 10^{-6}	
Media		7,76 . 10^{-4}	0,3717x 10^{-6}	

Sarja B

Proba Nr.	Trat. termic aplic.	R[Ω]	$\rho[\Omega \text{ m}]$	Observații
49	1123/15/aer+	$6,88 \cdot 10^{-4}$	$0,3295 \times 10^{-6}$	defecți de laminare
50		$6,90 \cdot 10^{-4}$	$0,3305 \times 10^{-6}$	
51		$7,15 \cdot 10^{-4}$	$0,3425 \times 10^{-6}$	
52		$6,47 \cdot 10^{-4}$	$0,3090 \times 10^{-6}$	
53		$6,97 \cdot 10^{-4}$	$0,3339 \times 10^{-6}$	
54		$6,94 \cdot 10^{-4}$	$0,3324 \times 10^{-6}$	
Media		$6,88 \cdot 10^{-4}$	$0,3294 \times 10^{-6}$	
31	823/50/aer	$6,36 \cdot 10^{-4}$	$0,3046 \times 10^{-6}$	
32		$6,16 \cdot 10^{-4}$	$0,2951 \times 10^{-6}$	
33		$6,35 \cdot 10^{-4}$	$0,3042 \times 10^{-6}$	
34		$6,39 \cdot 10^{-4}$	$0,3061 \times 10^{-6}$	
35		$6,49 \cdot 10^{-4}$	$0,3109 \times 10^{-6}$	
36		$6,26 \cdot 10^{-4}$	$0,2998 \times 10^{-6}$	
Media		$6,33 \cdot 10^{-4}$	$0,3034 \times 10^{-6}$	

Tabelul 4.3

Sarja C

Proba Nr.	Trat. termic aplic.	R[Ω]	$\rho[\Omega \text{ m}]$	Observații
75	1123/15/aer	$10,20 \cdot 10^{-4}$	$0,4886 \times 10^{-6}$	
19		$8,61 \cdot 10^{-4}$	$0,4124 \times 10^{-6}$	
20		$8,85 \cdot 10^{-4}$	$0,4239 \times 10^{-6}$	
21		$8,79 \cdot 10^{-4}$	$0,4210 \times 10^{-6}$	
22		$8,84 \cdot 10^{-4}$	$0,4234 \times 10^{-6}$	
23		$8,52 \cdot 10^{-4}$	$0,4080 \times 10^{-6}$	
24		$8,86 \cdot 10^{-4}$	$0,4244 \times 10^{-6}$	
Media		$8,75 \cdot 10^{-4}$	$0,4189 \times 10^{-6}$	

Serie C

Proba Nr.	Trat. termic aplic.	R [Ω]	ρ [Ω m]	Observații
55	1123/15/aer+	8,37 . 10 ⁻⁴	0,4009x10 ⁻⁶	
56		8,05 . 10 ⁻⁴	0,3856x10 ⁻⁶	
57		7,88 . 10 ⁻⁴	0,3774x10 ⁻⁶	
58		8,07 . 10 ⁻⁴	0,3866x10 ⁻⁶	
59		8,01 . 10 ⁻⁴	0,3837x10 ⁻⁶	
60		7,95 . 10 ⁻⁴	0,3808x10 ⁻⁶	
Media		8,05 . 10 ⁻⁴	0,3858x10 ⁻⁶	
13	773/50/aer	7,15 . 10 ⁻⁴	0,3425x10 ⁻⁶	
14		7,31 . 10 ⁻⁴	0,3501x10 ⁻⁶	
15		6,97 . 10 ⁻⁴	0,3339x10 ⁻⁶	
16		7,06 . 10 ⁻⁴	0,3382x10 ⁻⁶	
17		7,07 . 10 ⁻⁴	0,3386x10 ⁻⁶	
18		7,08 . 10 ⁻⁴	0,3391x10 ⁻⁶	
Media		7,11 . 10 ⁻⁴	0,3404x10 ⁻⁶	
43	1123/15/aer+	6,87 . 10 ⁻⁴	0,3291x10 ⁻⁶	inoluiziuni de zgură
44		6,76 . 10 ⁻⁴	0,3238x10 ⁻⁶	
45		6,75 . 10 ⁻⁴	0,3233x10 ⁻⁶	
46		6,53 . 10 ⁻⁴	0,3128x10 ⁻⁶	
47		6,97 . 10 ⁻⁴	0,3338x10 ⁻⁶	
48		6,88 . 10 ⁻⁴	0,3295x10 ⁻⁶	
Media		6,79 . 10 ⁻⁴	0,3254x10 ⁻⁶	

S-a luorat cu $H_S = 300 \cdot \frac{10^3}{4\pi}$ [A/m] și cu o precizie de :

- pentru $H_0 = (\pm 1,2)$
- pentru B_x și $B_y = (\pm 150)$

Valorile obținute sunt trecute în tabelele 4.4 ; 4.5 și 4.6 și reprezentate în figura 4.2.

Tabelă 4.4

Sarja A

Proba Nr.	Trat.ter- mico apic.	$H_0 \left[\frac{A}{m} \right]$	$B_r [T]$	$B_s [T]$	Observații
25	1123/15/aer+ 573/50/aer	$58,8 \cdot \frac{10^3}{4\pi}$	7450×10^{-4}	15400×10^{-4}	
26		$58,8 \cdot \frac{10^3}{4\pi}$	7700×10^{-4}	14600×10^{-4}	defecți de forjare
27		$58,8 \cdot \frac{10^3}{4\pi}$	7700×10^{-4}	14900×10^{-4}	
28		$58,8 \cdot \frac{10^3}{4\pi}$	8210×10^{-4}	15100×10^{-4}	
29		$58,8 \cdot \frac{10^3}{4\pi}$	8210×10^{-4}	15400×10^{-4}	
30		$58,8 \cdot \frac{10^3}{4\pi}$	7950×10^{-4}	15400×10^{-4}	
media		$58,8 \cdot \frac{10^3}{4\pi}$	7870×10^{-4}	15133×10^{-4}	
61	1123/15/aer+ 673/50/aer	$64,0 \cdot \frac{10^3}{4\pi}$	7700×10^{-4}	14100×10^{-4}	
62		$64,0 \cdot \frac{10^3}{4\pi}$	7950×10^{-4}	14350×10^{-4}	
63		$64,0 \cdot \frac{10^3}{4\pi}$	7700×10^{-4}	14350×10^{-4}	
64		$62,8 \cdot \frac{10^3}{4\pi}$	7700×10^{-4}	14350×10^{-4}	suprapunerii de forjare
65		$64,8 \cdot \frac{10^3}{4\pi}$	7700×10^{-4}	14100×10^{-4}	
66		$64,8 \cdot \frac{10^3}{4\pi}$	7700×10^{-4}	14350×10^{-4}	
media		$64,5 \cdot \frac{10^3}{4\pi}$	7750×10^{-4}	14250×10^{-4}	

Sarja A

Proba Nr.	Trat. ter- mio aplic.	$H_0 \left[\frac{A}{m} \right]$	$B_r [T]$	$B_s [T]$	Observații
7	1123/15/aer + 773/50/aer	$68,8 \cdot \frac{10^3}{4\pi}$	9000×10^{-4}	15400×10^{-4}	
8		$68,8 \cdot \frac{10^3}{4\pi}$	8700×10^{-4}	15400×10^{-4}	
9		$67,6 \cdot \frac{10^3}{4\pi}$	8700×10^{-4}	15400×10^{-4}	
10		$68,8 \cdot \frac{10^3}{4\pi}$	8700×10^{-4}	14900×10^{-4}	
11		$68,8 \cdot \frac{10^3}{4\pi}$	8700×10^{-4}	14900×10^{-4}	
12		$68,8 \cdot \frac{10^3}{4\pi}$	8700×10^{-4}	14900×10^{-4}	
Media		$68,6 \cdot \frac{10^3}{4\pi}$	8750×10^{-4}	15150×10^{-4}	
67	1123/15/aer + 823/50/aer	$73,6 \cdot \frac{10^3}{4\pi}$	9240×10^{-4}	15400×10^{-4}	
68		$73,6 \cdot \frac{10^3}{4\pi}$	9000×10^{-4}	15400×10^{-4}	
69		$74,4 \cdot \frac{10^3}{4\pi}$	8700×10^{-4}	14900×10^{-4}	
70		$73,6 \cdot \frac{10^3}{4\pi}$	9240×10^{-4}	15400×10^{-4}	
71		$70,0 \cdot \frac{10^3}{4\pi}$	8700×10^{-4}	14900×10^{-4}	defecție de forjare
72		$73,6 \cdot \frac{10^3}{4\pi}$	9000×10^{-4}	14900×10^{-4}	
Media		$73,1 \cdot \frac{10^3}{4\pi}$	8960×10^{-4}	15150×10^{-4}	

Tabelul 4.5

Sarja B

Proba Nr.	Trat. ter- mico aplic.	$H_o \left[\frac{A}{m} \right]$	$B_r [T]$	$B_s [T]$	Observații
1	1123/15/aer+ 573/50/aer	$60,0 \cdot \frac{10^3}{4\pi}$	7700×10^{-4}	14370×10^{-4}	
2		$60,0 \cdot \frac{10^3}{4\pi}$	7700×10^{-4}	14370×10^{-4}	
3		$60,0 \cdot \frac{10^3}{4\pi}$	7700×10^{-4}	13850×10^{-4}	
4		$60,0 \cdot \frac{10^3}{4\pi}$	7700×10^{-4}	13850×10^{-4}	
5		$60,0 \cdot \frac{10^3}{4\pi}$	7700×10^{-4}	13850×10^{-4}	
6		$60,0 \cdot \frac{10^3}{4\pi}$	7700×10^{-4}	14370×10^{-4}	
Media		$60,0 \cdot \frac{10^3}{4\pi}$	7700×10^{-4}	14110×10^{-4}	
37	1123/15/aer+ 678/50/aer	$66,0 \cdot \frac{10^3}{4\pi}$	8450×10^{-4}	14900×10^{-4}	
38		$66,0 \cdot \frac{10^3}{4\pi}$	8210×10^{-4}	14370×10^{-4}	
39		$63,2 \cdot \frac{10^3}{4\pi}$	7180×10^{-4}	12800×10^{-4}	defecte de forjare
40		$66,0 \cdot \frac{10^3}{4\pi}$	8210×10^{-4}	14370×10^{-4}	
41		$66,0 \cdot \frac{10^3}{4\pi}$	8210×10^{-4}	14370×10^{-4}	
42		$66,0 \cdot \frac{10^3}{4\pi}$	8210×10^{-4}	14370×10^{-4}	
Media		$66,0 \cdot \frac{10^3}{4\pi}$	8260×10^{-4}	14478×10^{-4}	$H_x) = 65,5;$ $B_r^{x)} = 8080$

Sarja B

Proba Nr.	Trat. ter- mico aplic.	H_0 [A] [m]	B_r [T]	B_s [T]	Observaçõi
49	1123/15/aer+ 773/50/aer	$68,0 \cdot \frac{10^3}{4\pi}$	8730×10^{-4}	14900×10^{-4}	
50		$66,8 \cdot \frac{10^3}{4\pi}$	8470×10^{-4}	14900×10^{-4}	
51		$68,0 \cdot \frac{10^3}{4\pi}$	8730×10^{-4}	15400×10^{-4}	
52		$66,8 \cdot \frac{10^3}{4\pi}$	8730×10^{-4}	14900×10^{-4}	
53		$70,0 \cdot \frac{10^3}{4\pi}$	8730×10^{-4}	15400×10^{-4}	
54		$68,0 \cdot \frac{10^3}{4\pi}$	8730×10^{-4}	15400×10^{-4}	
Media		$67,9 \cdot \frac{10^3}{4\pi}$	8687×10^{-4}	15150×10^{-4}	
31	1123/15/aer+ 823/50/aer	$74,0 \cdot \frac{10^3}{4\pi}$	9240×10^{-4}	15400×10^{-4}	
32		$76,8 \cdot \frac{10^3}{4\pi}$	9500×10^{-4}	15400×10^{-4}	
33		$78,0 \cdot \frac{10^3}{4\pi}$	9000×10^{-4}	14900×10^{-4}	
34		$76,8 \cdot \frac{10^3}{4\pi}$	9240×10^{-4}	15400×10^{-4}	
35		$76,0 \cdot \frac{10^3}{4\pi}$	9240×10^{-4}	15400×10^{-4}	
36		$74,0 \cdot \frac{10^3}{4\pi}$	9240×10^{-4}	15400×10^{-4}	
Media		$75,9 \cdot \frac{10^3}{4\pi}$	9247×10^{-4}	15367×10^{-4}	

Tabelul 4.6

Sarja C

Proba Nr.	Trat.ter- mio aplice.	$H_c [A/m]$	$B_r [T]$	$B_s [T]$	Observații
19	1123/15/aer+ 573/50/aer	$60,0 \cdot \frac{10^3}{4\pi}$	7700×10^{-4}	14350×10^{-4}	
20		$60,0 \cdot \frac{10^3}{4\pi}$	7700×10^{-4}	14850×10^{-4}	
21		$60,0 \cdot \frac{10^3}{4\pi}$	7700×10^{-4}	14350×10^{-4}	
22		$60,0 \cdot \frac{10^3}{4\pi}$	7700×10^{-4}	14350×10^{-4}	
23		$60,0 \cdot \frac{10^3}{4\pi}$	7700×10^{-4}	14350×10^{-4}	
24		$60,0 \cdot \frac{10^3}{4\pi}$	7700×10^{-4}	14350×10^{-4}	
Media		$60,0 \cdot \frac{10^3}{4\pi}$	7700×10^{-4}	14433×10^{-4}	
13	1123/15/aer+ 773/50/aer	$68,0 \cdot \frac{10^3}{4\pi}$	9000×10^{-4}	14900×10^{-4}	
14		$67,0 \cdot \frac{10^3}{4\pi}$	8730×10^{-4}	14900×10^{-4}	
15		$68,0 \cdot \frac{10^3}{4\pi}$	9000×10^{-4}	14900×10^{-4}	
16		$68,0 \cdot \frac{10^3}{4\pi}$	9000×10^{-4}	14900×10^{-4}	
17		$68,0 \cdot \frac{10^3}{4\pi}$	9000×10^{-4}	14900×10^{-4}	
18		$68,0 \cdot \frac{10^3}{4\pi}$	9000×10^{-4}	14900×10^{-4}	
Media		$67,8 \cdot \frac{10^3}{4\pi}$	8955×10^{-4}	14900×10^{-4}	

Sarja C

Proba Nr.	Trat. termic aplic.	$H_o [A/m]$	$B_r [T]$	$B_s [T]$	Observații
43	1123/15/aer+ 823/50/aer	$68,0 \cdot \frac{10^3}{4\pi}$	9250×10^{-4}	15400×10^{-4}	inoluziuni de zgură
44		$68,0 \cdot \frac{10^3}{4\pi}$	9250×10^{-4}	15400×10^{-4}	
45		$68,0 \cdot \frac{10^3}{4\pi}$	9250×10^{-4}	15400×10^{-4}	
46		$68,0 \cdot \frac{10^3}{4\pi}$	9250×10^{-4}	15400×10^{-4}	
47		$65,2 \cdot \frac{10^3}{4\pi}$	9000×10^{-4}	15400×10^{-4}	
48		$68,0 \cdot \frac{10^3}{4\pi}$	$9250 \cdot 10^{-4}$	15400×10^{-4}	
Media		$68,0 \cdot \frac{10^3}{4\pi}$	$9250 \cdot 10^{-4}$	15400×10^{-4}	

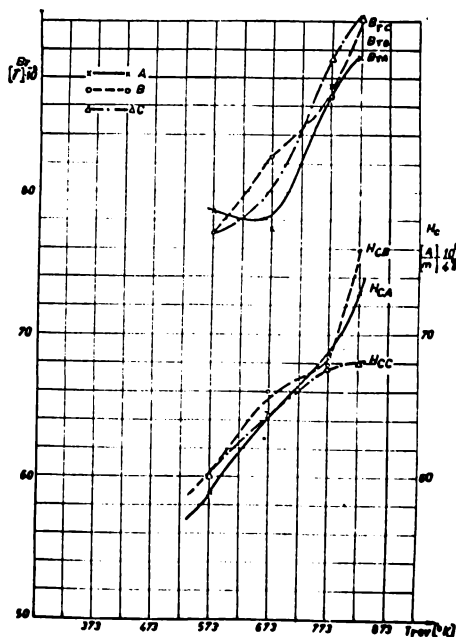


Fig.4.2

Ca și variația rezistivității electrice și variația cîmpului coercoitiv și a magnetismului remanent cu temperatura de revenire, indică o separare permanentă de precipitări din soluția solidă suprasaturată.

Analizînd variațiile lui β și H_0 în funcție de temperatură de revenire, se observă că șărjele B și C se comportă asemănător, adică β scade pe măsura ridicării temperaturii de revenire, iar H_0 crește mai accentuat decît la șarja A ceea ce denotă o mai intensă precipitare din soluția solidă suprasaturată la șărjele mai bogate în cupru.

Deci și prin măsurători ale caracteristicilor electrice și magnetice ale oțelurilor cercoestate s-a confirmat, că în timpul revenirii au loc precipitări de faze secundare, că aceste precipitări sunt mai intense la oțelurile cu conținut mai mare în cupru. Pe măsura creșterii conținutului în cupru durificarea secundară este mai accentuată, lucru de care va trebui să se țină seama la tratamentul termic al soulelor.

4.2.- Proprietățile mecanice ale oțelurilor tratate

4.2.1.- Încercarea la încovoiere. Tenacitatea oțelurilor cercoestate

Se pune problema dacă durificarea secundară, datorată precipitărilor din zona de temperaturi de revenire discutată, este sau nu însotită de o fragilizare. Într-o serie de lucrări /20/,/22/,/23/,/25/,/42/,/53/ se recomandă diferite încercări de rezistență pentru caracterizarea oțelurilor de soule în privința comportării tenace sau fragile. Dintre aceste încercări, se recomandă torsiunea statică și dinamică pentru oțelurile destinate soulelor ce sunt solicitate la torsion (burghie, tarozi) și încercarea la încovoiere pentru oțelurile destinate altor soule și celor de deformare plastică.

Din oțelurile cercoestate s-au confectionat probe cu \varnothing 7 mm și lungimea $L = 140$ mm, care după călire au fost supuse revenirii la diverse nivele de temperaturi. S-au făcut apoi încercările de încovoiere, înregistrindu-se curbele solicitare - deformare - fig.4.3.

Cu ajutorul acestui tip de diagramă /23/,/45/, se pot

determina o serie de caracteristici ca :

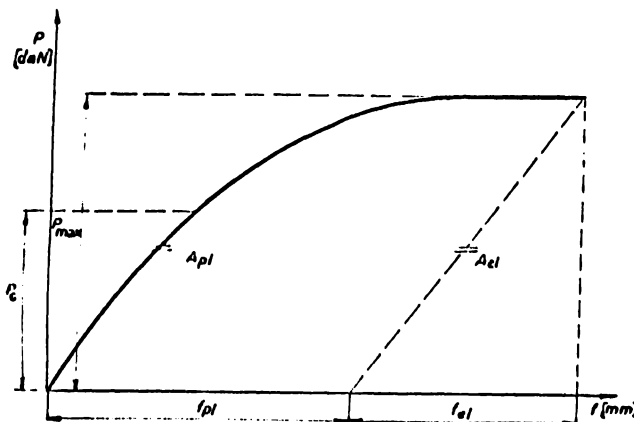


Fig.4.3

- P_0 [daN] ; σ_{io} [daN/mm²] - sarcina și rezistență la surgere ;
- P_{max} [daN] ; σ_i [daN/mm²] - sarcina și rezistență la rupere ;
- f_{tot} [mm] - săgeata la încovoiere ; . . .
- f_{el} [mm] - săgeata elastică ;
- f_{pl} [mm] - săgeata plastică ;
- A_{tot} [J] - lucrul mecanic de rupere ;
- A_{el} [J] - lucrul mecanic elastic ;
- A_{pl} [J] - lucrul mecanic plastic.

S-a determinat totodată indicile de încovoiere /45/ care dă indicații asupra rigidității materialului conform relației :

$$E = \frac{\sigma_i}{f_{tot}} \cdot \frac{D}{50} \quad [\text{daN/mm}^2]$$

Distanța dintre reazinoare a fost calculată la 102 mm, în funcție de diametrul probelor /45/ :

$$\frac{D_1}{D_2} = \frac{l_1^2}{l_2^2} \frac{D_2}{D_1} \quad \text{unde: . . .}$$

- D_1 - diametrul standardizat corespunzător distanței dintre reazime standardizată L_1 ;
- D_2 - diametrul probelor folosite ;
- L_2 - distanța dintre reazime corespunzătoare diametrului D_2 ;

$$L_2^2 = \frac{L_1^2 \cdot D_2^2}{D_1^2} = \frac{80^2 \cdot 7^2}{5,5^2} = 10.367$$

rezultă:

$$L_2 = 102 \text{ mm.}$$

Probele de încovoiere au fost călitate la 1123°K în aer și apoi revenite la 573 ; 673 ; 773 și 823°K . Pentru a obține valori edificatoare s-au confectionat cîte șase probe pe fiecare șarjă și regim de tratament termic. Menționez că pe aceste probe, înainte de încovoiere s-au determinat și caracteristicile electrice și magnetice.

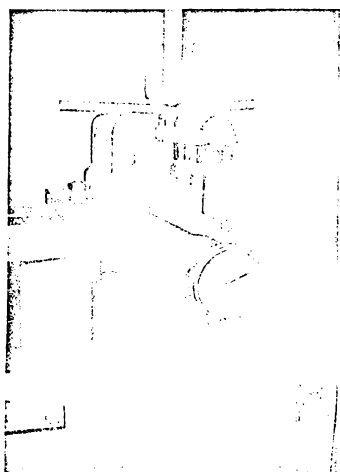


Fig.4.4

Încercările s-au făcut la o mașină universală de 10 tf cu posibilitate de acționare manuală. S-a lucrat cu o viteză de $0,062 \text{ mm pe secundă}$, pe scara de 2000 kgf și cu următoarele valori :

$$L_2 = 102 \text{ mm} ;$$

$$D_{rolă} = 20 \text{ mm} ;$$

$$D_{lamă} = 5 \text{ mm} .$$

Pentru a avea o precizie mai mare s-a înregistrat diagrama solicitare - deformare (sägeata) cu dispozitivul mașinii și totodată direct, prin punctare, cu ajutorul unui dispozitiv construit în laboratorul de încercări - figura 4.4. Acesta din urmă a permis, prin intermediul unui comparator, în contact direct cu probă în imediata vecinătate a lamei de încovoiere, să se măsoare continuu deformarea reală a probei.

S-au ridicat apoi diagramele de încovoiere pentru cele

75 de probe, cîtinindu-se forța și săgeata la intervale egale de deformare (0,2 mm).

Valorile obținute s-au preluorat, determinîndu-se valorile medii pe șarjă și tratament termic – tabelele 4.7(a,b); 4.8(a,b) ; 4.9(a,b). Pentru a avea o privire de ansamblu, se redau în tabelul 4.10 valorile medii centralizate pentru toate calitățile de otel cercetate.

Tabelul 4.7 a

Sarja A

Pro- bă Nr.	Trat.ter- mic aplic	P _c [daN]	σ_{ic} [daN] mm ²	P _{max} [daN]	σ_i [daN] mm ²	σ_{ic} σ_i	f [mm]	E [daN] mm ²	Obser- vații
73	1123/aer	160	121	165	125	0,96	1,5	19,16	
25	1123/aer+	386	292	430	325		3,15	23,69	
26 ^{x)}	573/60/a	305	231	340	257		2,70	21,85	x) defecte de forjare
27		356	269	432	327		3,30	22,77	
28		372	282	505	381		4,20	20,86	
29		387	293	513	388		4,10	21,76	
30		361	273	392	297		2,90	23,46	
Med		372	282	454	343,6	0,82	3,53	22,40	361; 273; 435; 329
61	1123/aer+	262	198	567	429		7,90	12,49	
62	673/60/a	297	225	495	375		4,80	17,94	
63		287	218	550	416		7,20	13,29	
64 ^{x)}		-	-	417	316		3,05	-	x) defecte de forjare
65		258	195	487	369		5,10	16,64	
66		293	221	553	419		7,30	13,18	
Med		279	211	530	402	0,52	6,46	14,71	

Proba Nr.	Tratament termic	P_0 [daN]	$\frac{G_{10}}{f}$ [daN] $\frac{\text{mm}^2}{\text{mm}^2}$	P_{\max} [daN]	$\frac{G_1}{f}$ [daN] $\frac{\text{mm}^2}{\text{mm}^2}$	$\frac{G_{10}}{G_1}$	f [mm]	R [daN] $\frac{\text{mm}}{\text{mm}^2}$	Observații
7	1123/aer+ 773/60/a	305	231	557	422		8,10	11,98	
8		325	246	520	394		5,80	15,59	
9		278	210	550	416		8,15	11,73	
10		297	225	555	420		9,40	10,28	
11		256	194	561	425		11,60	8,42	
12		275	208	532	403		7,10	13,05	
Med		289	219	546	413	0,53	8,35	11,84	
67	1123/aer+ 823/60/a	280	212	557	422		11,65	8,33	
68		273	206	560	424		12,40	7,87	
69		257	194	540	409		14,40	6,53	
70		332	251	537	406		7,95	11,73	
71		287	218	547	414		9,20	10,35	
72		307	232	522	395		7,35	12,36	
Med		289	219	544	412	0,53	10,50	9,53	

Tabelul 4.7 b

Proba Nr.	f [mm]	f_{e1} [mm]	f_{p1} [mm]	A $[J \cdot 10^{-2}]$	A_{e1} $[J \cdot 10^{-2}]$	A_{p1} $[J \cdot 10^{-2}]$
73	1,50	1,40	0,10	122,25	115,50	6,75
25	3,15	2,95	0,20	680,00	634,25	45,75
26	2,70	-	-	-	-	-
27	3,30	3,10	0,20	711,50	669,50	42,00
28	4,20	3,70	0,50	1120,75	930,50	190,25
29	4,10	3,55	0,55	1121,50	908,00	213,50

Proba Nr.	f [mm]	f_{e1} [mm]	f_{p1} [mm]	A $[J \cdot 10^{-2}]$	A_{e1} $[J \cdot 10^{-2}]$	A_{p1} $[J \cdot 10^{-2}]$
30	2,90	2,70	0,20	567,50	529,25	38,25
Med.	3,53	3,20	0,33	840,25	734,30	105,95
61	7,90	4,20	3,70	2986,25	1190,75	1795,50
62	4,80	3,45	1,35	1387,50	853,75	533,75
63	7,20	3,85	3,35	2591,25	1058,75	1532,50
64x)	3,05	-	-	-	-	-
65	5,10	3,50	1,60	1475,00	852,25	622,75
66	7,30	4,20	3,10	2661,25	1161,25	1500,00
Med.	6,46	3,84	2,62	2220,25	1023,35	1196,90
7	8,10	3,90	4,20	3143,00	1086,25	2056,75
8	5,80	3,70	2,10	1901,25	974,50	926,75
9	8,15	4,00	4,15	3130,25	1100,00	2030,25
10	9,40	3,95	5,45	3758,75	1097,50	2661,25
11	11,60	4,25	7,35	4786,00	1051,75	3734,25
12	7,10	3,75	3,35	2536,75	997,50	1539,25
Med.	8,35	3,93	4,43	3209,33	1051,25	2158,08
67	11,65	3,80	7,85	4958,25	1058,25	3900,00
68	12,40	3,85	8,55	5325,00	1134,00	4191,00
69	14,40	4,00	10,40	6130,00	1080,00	5050,00
70	7,95	3,70	4,25	2915,50	993,50	1922,00
71	9,20	4,05	5,15	3665,00	1107,75	2557,25
72	7,35	3,65	3,70	2705,75	952,75	1753,00
Med.	10,50	3,84	6,66	4283,25	1054,37	3228,88

Tabelul 4.8 a

Sarja B

Proba Nr.	Tratament termic	P_o [daN]	σ_{io} [daN/mm ²]	P_{max} [daN]	σ_i [daN/mm ²]	$\frac{\sigma_{io}}{\sigma_i}$	f [mm]	E [daN/mm ²]	Observații
74	1123/aer	181	137	247	187	0,73	2,00	21,50	
1	1123/aer+	337	255	418	316		3,35	21,69	
2	573/60/a	282	213	567	429		6,70	14,72	
3		298	225	357	270		2,95	21,04	
4		348	263	547	404		5,30	17,53	
5		296	224	503	380		5,00	17,48	
6		335	253	446	338		3,80	20,45	
Med		316	239	473	356	0,67	4,50	18,82	
37	1123/aer+	329	249	423	320		3,35	21,96	
38	673/60/a	319	241	530	401		5,75	16,03	
39		300	227	497	376		5,30	16,31	
40		307	232	530	401		6,15	15,00	
41		300	227	540	409		7,40	12,70	
42		277	210	523	396		6,40	13,24	
Med		305	231	507	384	0,595	5,72	15,87	
49	1123/aer+	335	253	551	417		7,80	12,29	
50	773/60/a	317	240	516	391		5,85	15,36	
51		297	225	455	344		4,70	16,84	
52		323	244	497	376		5,50	15,73	
53 ^{x)}		274	207	437	331		4,20	18,12	defecte
54		328	248	531	402		7,00	13,66	
Med		320	240	510	386	0,62	6,17	14,77	

Proba Nr.	Tratament termic	P_0 [daN]	\bar{G}_{io} [$\frac{\text{daN}}{\text{mm}^2}$]	P_{\max} [daN]	\bar{G}_i [$\frac{\text{daN}}{\text{mm}^2}$]	$\frac{\bar{G}_{io}}{\bar{G}_i}$	f [mm]	E [$\frac{\text{daN}}{\text{mm}^2}$]	Obs.
31	1123/aer	290	219	540	409		11,10	8,46	
32		310	235	544	412		13,30	7,13	
33		290	219	528	400		15,00	6,13	
34		282	213	526	398		9,10	10,05	
35		287	218	545	412		11,20	8,46	
36		301	228	545	413		16,80	5,65	
Med		293	222	538	407	0,54	12,75	7,64	

Tabelul 4.8 b

Proba Nr.	f [mm]	f_{e1} [mm]	f_{p1} [mm]	A [$J \cdot 10^{-2}$]	A_{e1} [$J \cdot 10^{-2}$]	A_{p1} [$J \cdot 10^{-2}$]	Obs.
74	2,00	1,85	0,15	242,75	229,25	13,50	
1	3,35	3,10	0,25	708,25	647,75	60,50	
2	6,70	4,65	2,05	2579,00	1308,25	1270,75	
3	2,95	2,75	0,20	521,00	488,00	33,00	
4	5,30	4,00	1,30	1677,25	1094,00	583,25	
5	5,00	3,90	1,10	1402,50	975,00	427,50	
6	3,80	3,35	0,45	898,75	747,00	151,75	
Med	4,50	3,62	0,88	1297,80	876,67	421,12	
37	3,35	2,95	0,40	745,00	624,00	121,00	
38	5,75	4,10	1,65	2144,50	1086,50	1058,00	
39	5,30	3,85	1,45	1516,25	957,75	558,50	
40	6,15	4,00	2,15	2016,50	1060,00	956,50	

Proba Nr.	P [mm]	f_{e1} [mm]	f_{p1} [mm]	A $[J \cdot 10^{-2}]$	A_{e1} $[J \cdot 10^{-2}]$	A_{p1} $[J \cdot 10^{-2}]$	Observatii
41	7,40	4,15	3,25	2612,50	1120,50	1492,00	
42	6,40	4,05	2,35	2095,00	1053,00	1042,00	
Med	5,72	3,85	1,87	1854,92	983,60	871,34	
49	7,80	4,15	3,65	2755,00	1141,25	1613,75	
50	5,85	3,55	2,30	1925,00	914,25	1010,75	
51	4,70	3,55	1,15	1232,50	807,50	425,00	
52	5,50	3,55	1,95	1700,00	882,25	817,75	
53 ^{x)}	4,20	3,40	0,80	1029,25	742,75	286,50	defecte
54	7,00	4,10	2,90	2428,75	1086,50	1342,25	
Med	6,17	3,76	2,41	2008,25	966,32	1041,93	
31	11,10	3,90	7,20	4194,50	1053,00	3141,50	
32	13,30	3,70	9,60	5768,25	1006,50	4761,75	
33	15,00	3,80	11,20	6425,00	884,50	5540,50	
34	9,10	4,00	5,10	3406,25	1052,00	2354,25	
35	11,20	4,00	7,20	4565,00	1090,00	3475,00	
36	16,80	3,80	13,00	7125,00	1035,50	6089,50	
Med	12,75	3,87	8,88	5247,33	1020,25	4227,08	

Tabelul 4.9 a

Sarja C

Proba Nr.	Tratament termic	P _o [daN]	C _{io} [daN/mm ²]	P _{max} [daN]	i [daN/mm ²]	$\frac{C_{io}}{C_i}$	f [mm]	E [daN/mm ²]	Observații
75	1123/aer	232	176	260	197	0,89	2,30	19,70	
19	1123/aer+	424	321	636	481		7,50	14,75	
20 ^x	573/60/a	-	-	280	212		2,35	20,70	nu s-a înregistrat diagrama
21 ^x		360	272	642	486		10,60	10,53	
22		300	227	470	356		4,75	17,25	
23		350	265	560	424		6,20	15,73	
24		318	231	540	409		5,95	15,80	
Med		330	252	551	417	0,604	6,10	15,88	
55	1123/aer+	270	204	420	318		4,00	18,30	
56	673/60/a	271	205	427	323		4,15	17,89	
57		280	212	515	390		6,10	14,72	
58		-	-	520	394		7,00	12,95	
59		300	227	468	354		4,37	18,63	
60		317	240	521	395		5,60	16,21	
Med		287	218	480	362	0,60	5,20	16,45	
13	1123/aer+	280	212	535	405		7,10	13,11	
14	773/60/a	299	226	490	372		5,50	15,55	
15		286	216	547	414		7,15	13,32	
16		261	198	506	383		6,60	13,34	
17		307	232	580	439		8,75	11,50	
18		286	216	575	435		8,70	11,50	
Med		288	219	538	408	0,54	7,30	13,05	

Proba Nr.	Tratament termic	P_o [daN]	σ_{io} [daN] [mm $^{-2}$]	P_{max} [daN]	$\frac{1}{\mu m^2}$	$\frac{\sigma_{io}}{\sigma_i}$	f [mm]	E [daN] [mm $^{-2}$]	Observații
43	1123/aer+	287	218	565	428		8,40	11,73	
44		307	232	576	436		14,70	6,82	
45		282	213	566	428		14,00	7,015	
46		310	235	565	428		13,40	7,36	
47 ^{x)}		-	-	488	369		5,60	-	Incluz.de zgură
48		286	216	550	416		7,70	12,42	
Med		294	222	564	427	0,52	11,64	9,07	

Tabelul 4.9 b

Proba Nr.	f [mm]	f_{e1} [mm]	f_{p1} [mm]	A [J. 10^{-2}]	A_{e1} [J. 10^{-2}]	A_{p1} [J. 10^{-2}]	Observații
75	2,30	2,15	0,15	324,00	279,50	44,50	
19	7,50	4,50	3,00	3047,50	1431,00	1616,50	
20 ^{x)}	2,35	2,20	0,15	315,50	308,00	7,50	
21 ^{x)}	10,60	4,85	5,75	4840,00	1554,50	3285,50	
22	4,75	4,00	0,75	1233,75	940,50	293,25	
23	6,20	4,35	1,85	2095,00	1215,50	879,50	
24	5,95	4,30	1,65	1923,75	1161,00	762,75	
Med	6,10	4,29	1,81	2075,00	1186,90	888,10	
55	4,00	3,35	0,65	918,50	703,50	215,00	
56	4,15	3,15	1,00	1013,75	688,25	325,50	
57	6,10	3,95	2,15	1961,50	1017,00	944,50	
58	7,00	-	-	-	-	-	
59	4,37	3,55	0,85	1128,75	830,75	298,00	

Proba Nr.	f [mm]	f_{el} [mm]	f_{pl} [mm]	A $[J \cdot 10^{-2}]$	A_{el} $[J \cdot 10^{-2}]$	A_{pl} $[J \cdot 10^{-2}]$	Obs.
60	5,60	3,70	1,90	1772,00	963,75	808,25	
Med	5,20	3,54	1,66	1358,90	840,65	518,25	
13	7,10	4,05	3,05	2462,50	1083,25	1379,25	
14	5,50	3,80	1,70	1631,25	931,00	700,25	
15	7,15	4,55	2,60	2465,00	1244,50	1220,50	
16	6,60	4,20	2,40	2090,00	1176,00	914,00	
17	8,75	4,45	4,30	3451,25	1290,50	2160,75	
18	8,70	4,05	4,65	3407,50	1164,50	2243,00	
Med	7,30	4,18	3,12	2584,58	1148,29	1436,29	
43	8,40	4,20	4,20	3228,75	1186,50	2042,25	
44	14,70	4,30	10,40	6600,00	1238,50	5361,50	
45	14,00	4,20	9,80	6167,50	1188,50	4979,00	
46	13,40	4,20	9,20	5856,25	1186,50	4669,75	
47	5,60	-	-	-	-	-	
48	7,70	4,00	3,70	2810,25	1100,00	1710,25	
Med	11,64	4,18	7,46	4932,55	1180,00	3725,55	

In figurile 4.5 a, b, c, d, e ; 4.6 a...e ; 4.7 a...e sunt reprezentate cîte o diagramă de încovoiere pentru fiecare serie de probe (tratament termic și șarjă) pe baza datelor înregistrate prin punctare, pînă la rupere.

Din diagrame s-au determinat : săgeata de rupere (f), săgeata elastică (f_{el}) și plastică (f_{pl}) și prin planimetrire, lucrul mecanic de rupere (A), oartaparte elastică (A_{el}) și cea plastică (A_{pl}). Aceste elemente (f ; f_{el} ; f_{pl} ; A ; A_{el} ; A_{pl}) și valorile de rezistență sunt reprezentate în funcție de temperatură de revenire în figurile 4.8 a,b,c ; 4.10 a,b,c ; 4.12 a,b,c.

Tabel 4.15

Sarja	Tratament termic	G_e [daN/mm ²]	G_i [daN/mm ²]	E [daN/mm ²]	t [mm]	t_{el} [mm]	t_{pl} [J·10 ⁻²]	A [J·10 ⁻²]	A_{el} [J·10 ⁻²]	A_{pl} [J·10 ⁻⁶]	ρ [Ω·m·10 ⁻⁶]	H_c [A·10 ³] [m·4π]	E_{cr} [T...- -]
A	850/a	121	125	19,16	150	1,40	0,10	122,25	115,50	6,75	0,4962	—	—
	C+300/60/a	282	344	22,40	3,53	3,20	0,33	840,25	734,39	105,95	0,3859	58,80	73,52
	C+400/60/a	211	402	14,71	6,46	3,84	2,62	2220,25	1023,35	1196,90	0,3676	64,5	77,52
	C+500/60/a	219	413	11,84	8,35	3,93	4,43	3209,33	1051,25	2158,08	0,3373	68,6	37,52
	C+550/60/a	219	412	9,53	10,50	3,84	6,66	4283,25	1054,37	3228,88	0,3197	73,7	33,52
	850/a	137	187	21,50	200	1,85	0,15	242,75	229,25	13,50	0,4317	—	—
B	C+300/60/a	239	356	18,82	4,50	3,62	0,88	1297,80	876,67	421,12	0,4119	60,0	77,52
	C+400/60/a	231	384	15,87	5,72	3,85	1,87	1854,92	983,60	871,34	0,3717	66,0	52,52
	C+500/60/a	240	386	14,77	6,17	3,76	2,41	2008,25	966,32	1041,93	0,3294	67,9	55,52
	C+550/60/a	222	407	7,64	12,75	3,87	8,88	5247,33	1020,25	4227,08	0,3034	75,9	52,52
	850/a	176	197	19,70	2,30	2,15	0,15	324,00	279,50	44,50	0,4886	—	—
	C+300/60/a	252	417	15,88	6,10	4,29	1,81	2075,00	1186,90	888,10	0,4189	60,0	77,52
C	C+400/60/a	218	362	16,45	5,20	3,54	1,62	1358,90	840,65	518,25	0,3858	—	—
	C+500/60/a	219	408	13,05	7,30	4,13	3,12	2584,58	1148,29	1436,29	0,3404	67,8	52,52
	C+550/60/a	222	427	9,07	11,64	4,13	7,46	4932,55	1180,00	3725,55	0,3254	68,0	52,52

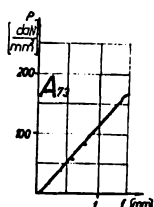


Fig.4.5 a

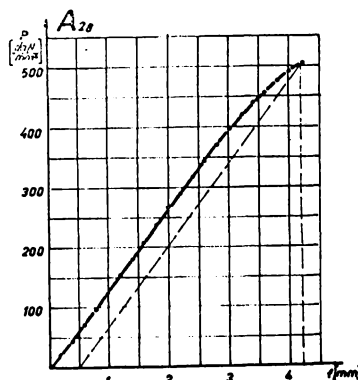


Fig.4.5 b

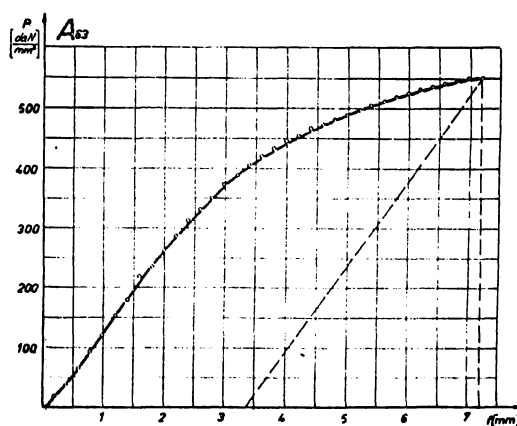


Fig.4.5 c

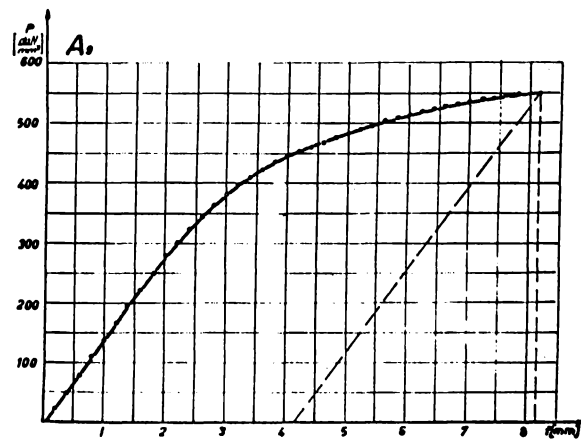
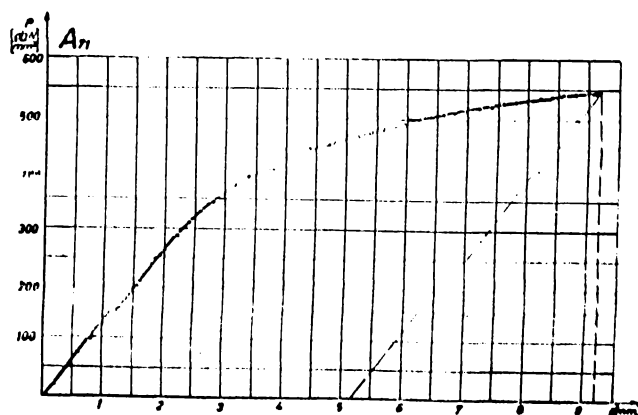


Fig.4.5 d



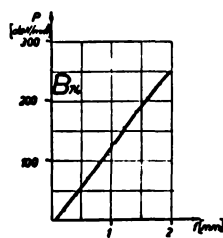


Fig.4.6 a

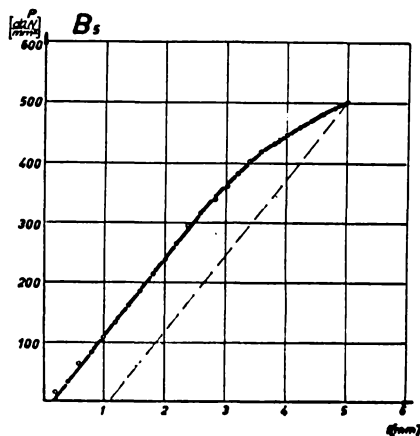


Fig.4.6 b

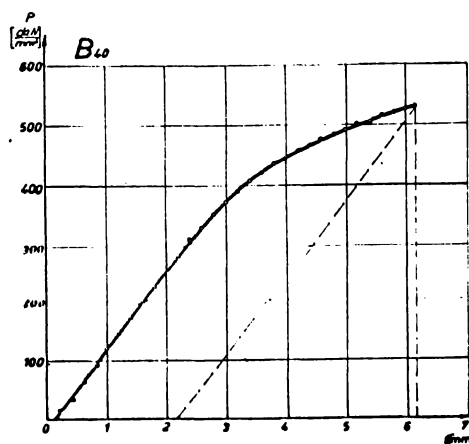


Fig.4.6 c

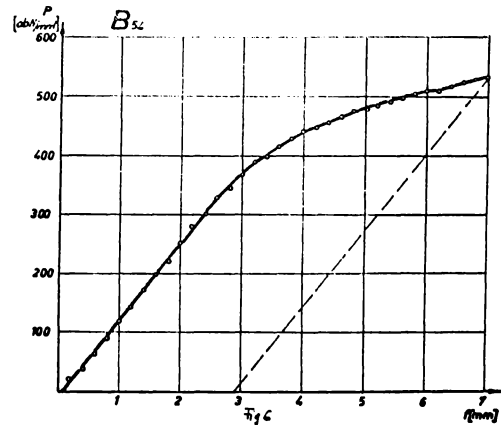


Fig.4.6 d

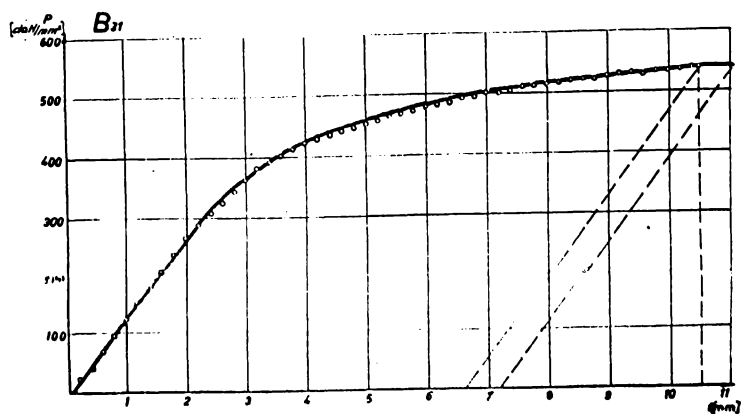


Fig.4.6 e

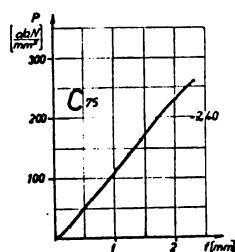


Fig.4.7 a

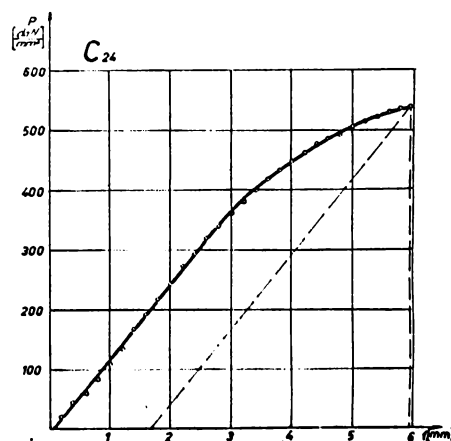


Fig.4.7 b

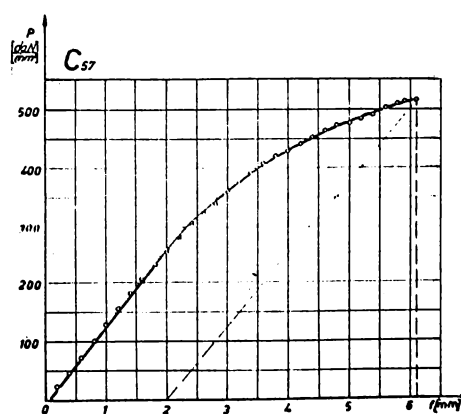


Fig.4.7 c

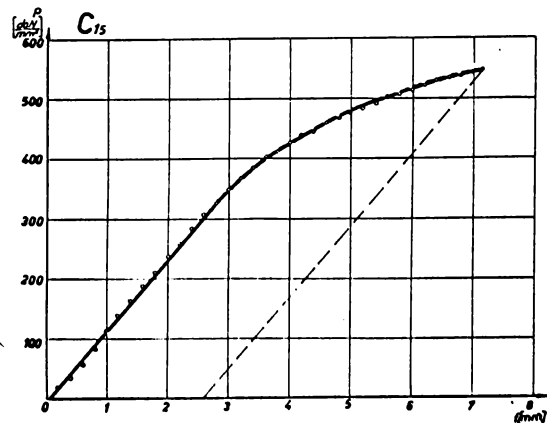


Fig.4.7 d

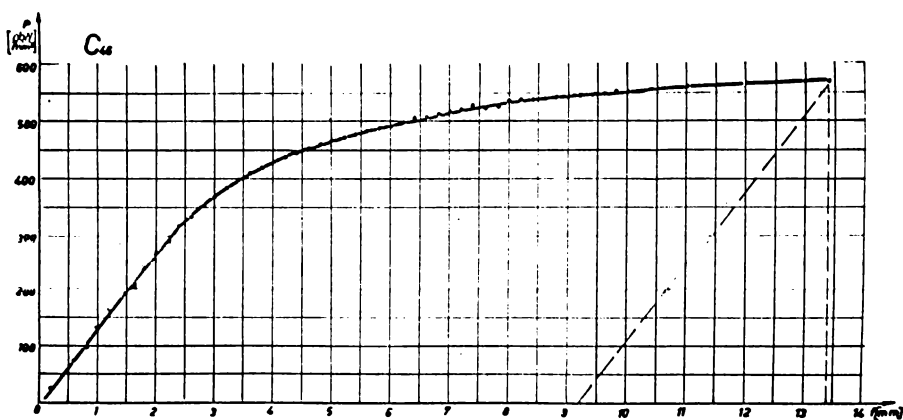


Fig.4.7 e

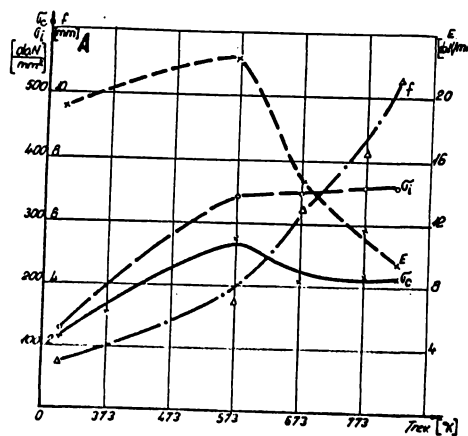


Fig.4.8 a

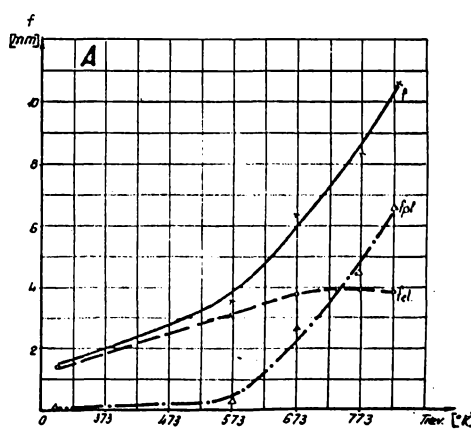


Fig.4.8 b



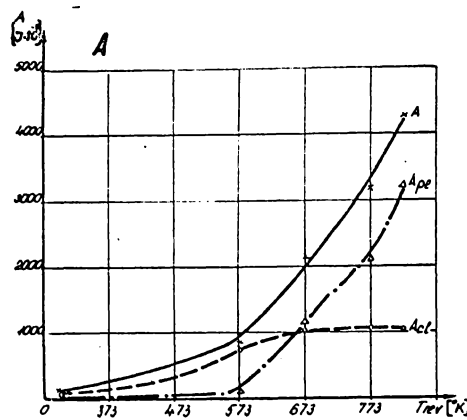


Fig.4.8 o



Fig.4.9 a



Fig.4.9 b



Fig.4.9 c

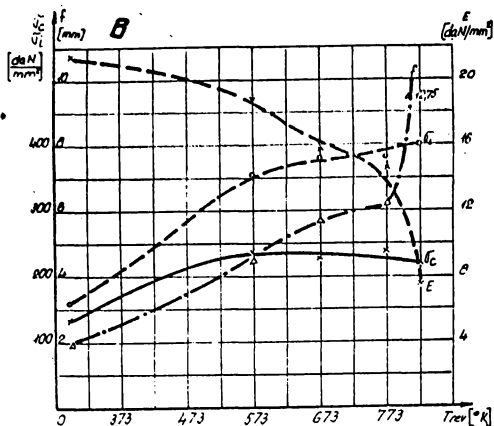


Fig. 4.10 a

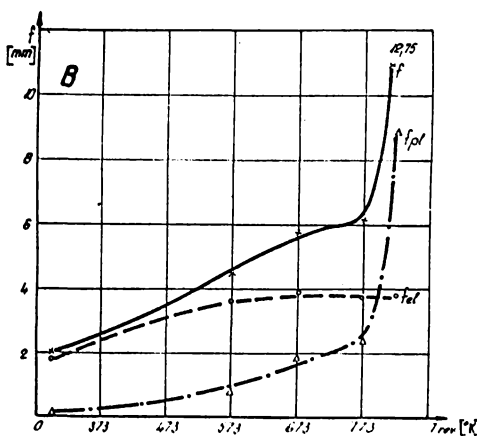


Fig. 4.10 b

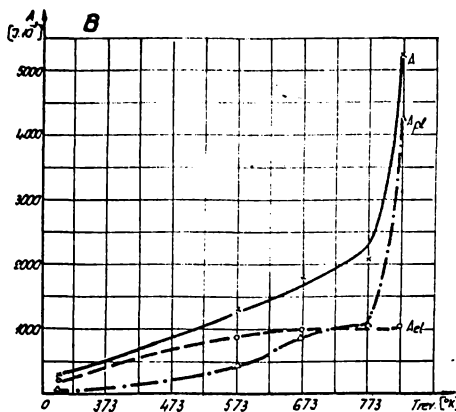


Fig. 4.10 c

In figura 4.8 a se constată că atât rezistența la încovoiere cât și limita de curgere cresc cu mărirea temperaturii de revenire. Este de remarcat faptul că apare o accentuată creștere a rezistenței la încovoiere pînă la temperatura de revenire de 573°K (300°C) după care apare aproape o stagnare. Limita de curgere prezintă un maxim la această temperatură, de altfel și coeficientul de rigiditate E evidențează același fenomen. Sägeata la rupere manifestă o creștere mai mică pînă la 573°K , după care creșterea este considerabilă.

Se remarcă faptul că cotapartea elastică a săgeții rămîne practic neafectată de temperatura de revenire - fig.4.8 b și același lucru se constată și pentru lucrul mecanic elastic - fig. 4.8 c.

Faptul că, deși indicii de plasticitate - săgeata și lucrul mecanic de încovoiere - cresc, rezistența la rupere și cotapărțile elastice ale săgeții și a lucrului mecanic nu se modifică pare să fie o anomalie, o abatere a comportării oțelului din punct de vedere al rezistenței materialelor. Această comportare se poate atribui procesului de separare a precipitărilor foarte fine, începînd de la 673°K , de fază bogată în cupru și care provoacă creșterea valorilor de rezistență. Acest fenomen domină procesul de înmuiere datorat creșterii cantității de carburi precipitate.

Scăderea stării de tensiuni datorată gradului de supersaturare ridicat al martensitei și deci atenuarea fragilității este confirmată și de variația cîmpului coercitiv H_c (fig.4.2), care are o alură paralelă, în funcție de temperatură de revenire, cu săgeata totală. Menținerea valorilor ridicate și constante pentru cotapărțile elastice ale săgeții, ale lucrului mecanic, este atestată și de analizele microfractografice. În figurile 4.9 a,b,c sunt redate microfractografiile executate pe probe revenite la 573 , 673 și 820°K . Este de remarcat că, chiar și la temperaturi ridicate de revenire (fig. 4.9 c) persistă rupere tipică pentru martensită. Comparînd însă structurile se constată că cotapartea ductilă se accentuează de la probele revenite la temperaturi joase spre cele revenite la temperaturi ridicate. La ultimele, care au săgeata la rupere relativ mare, aspectul șistos al rupturii este mai puțin pronunțat.

Oțelul B, ale cărui caracteristici de rezistență sunt ilustrate în figura 4.10 a,b,c, are o comportare asemănătoare. Se constată însă o carecare inertie a deformării, evidențiată prin săgeata la încovoiere, care pînă la 773°K temperatură de revenire are creșteri mici, după care crește considerabil fără ca celelalte valori - σ_{i_0} ; σ_i ; f_{e1} ; A_{e1} - să fie afectate. De altfel, nici structural nu apar deosebiri considerabile (fig. 3.20 d...h).

Coefficientul de rigiditate E are variație confirmatoare, scade puternic abia la temperaturi peste 773°K . Rezultă sau se confirmă că începînd de la temperaturi de revenire mai mari de 673°K se manifestă un fenomen - precipitare de fază - care contribue la ridicarea valorilor de rezistență simultan cu creșterea plasticității - creșterea săgeții și a lucrului mecanic.

Analiza microfractografică fig.4.11 a,b confirmă variația caracteristicilor de rezistență în sensul că se evidențează rupere martensitică, dar cu un caracter mai puțin fragil la temperatura de revenire mai ridicată.



Fig.4.11 a

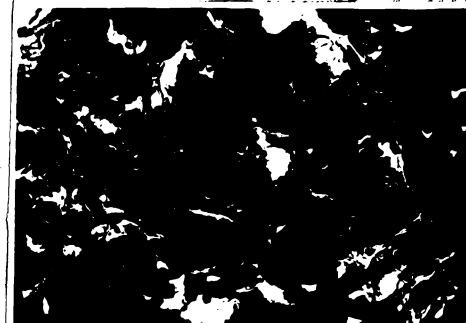


Fig.4.11 b

Să săracă C, în conținut maxim de cupru - 2,29 % - are o comportare asemănătoare. Spre decsebire de calitățile de oțeluri mai sărace în cupru, aici creșterea caracteristicilor de rezistență σ_i și σ_{i_0} la temperatură mai mare de 573°K , este însoțită de o creștere a celor de plasticitate f și A și de scăderea indicelui de rigiditate (fig.4.12 a,b,c). Este însă de presupus că nu acestea sunt fenomenele predominante, ci cele care se manifestă începînd de la temperatura de 673°K (400°C), temperatură la care, după cum reiese și din curbele de variație ale

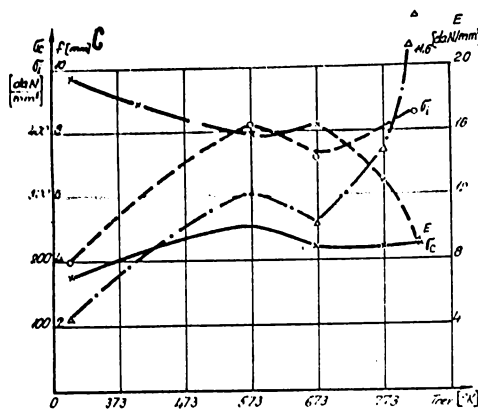


Fig.4.12 a

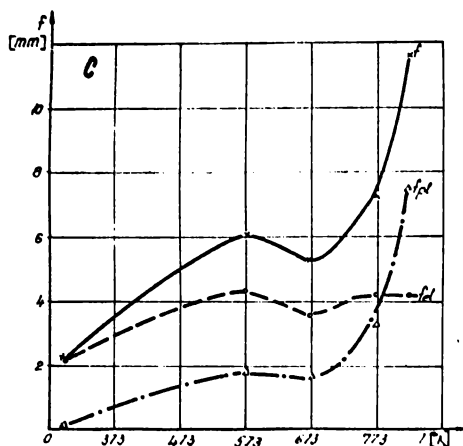


Fig.4.12 b

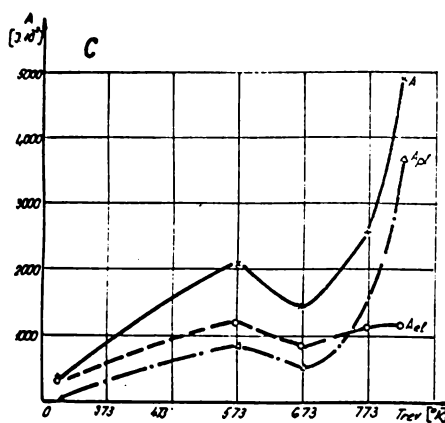


Fig.4.12 c

durițății (fig.3.18) apare un fenomen de durificare datorită precipitării unei cantități mărite de fază \mathcal{E} , fără a cauza o fragilizare. Microstructura electronică confirmă acest lucru (fig. 3.23 și 3.24).

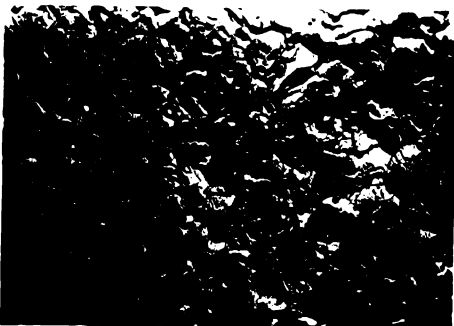


Fig.4.13 a



Fig.4.13 b

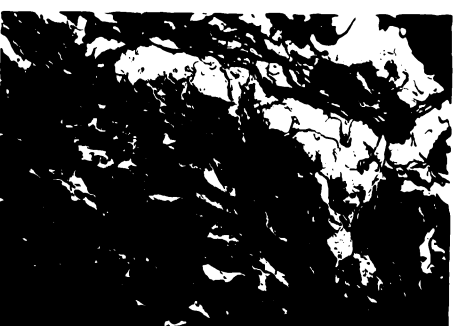


Fig.4.13 c



Fig.4.13 d

In fig.4.13 a,b,c,d sunt prezentate microfractografiile probelor șarjei C. Este de remarcat ruperea pregnant șistoasă la probele călite (fig.4.13 a) și atenuarea acestui caracter cu creșterea temperaturii de revenire, în concordanță cu variația valorilor determinate la încercările efectuate – creșterea cotă-părților plastice, fără ca să scadă cele elastice.

Este important de observat că la toate șarjele cerceta-te, cu creșterea temperaturii de revenire, cresc atât caracte-risticile de rezistență cât și cele de plasticitate, dar cotă-părțile elastice – importante pentru oțelurile de soule – rămân practic constante. Fenomenul de înmuiere excesivă cu creșterea

temperaturii de revenire datorat precipitării carburilor din martensită, este echilibrat de separarea formațiunilor foarte fine de fază și, începând de la aproximativ 673°K . Astfel oțelurile aliate cu cupru ating caracteristici de rezistență ridicată fără a fi fragile, iar oțelurile complex aliate cu Cr, Mo și Cu au rezistență și duritate ridicată într-un interval larg de temperaturi de revenire și totodată buni indici de tenacitate.

4.2.2.- Încercare de reziliență. Analiza microfractografică

Pentru a cerceta comportarea oțelurilor complex aliate cu Cr, Mo și Cu la solicitări prin soc s-au efectuat încercări de reziliență pe probe Mesnager (cu orestătură rotundă). La aceste încercări sunt folosite oțelurile din șarjele A'; B' și C' cu conținut de cupru de 1,50 ; 1,90 și respectiv 2,40 %.

Probele rectificate s-au călit (răcire în aer) și s-au supus revenirii la 473 ; 573 ; 673 ; 773 și 823°K (200 ; 300 ; 400 ; 500 ; 550°C).

Valorile obținute sunt redate în tabelul 4.11 și în fig.4.14. Din lipsă de material s-au efectuat încercări de re-

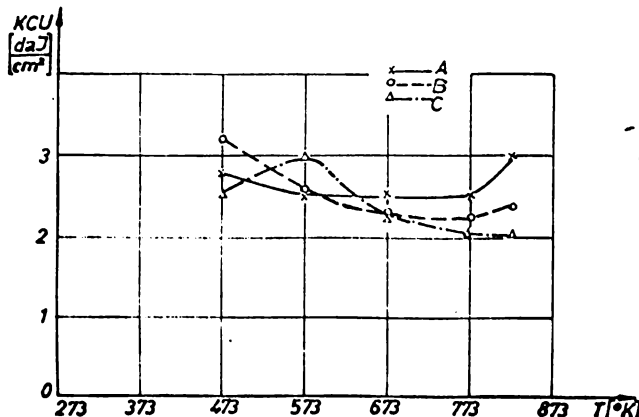


Fig.4.14

ziliență numai pe șarje A', B', C'. Se observă din analiza rezultatelor că reziliența variază puțin cu temperatura de reve-

nire. La șarja A', cu conținut mai redus de Cu, se constată doar o foarte discretă scădere a rezilienței, practic neglijabilă, întrînd în domeniul erorilor posibile, la temperaturi de revenire mijlocii și o creștere careore, de la $2,50$ la $3,03 \text{ daJ/cm}^2$ la temperatura de revenire de 823°K , temperatură la care detensiunea structurală este completă.

La șarja B se constată o scădere discretă a rezilienței cu creșterea temperaturii de revenire, mai ales începînd de la temperatura de 673°K (400°C). Trebuie ținut seama însă că începînd de la această valoare se evidențează fenomenul de separare a formațiunilor ē, fenomen ce se opune înmuierii datorată precipitării carburilor din soluția suprasaturată.

La șarja mai bogată în Cu - $2,30\%$ - și unde gradul de precipitare a fazei ē este mărit, se constată și o discretă reducere treptată a rezilienței ; de la $2,98[\text{daJ/cm}^2]$ la $2,06[\text{daJ/cm}^2]$.

Tabelul 4.11

Sarja	Proba Nr.	Tratament termic aplicat	L [daJ]	KCU $\left[\frac{\text{daJ}}{\text{cm}^2}\right]$	KCU _{med} $\left[\frac{\text{daJ}}{\text{cm}^2}\right]$	Observații
A'	1	1123/aer+	2,80	3,50		
	2		1,60	2,00	2,80	
	3		2,40	3,00		
	7	573/aer	1,90	2,38		
	8		2,00	2,50	2,58	
	9		2,30	2,87		
	10	673/aer	1,70	2,12		
	11		2,00	2,50	2,58	
	12		2,50	3,10		

Sarja	Probe Nr.	Tratament termic aplicat	L [daJ]	KCU [daJ] [om ²]	KCU _{med} [daJ] [om ²]	Observații
A'	13	1123/aer+	2,60	3,25		defecte de forjare
	14		1,80	2,25	2,50	
	15		1,60	2,00		
	4	1123/aer+	2,50	3,10		
	5		2,10	2,62	3,03	
	6		2,70	3,38		
C'	1	1123/aer+	2,10	2,62		defecte de forjare
	2		1,70	2,12	2,54	
	3		2,30	2,80		
	7	1123/aer+	2,40	3,00		
	8		2,20	2,75	2,98	
	9		2,55	3,20		
	10	1123/aer+	1,55	1,94		
	11		2,20	2,75	2,23	
	12		1,60	2,00		
	13	1123/aer+	1,65	2,06		
	14		1,75	2,20	2,17	
	15		1,80	2,25		
	4	1123/aer+	1,50	1,87		
	5		1,80	2,25	2,06	
	6		-	-		

defecte de
forjare

Sarja	Probă Nr.	Tratament termic aplicat	L [daJ]	KCU [daJ] [cm ²]	KCU _{med} [daJ] [cm ²]	Observații
B'	1	1123/aer+	2,10	2,62		
	2		2,90	3,66	3,22	
	3		2,70	3,38		
	7	573/aer	1,90	2,38		
	8		2,20	2,75	2,54	
	9		2,00	2,50		
	10	673/aer	1,70	2,12		
	11		1,50	1,875	2,16	
	12		2,00	2,50		
	13	773/aer	1,80	2,25		
	14		1,60	2,00	2,25	
	15		2,00	2,50		
	4	823/aer	2,20	2,75		
	5		2,00	2,00	2,33	
	6		1,80	2,25		

Pentru a cerceta mai temeinic comportarea la solicitări prin soc și natura ruperii s-a recurs la microfractografie, cunoscut fiind faptul că prin această metodă de analiză se pot obține informații privind originea și amorsarea precum și propagarea fisurilor în timpul încercării. La călăurile de față rezistență, natura rupturii dă adeseori indicații asupra limitelor de utilizare efectivă a acestora.

Cercetările microfractografice au fost efectuate la microscopul electronic BS 613, la mărimirea medie de 1700x, pe replică dublă colodiu - carbon.

In figurile 4.15 ; 4.16 ; 4.17 sunt redate cîteva microfractografii ale unor probe de reziliență încercate :

- 4.15 a - structura probei A'-2
- b - structura probei A'-11
- c - structura probei A'-4
- 4.16 a - structura probei B'-2
- b - structura probei B'-10
- c - structura probei B'-6
- 4.17 a - structura probei C'-1 x17831' ; x8500" ;
 x4100"
- b - structura probei C'-11
- c - structura probei C'-5

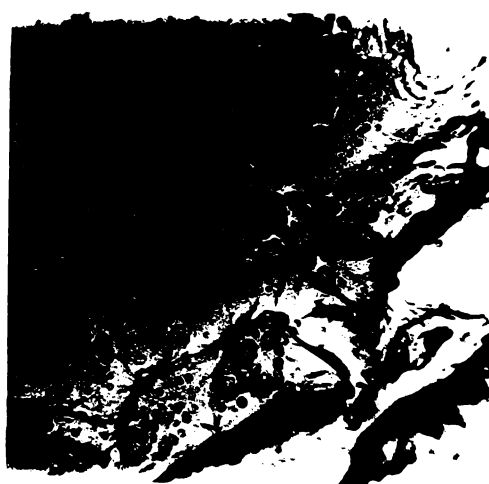


Fig.4.15 a

Din analiza acestora se desprind următoarele observații :

- la șarjele A' și B' , în toate condițiile de tratament termic, ruptura are un caracter ductil ; la temperaturi mai mari de revenire, apare evidentă forma con-cupă a rupturii (fig.4.12 b și 4.13 c). Acest lucru este normal, având în vedere efectul avansat de detensionare cauzat de procesul de revenire ;



Fig.4.15 b



Fig.4.15 c



Fig.4.16 a



Fig.4.16 b

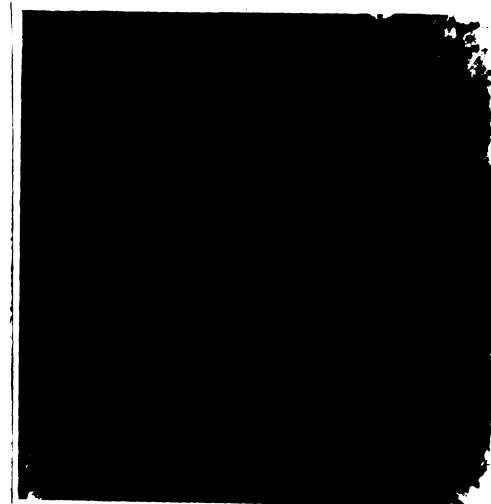


Fig.4.16 o



Fig.4.17 a'



Fig.4.17 a''



Fig.4.17 a'''



Fig.4.17 b

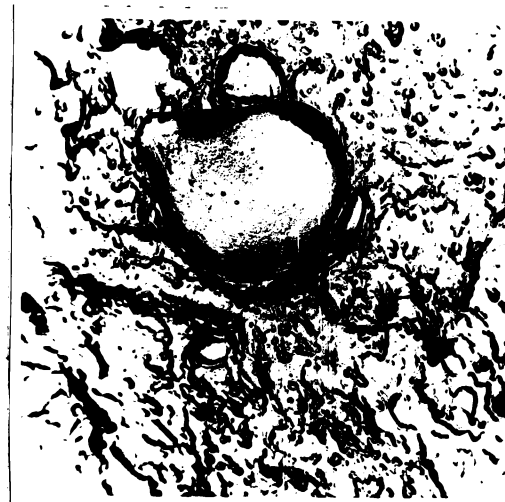


Fig.4.17 c

- la probele de reziliență din șarja C', rupturile au un caracter ductil-ffagil , probabil o consecință a conținutului mai ridicat de cupru, respectiv a formării unei cantități mai mari de precipitate de fază δ ;

- în toate cazurile cercetate, amorsele de rupere sînt asociate precipitărilor de fază, separate în timpul revenirii.

In concluzie, reziliența la temperatura ambientă a oțelurilor aliate cu Crom, molibden și cupru este slab influențată de regimul de revenire. Cele cu conținut mai ridicat de Cu au reziliență mai mică, lucru ce se explică prin separarea unei cantități mai mari de fază δ .

4.3.- Concluzii asupra proprietăților fizico-mecanice ale oțelurilor cercetate

Analizînd variația durității probelor călite și revenite la diferite temperaturi, se presupune că în intervalul $673\ldots 823^{\circ}\text{K}$, interval în care duritatea nu scade, respectiv crește la șarjele mai bogate în cupru, au loc precipitări de fază δ din soluția solidă suprasaturată, precipitări care cauzează durifi-

carea.

Prin determinarea rezistivității electrice, a cîmpului coercitiv și a magnetismului remanent s-a evidențiat că în întregul interval de temperaturi de revenire cercetat, au loc fenomene continue de precipitare, de modificare a gradului de saturare a martensitei. Astfel rezistivitatea electrică scade continuu în funcție de temperatura de revenire iar cîmpul coercitor și magnetismul remanent variază de asemenea confirmativ.

Încercările de încovoiere efectuate pe probe călite și revenite la diferite temperaturi, au evidențiat că rezistența la rupere și surgere nu scad cu creșterea temperaturii de revenire în timp ce cotapărțile plastice cresc fără însă a afecta limitele elastice ale indicilor de plasticitate. Sarjele A și A' cu conținut mai redus în cupru prezintă rezistență mecanică și duritate la 473°K temperatură de revenire, mari în timp ce sarjele mai bogate în cupru prezintă valori optime de rezistență, duritate și tenacitate la temperaturi ridicate de revenire, în jur de $723\ldots 773^{\circ}\text{K}$.

Pentru a obține informații și asupra comportării oțelurilor la solicitări cu soc s-au executat încercări de reziliență pe probe Mesnager călite și revenite la temperaturi cuprinse între 473 și 823°K . Reziliența variază doar foarte discret cu temperatura de revenire, între $2,06$ și $3,22$ [daJ/cm^2]. Analizele microfotografice executate atât pe probe solicitate la încovoiere statică cât și pe probe de reziliență doar la concluzia că, deși valorile de rezistență rămân ridicate chiar și la temperaturi finale de revenire, ruperea are în general un caracter fragil-ductil. Tinind seama de acest lucru și totodată de limitele finale ale caracteristicilor de elasticitate, se poate presupune că aceste oțeluri se vor comporta foarte bine față de solicitările din exploatare.

...

Capitolul 5

5.- COMPORTAREA IN EXPLOATARE A OTELURILOR ALIATE Cu - Cr - Mo

Caracteristicile tehnologice și de exploatare ale materialelor pentru executarea sculelor de prelucrare la rece fără degajare de așchii, sunt impuse de condițiile propriu zise de lucru. Solicitările care apar sunt complexe și pot fi grupate în mecanice, termice și de uzură.

Părțile active ale sculelor sunt supuse, mai ales muchiile sau suprafetele de lucru, la solicitări de încovoiere și torsionare care pot provoca deformarea și ruperea elementelor active și astfel scoaterea prematură a sculelor din uz.

De asemenea, dacă frecvența ciclului de lucru este mare, apar solicitări termice în sensul că prin încălzire în timpul lucrului se provoacă descompunerea martensitei și ca atare înmuierea, scăderea durității părților active ale sculei.

În sfîrșit, uzura apare atât la materialele de prelucrare dure cît și la cele moi, la prelucrarea acestora din urmă, particule de material se lipesc de zonele active ale sculei ceea ce favorizează uzura.

Din cele de sus rezultă că materialele destinate confectionării părților active ale sculelor de prelucrare la rece fără degajare de așchii trebuie să prezinte o serie de proprietăți, ca:

- duritate și rezistență ridicată ;
- tenacitate bună, mai ales cele destinate matrițelor care lucrează în condiții de solicitare la 800 ;
- stabilitate la cald decarece în unele cazuri, datorită vitezelor de lucru și a solicitărilor, părțile active pot ajunge la 450...600⁰K ;
- rezistență la uzură pentru a menține capacitatea de prelucrare a sculei și a asigura forma și dimensiunile produsului.

Materialele folosite pentru confectionarea elementelor componente ale stațelor pot fi grupate în mai multe categorii:
a) Fontă cenușie și oțel turnat. Pentru confectionarea

plăcilor de bază sau a plăcilor de cap, a poanoanelor și plăciilor de deformare, pentru prese mari și mijlocii se pot folosi fonte cenușii aliate cu cróm, mangan și nichel. Oțelul turnat este folosit doar pentru plăcile de bază sau de cap.

b) Oțel carbon și oțeluri aliate. Din categoria oțelurilor carbon de scoule se utilizează cele de mare tenacitate, la care se asigură un strat dur, rezistent la uzură și miez rezistent la șoc, OSC 7-9 și OSC 10-12. Din categoria celor aliate sunt utilizate mai multe calități, cele slab aliate, în cazul în care se impune o tenacitate bună și înalt aliate, pentru scoule la care abaterile dimensionale și de formă în urma tratamentului termic, trebuie să fie minime. Cele mai utilizate sunt cele aliate cu cróm, CrMn și CrW. Oțelurile cu cróm folosite sunt de două categorii – de mare tenacitate cu 0,8...1,5 % C și 0,9...2 % Cr și de mare rezistență cu 1,8...2,2 % C și 9...14 % Cr. Oțelurile CrMn cu max.1,0 % C; 0,3 % Cr și 2...3 % Mn se pot călări în aer și deci prezintă deformări minime după tratamentul termic.

c) Aliaje dure. Sunt folosite pentru placarea elementelor active ale scourelor, pentru a mări durabilitatea mai ales la prelucrarea tablelor silicioase, tăierea tablei cu conținut mare în carbon, a benzilor groase de oțel.

d) Materiale sintetice.

5.1.- Rezistența la uzură a oțelurilor aliate

Cr - Mo - Cu

In privința caracteristicilor impuse materialelor destinate confectionării scourelor de prelucrare la rece fără degajare de aşchii, s-au obținut relații în urma ceroetărilor tratate în capitolele 3 și 4.

Analizând valorile de duritate din tabelul 3.9 în funcție de tratamentul termic aplicat, se constată că există largi posibilități de utilizare a acestor oțeluri în sensul că în funcție de condițiile de lucru se poate alege un regim de tratament care să asigure o funcționare optimă. De exemplu, pentru scoule ce trebuie să prezinte și o tenacitate bună se impun duratăți cuprinse între 54 și 58 HRC.

Ceroetările tratate în capitolul 4 dău relații asupra

rezistenței mecanice și a tenacității oțelurilor în funcție de temperatura de revenire.

Pentru a obține în prima instanță indicații și asupra comportării la uzură a oțelorilor oeroestate s-au făcut încercări la uzură abrazivă, la o mașină rotativă, prevăzută cu discuri de granulație HCR 16, la o presiune specifică de $5,1 \text{ daN/cm}^2$. Forma și dimensiunile probelor utilizate sunt date în figura 5.1.

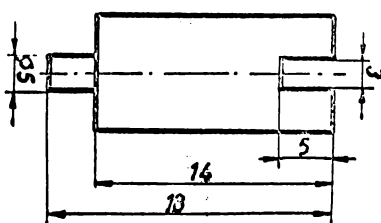


Fig.5.1

Probele au fost călitate în aer și apoi revenite la 473 , 673 și 773°K . Drepă material de referință s-au folosit epruvete normalizate din C 120. Rezultatele încercărilor sunt redatate în tabelul 5.1.

Evaluările s-au făcut gravimetric, determinindu-se prin cîntărire greutățile probelor și a etaloanelor la intervale egale de timp.

Tabelul 5.1

Sar-ja	Trătam. termic aplic	Greut. inițială		Greut. finală		Dif. de greut.		ΔG_p ΔG_0
		Proba	Etalon	Proba	Etalon	Proba	Etalon	
A'	1123/a+ 473/a	7,7871	16,2786	7,4949	15,9631	0,2922	0,3155	0,926
	1123/a+ 673/a	7,7695	15,9551	7,4507	15,6328	0,3188	0,3303	0,965
	1123/a+ 773/a	7,8433	16,3645	7,5478	16,0242	0,2955	0,3403	0,868
B'	1123/a+ 473/a	7,8709	16,1108	7,6976	15,9250	0,1733	0,1858	0,932
	1123/a+ 673/a	7,8879	16,0242	7,7300	15,8430	0,1570	0,1812	0,866
	1123/a+ 773/a	7,8986	16,3702	7,5981	16,0306	0,3005	0,3396	0,885

Sar-ja	Tratam. termic aplic	Greut. inițial.		Greut. finală		Dif. de greut.		$\frac{\Delta G_p}{\Delta G_e}$
		Proba	Etalon	Proba	Etalon	Proba	Etalon	
C'	1123/a+ 473/a	7,8513	16,1856	7,5680	15,8852	0,2833	0,3004	0,943
	1123/a+ 673/a	7,7113	15,8852	7,3904	15,5664	0,3209	0,3188	1,007
	1123/a+ 773/a	7,7620	16,0306	7,4299	15,6911	0,3321	0,3395	0,978

Analizînd valorile din tabel se observă că raportul dintre uzura probelor și a etalonului este subunitar pentru aproape toate cazurile, ceea ce dă notă unei bune comportări la uzură. Doar la șarja C' se observă o comportare ceva mai slabă, valoarea raportului u_p/u_e este practic 1, pentru probele revenite la temperaturi mari de 673 și 773°K. Trebuie ținut seama însă că la aceste temperaturi caracteristicile de tenacitate ale oțelului mai bogat în cupru, sunt ridicăte.

5.2.- Rezultate din exploatare

Pentru a obține indicații confirmatoare sau infirmatoare asupra comportării oțelurilor aliate cu cupru, crom, molibden în exploatare s-au executat două tipuri de scoule, la Intreprinderea ELBA :

- a) ștanță de decupat lamela negativă pentru bateria 3 R12 - la secția de elemente și
- b) ștanță de găurit și decupat placă suport balast CDIF-CM.

Primul produs este din alamă Am 63 de grosime 0,3 mm, livrată în benzi. Se execută curent la o presă cu frictiune, cu 110 bătăi pe minut sau la o presă rapidă. Atât poansonul cît și placă activă se execută din C 120 sau W 2080, călit și revenit la duritatea de 56 - 58 HRC. În fig.5.2 a,b și c sunt reprezentate poanoanele de decupat, executate din oțelurile cercate cît și ștanța în care au fost montate. Acestea se fac curent din C 120 călit și revenit.

- 103 -

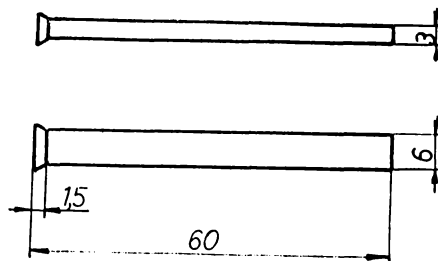


Fig.5.2 a

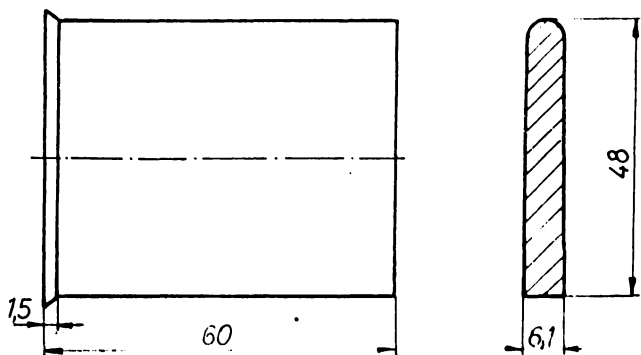


Fig.5.2 b

Reperul finit este redat în figura 5.3 iar banda din care se decoupează în figura 5.4.

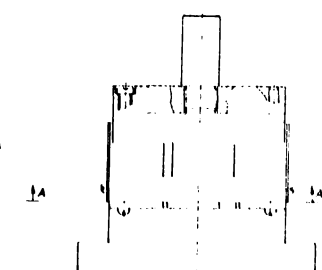


Fig.5.2c

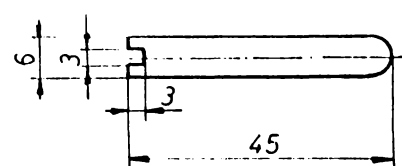


Fig.5.3.

- 104 -

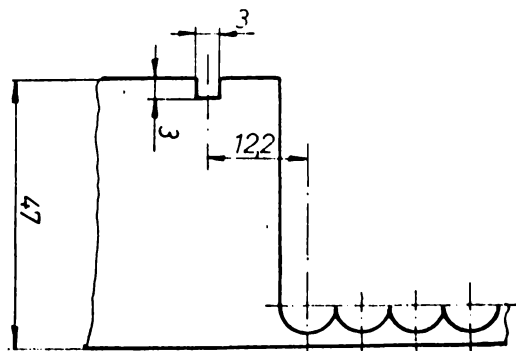


Fig.5.4

Produsul placă suport balast CDIF-GM se execută în mai multe faze, șlițuire, găurire, berejuiere și retezare. Forma produsului și fazele de prelucrare sunt redate în figura 5.5 și 5.6.

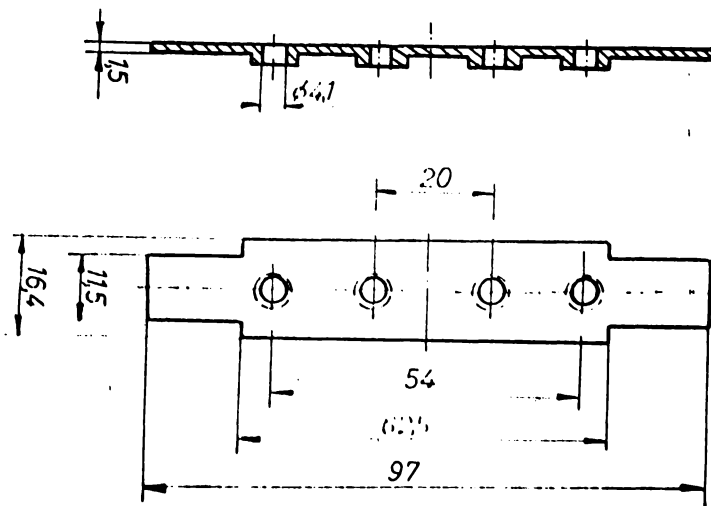


Fig.5.5

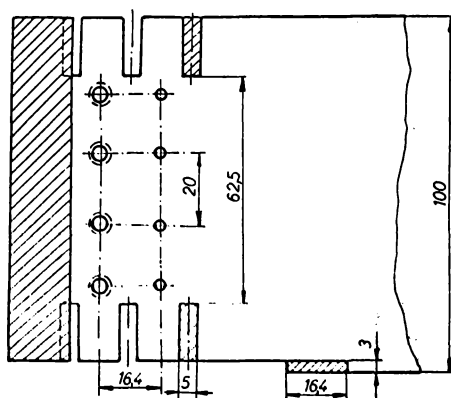


Fig.5.6

Acest produs se execută din bandă Am-MT sau fișii St 5 (similar cu OL 50) 1,5 x 100. Din ansamblul ștanței s-au confecționat, din otelurile cercate, elementele din fig.5.7 a (poanson de șlituit) 5.7 b (poanson Ø 2,2) și 5.7 c (poanson de bercluit)

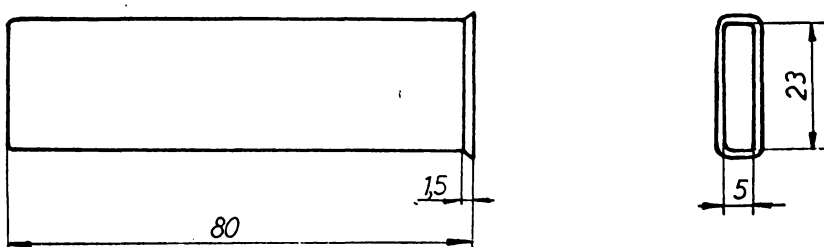


Fig.5.7 a

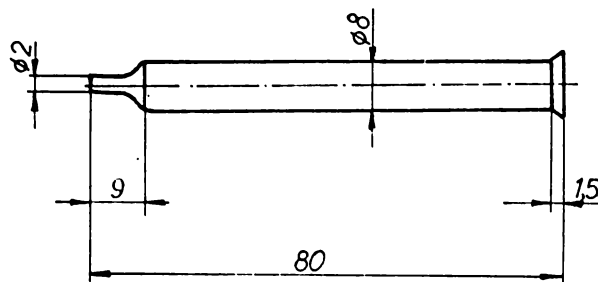


Fig.5.7 b

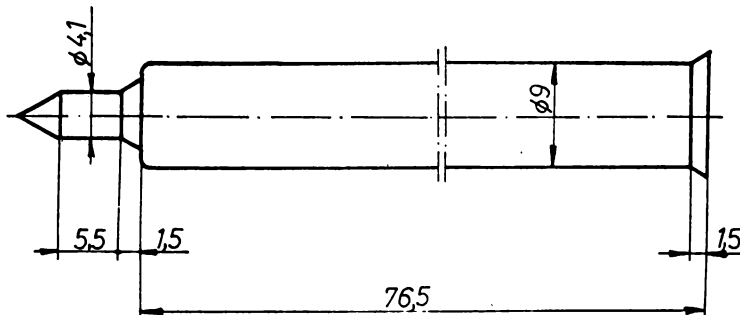


Fig.5.7 c

Pentru confectionarea sculelor din fig.5.2 s-a folosit oțelul B iar pentru cele din fig.5.7 oțelul C.

Poansoanele pentru decupat lamela negativă s-au călit în aer de la 1143°K și s-au supus revenirii la $470\ldots 480^{\circ}\text{K}$, timp de 90 minute.

Stanța a fost montată pe o presă cu fricțiune și a executat continuu, conform fișei de lucru cca. 83 de mii decupări, după care s-a cercetat aspectul tăișului. Nu s-au remarcat semne de uzură. Totuși s-au rectificat elementele active, s-au tratat din nou termic și au intrat din nou în ciclul de lucru.

Elementele pentru stanța de decupat placă suport balast au fost tratate similar, doar poanschul din fig.5.7 c a fost supus unei reveniri la 723°K timp de 2 ore. Stanța a fost montată pe o presă cu fricțiune de 25 tf. După 25 de mii lovitură nici

unul din părăsoane nu a prezentat uzură înaintată. Au fost totuși recondiționate, adică rectificate și reintroduse în ciclul de lucru. S-au mai cercetat apoi de două ori, după cîte 10000 de lovitură, părăsoanele stângei confectionate din oțelurile aliate cu Cu-Cr-Mo, fără a se sesiza o uzură a acestor piese care să reclame scoaterea din lucru.

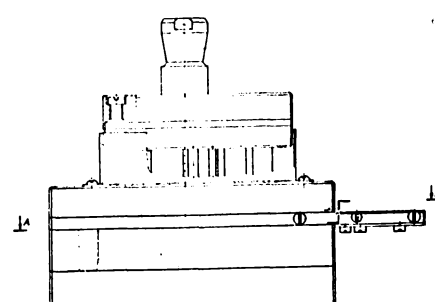
Trebuie menționat că în fiecare caz, atît la decuparea lamelelor negative cît și a plăcilor suport balast, plăcile de tăiere, deci porțiile complementare au fost confectionate din oțelul bogat în crom C 1200.

5.3.- Concluzii

Incercașriile de exploatare au fost relativ restrînse, în primul rînd datorită cantităților de materie primă pentru confectionarea sculelor, limitate. Mai ales în privința comportării oțelurilor în funcție de tratamentul termic, în deosebi în funcție de temperatura de revenire, mai trebuie continuă cercetările, deoarece rezultatele obținute în laborator permit să se presupună că domeniul de utilizare posibilă a oțelurilor aliate cu cupru, poate fi multă mărit.

Valorile de duritate și de uzură relativă, indicări de tenacitate și caracteristicile de rezistență, stabilitate în laborator, confirmate de rezultatele obținute în exploatare, demonstrează o comportare bună, comparabilă cu cea a oțelurilor bogat aliate. Trebuie remarcat, de exemplu, că oțelurile cu conținut mai mic de cupru, garjele A și B au duritate și rezistență la uzură bune, concomitent cu o tenacitate corespunzătoare la un regim de tratament termic final compus din căldure în aer și revenire la $470\ldots 570^{\circ}\text{K}$ ($200\ldots 300^{\circ}\text{C}$). În schimb oțelul cu conținut mai mare în cupru prezintă calități bune de duritate și rezistență la uzură și excepționale de tenacitate dacă se aplică după căldure în aer și revenire la temperaturi în jur de 773°K (500°C).

Fig. 5.7



Capitolul 6

6.- CONCLUZII FINALE

6.1.-Elaborarea și prelucrarea templierii oțelurilor

Cu - Cr - Mo

Elaborarea oțelurilor aliate cu crom, molibden și cupru ridică probleme deosebite de modul de elaborare a altor oțeluri. Se recomandă folosirea cupoarelor cu inducție de frâvență medic, acide sau bazice, respectându-se prevederile instrucțiunilor generale pentru elaborarea oțelurilor slab aliate cu destinație și proprietăți speciale. Folosirea cuprului ca element de aliere nu duce la complicații; este un element mai puțin avid față de oxigen decât fierul, are punct de topire relativ scăzut și tensiunea de vapori de asemenea, astfel încât, poate fi oricând introdus în baia metalică fără să existe pierderi prin zgură. Temperatura optimă de turnare stabilă a fost $1873\ldots 1893^{\circ}\text{K}$ (1600°C).

După turnare trebuie asigurată o răcire lentă întrucât, fiind vorba de oțeluri autocălibile, apare chiar la răcire în aer, o structură dură de călire.

Oțelurile cercetate, cu un conținut de cupru cuprins între 1,5 și 2,40 %, se prelucrează ușor prin forjare în intervalul de temperatură $1423\ldots 1123^{\circ}\text{K}$ ($1150\ldots 850^{\circ}\text{C}$). Durata de încălzire este funcție de grosimea materialului 1,5...2 min/mm grosime.

După forjare, dacă urmează un alt tip de prelucrare, trebuie să se asigure de asemenea o răcire lentă, pe cft posibil în materiale izolante, nisip sau cenugă.

In urma cercetărilor efectuate s-a constatat că nu este recomandabil să se aplice pentru înmatiere, recoacere pendulară cu răcire dirijată întrucât duce la apariția, în cazul conținuturilor mai mari în cupru, la apariția unei structuri sirbito-bainitice foarte fine și cu duritate relativ ridicată.

In urma încercărilor efectuate s-a ajuns la structuri de sorbită globulară (297 MB) printr-o recoacere obișnuită cu răcire lentă în cupitor.

6.2.- Transformările structurale în oțelurile Cu - Cr - Mo

Pentru a cunoaște comportarea oțelurilor la încălzire și răcire s-au stabilit în primul rînd punctele critice prin analiză dilatometrică. S-a constatat existența unui mare histerezis termic (peste 400°K) cauzat de Mo și accentuat considerabil de prezența cuprului. Temperaturile joase de transformare și stabilitatea austenitei explică apariția bainitei în structură la viteze de răciri relativ mici.

Pe baza temperaturilor de transformare reale, s-a stabilit regimul optim de călire care constă în încălzire la $1123\ldots 1153^{\circ}\text{K}$ urmată de răcire în aer. Folosirea uleiului sau a apei nu duce la obținere de durități mai mari. Răcire în aer, oțelurile prezintă结构uri de călire, structuri martensitice cu durități cuprinse între 63 și 65 HRC (tab.3.6).

In urma revenirii probelor călitate la temperaturi cuprinse între 473 și 923°K ($200\ldots 650^{\circ}\text{C}$) se observă pe structurile analizate la microscopul optic, transformări structurale evidente (fig. 3.19 ; 3.20 ; 3.21), se mențin structuri aciculare de tip martensitic cu precipitații foarte fine și la temperaturi ridicate de revenire. La măriri mari, obținute la microscopul electronic, se constată că la temperaturi de revenire în jur de 670°K începe să apară precipitații de fază și de mare finitate. La 870°K cantitatea de fază și precipitată este mai mare (fig.3.22 ; 3.23 ; 3.24). Analizând variația durității în funcție de temperatura de revenire (fig.3.18) se observă apariția unui fenomen de durificare secundară începînd de la temperatura de 670°K care se opune înmulierii datorită separării carburiilor din martensită, cauzat toomai de precipitarea fazei și din soluția suprasaturată. Astfel se obțin la oțelul C - 2,30 % Cu - durități ridicate, peste 54 HRC la temperaturi de revenire în jur de 773°K . Determinarea unor caracteristici electrice și magnetice a confirmat continua modificare a compoziției martensitei cu creșterea temperaturii de revenire.

6.3.- Proprietățile mecanice ale oțelurilor

Cu - Cr - Mo

Pe lîngă încercările de duritate s-au determinat o serie de indicii de rezistență prin înceroare la încovoiere și de reziliență, efectuate pe probe călite și revenite la diferite temperaturi cuprinse între 473 și 823⁰K.

În urma înceroarelor la încovoiere se obțin valori ridicate pentru limita de curgere și de rupere la încovoiere simultan cu cifre bune de plasticitate. Limita de curgere și rezistența de rupere cresc cu creșterea temperaturii de revenire pînă la aproximativ 670⁰K după care rămîn practic constante. Valorile sunt ridicate și anume $G_0 > 200 \text{ daN/mm}^2$ iar $G_r > 350 \text{ daN/mm}^2$. Indicii care dau relații asupra tenacității-săgeata și lucrul mecanic de încovoiere - cresc continu cu creșterea temperaturii de revenire. Rezultă că în zona de temperaturi de revenire în care apar fenomene de durificare secundară, oțelurile nu manifestă tendință spre fragilizare (fig.4.8 ; 4.9 ; 4.12).

Cunoașind variația durităților și a caracteristicilor de rezistență și de tenacitate a oțelurilor Cu - Cr - Mo cu temperatura de revenire, se poate alege, pe baza proprietăților cerute în exploatare, regimul optim de tratament termic final.

Încercările de reziliență efectuate nu evidențează nicio vreo sensibilitate a oțelurilor cercetate față de temperatură de revenire iar analizele microfractografice, făcute pe probele de reziliență, indică în general forme de con - cupă, caracteristice rupturilor duotile sau semiduotile. Nici o probă nu prezintă ruptură fragilă. Fractografiile probelor rupte la încovoiere statică indică apariția olivajului, mai accentuat la probele călite și din ce în ce mai atenuat, cu cît crește temperatura de revenire.

6.4.- Fiabilitatea sculelor de preluorare la rece executate din oțelurile Cu - Cr - Mo

Înceroarele la uzură abrazivă executate în laborator, evidențează o comportare comparabilă a oțelurilor cercetate,

slab aliate, cu a celor bogat aliate de tip C 120.

Soula executată pentru ștanțarea lamelei negative de la bateria 3 R 12, a dovedit în exploatare de asemenea o comportare comparabilă cu cele din oțeluri bogat aliate cu orom.

Stanța de perforat și decupat suportul balast CDIF a fost solicitată mai complex datorită caracteristicilor materialului preluorat, atât caracteristicii de rezistență cît și grosimea tablei.

Cercetările efectuate în exploatare sunt încă insuficiente pentru a cuprinde întregul domeniu de utilizare posibilă a oțelurilor Cu - Cr - Mo, oțeluri de înaltă rezistență și tenacitate ridicată. Însă prin corelarea rezultatelor obținute, cu caracteristicile mecanice determinate în laborator, în funcție de temperatura de revenire, apare posibilitatea de a alege oțelul și tratamentul termic optim pentru mai multe repere și soule de preluorare la rece a materialelor. Rămîne de asemenea deschisă problema capaoității de preluorare la cald, avînd în vedere că duritatea oțelurilor cercetate rămîne ridicată - peste 50 HRC - pînă la temperaturi de revenire de 823°K .

BIBLIOGRAFIE

- 1.- W.Köster : Stahl und Eisen 49 (1929) 5
- 2.- G.Massing : Stahl und Eisen 48 (1928) p.1472
- 3.- F.Nehl : Stahl und Eisen 50 (1930) p.678
- 4.- E.Sühnchen ; E.Piwowski : Giesserei 22 (1935) p.96
- 5.- K.Daeves ; K.Trapp : Stahl und Eisen 58 (1938) p.245
- 6.- E.Houdremont ; H.Schrader : Techn.Mitt.Krupp.Forschungsberichte A₂ (1939)
- 7.- W.Koch ; H.J.Wiester : Stahl und Eisen 69 (1949) p.80
- 8.- F.Rapatz : Die Edelstähle.Berlin/Göttingen/Heidelberg Springer Verlag 1951
- 9.- H.Juretzek : Giesserei 29 (1942) p.217-243
- 10.- F.Wever ; A.Rose ; W.Strassburg : Max - Planck Inst.für Eisenforschung (1955) Heft 143
- 11.- H.Schenk ; E.Schmidtmann ; H.Brandis : Inst.für Eisenhüttenwesen der Rhein - Westf. T.H.Aachen (1961) Heft 957
- 12.- H.Kainer : Archiv für das Eisenhüttenwesen 21 (1950) p.39
- 13.- K.Bungardt ; O.Mülders ; W.Schmidt : Stahl und Eisen 81 (1961) p.670
- 14.- K.Sieber : Draht 3 (1952) nr.1
- 15.- H.Heine : Werkstattstechnik und Masch.-Bau 40 (1950) p.214
- 16.- K.A.Krekeler : Stahl und Eisen 76 (1956) p.1360
- 17.- K.A.Krekeler : Stahl und Eisen 78 (1958) p.1575
- 18.- E.Zmihorski : Härterei Techn.mitt. 15 (1960) nr.4
- 19.- - - - - Anonym Journ.Metals 13 (1961) nr.9
- 20.- S.Wilmes : Stahl und Eisen 81 (1961) p.676
- 21.- G.Luoas : Materialprüfung III (1961) Nr.11
- 22.- K.Bungardt : Stahl und Eisen 77 (1957) Nr.26
- 23.- K.Bungardt : Stahl und Eisen 79 (1959) Nr.18
- 24.- F.Faller : Werkstatt und Betrieb 89 (1956) p.553
- 25.- F.Rapats : Stahl und Eisen 76 (1956) Nr.6
- 26.- G.Steven : Metal Progress 75 (1959) p.76
- 27.- O.Dörrenberg ; O.Mülders : Stahl und Eisen 84 (1964) p.26

- 28.- K.O.Bungardt : Stahl und Eisen 76 (1956) p.689 .
29.- - - - - Atlas für Wärmebehandlung der Stähle
30.- A.Rose ; L.Rademacher : Stahl und Eisen 77 (1957).p.409
31.- A.Schrader ; F.Wever : Arch.Eisenhüttenw. 23 (1952) p.489
32.- W.Jellinghaus ; E.Houdremont : Arch.Eisenhüttenw.25 (1954)
p.263
33.- A.Rose ; W.Strassburg : Stahl und Eisen 75 (1955).p.1472
34.- A.Rose ; W.Strassburg : Stahl und Eisen 76 (1956) p.976 ;
p.996.
35.- A.Rose ; W.Strassburg : Archiv Eisenhüttenw. 27 (1956)
p.573
36.- K.O.Bungardt : Stahl und Eisen 75 (1955) p.1035 ..
37.- A.Rose ; A.Kirsch : Stahl und Eisen 80 (1960) Nr.15
38.- A.Rose : Stahl und Eisen 85 (1965) Nr.20
39.- H.K.Görlich : Arch.Eisenhüttenw. 27 (1956) Nr.2 ..
40.- H.Beisswenger ; E.Scheil : Arch. f.d. Eisenhüttenw. 27
(1956) Nr.6
41.- W.Jellinghaus : Arch.Eisenhüttenw. 27 (1956) Nr.7
42.- R.Dies. : Werkstatt u. Betrieb 89 (1956) Nr.4
43.- W.Lueg ; H.G.Müller : Stahl und Eisen 76 (1956) Nr.14
44.- A.Rose ; L.Rademacher : Stahl und Eisen 80 (1960) Nr.17
45.- P.Roll : Handbuch der Giessereitechnik.Springer-Verl.
Berlin 1959
46.- A.Rose : Arch. f.d. Eisenhüttenw. 35 (1964) p.209
47.- H.Houdremont : Handbuch der Sonderstahlkunde.Springer-Verl
Berlin 1959
48.- F.Nehl : Stahl und Eisen 72 (1952) p.1261
49.- H.Schumann : Metallurgie und Giess.Techn. 4 (1954) p.474
50.- J.L.Hurley ; C.H.Shelton : ASM metals Engng quart.
6 (1966) mai (25 - 31)
51.- A.G.Haynes : Nickel - Berichte 25 (1967) Nr.8
52.- M.Trusulescu : Studiul metalelor.Ed.Ped.Şi Did.Buc.1971
53.- F.Rapatz : Die Edelstähle V.Aufl.Springer Verl.B/G/H 1962
54.- H.Colan : Ceroctări privind influența și difuz. Cu în ște-
luri și aliaje Fe-C sinterizate 1961 Cluj
55.- H.Kreye ; E.Hornbogen ; F.Hässner : Archiv f.d. Eisen-
hüttenw. 41 (1970) Nr.5.
56.- K.W.Lange ; H.Schenk : Archiv f.d. Eisenhüttenw. 41
(1970) Nr.7

- 57.- R.Mitsche ; K.L.Maurer : Archiv f.d. Eisenhüttenw. 26.
" (1955) Nr.9
- 58.- A.Randak ; K.Vetter : Archiv f.d. Eisenhüttenw. 40
" (1969) p.285
- 59.- H.Hubert : Metalurgia (1965) Nr.6.
- 60.- H.Hubert : Metalurgia (1965) Nr.11
- 61.- S.Baiou ; H.Hubert : Studii și cunoșteri de met. (1966)
vol.11 Nr.2
- 62.- P.van Bleyenberge ; K.Cousemont : Culegere de lucru.-25
Congres internațional de turnătorie
Bruxelles 1958 - vol.III
- 63.- E.Jovitău ; A.M.Tache : Influența conținutului de Cu asupra proprietăților OLC 35. Protocol
1961
- 64.- H.Schuman : Metallographie. VEB D.Verlag Grundstoffind.
Leipzig 1969
- 65.- H.J.Eckstein : Eisenwerkstoffe. VEB D.Verlag.Grundstoffind.
Leipzig 1971
- 66.- A.P.Guleaev : Tratamentul termic al oțelului. Ed.Tehn.
București 1962
- 67.- W.Küntscher ; K.Werner : Technische Arbeitsstähle. Ed.III
VKB Verlag - Technik Berlin
- 68.- N.J.Culp ; J.S.Pendleton : Metal Progress 77 (1960) Nr.5
- 69.- N.J.Culp ; J.Neil : Metal Progress 79. (1961) Nr.6.
- 70.- F.Nehl. ; A.Rose : Stahl und Eisen 74 (1954) p.1054
- 71.- H.Born : Stahl und Eisen 73 (1953) Nr.20
- 72.- M.Feller : Stahl und Eisen 82 (1962) Nr.21
- 73.- F.Eisenstecken ; W.Stinnes : Archiv f.d. Eisenhüttenw. 27
(1956) Nr.7
- 74.- W.Oelsen ; E.Sohürmann : Archiv f.d. Eisenhüttenw. 30
(1959) Nr.11
- 75.- K.Gerischer : Mech.Versuchsanstalt DR Kirchmäser
- 76.- O.Dürrenberg ; O.Mülders : Stahl und Eisen 84 (1964) Nr.26
- 77.- F.Labonek : Hutn.Listy 17 (1962) Nr.8
- 78.- Thonnangamath Ramchandran : Archiv f.d. Eisenhüttenw. 32
(1961) Nr.3.
- 79.- St.Mantea și C. : Teoria și practica trat. termic. Ed.tehn.
București 1966

- 80.- St.Mantea și C. : Metalurgie fizică. Ed.tehn.Bucureşti
1970
- 81.- N.Geru : Propr.met și met.fizice de control.EDP
Bucureşti 1967
- 82.- G.Cosneanu ; V.Covacevici ; V.Dumitrescu ; C.Vinnoenz :
Elaborarea aliajelor de turnătorie în cupoare
electrice cu inducție. Ed.tehn.Buc.1974
- 83.- I.Munteanu ; V.Olariu ; S.Basoa : Presarea la rece. Ed.tehn.
Bucureşti 1965
- 84.- A.Cirillo ; Const.Picos ; C.Bohosievici : Tehnologia matri-
țării și ștanțării la rece.EDP Buc.1966
- 85.- I.Lăzărescu ; G.Stetiu : Proiectarea ștanțelor și matri-
ților.EDP Buc.1973
- 86.- I.Drăgan : Tehnologia forjării și matrițării. EDP Buc.1961
- 87.- George E.Dieter : Metalurgie mecanică (trad.engl).Ed.tehn.
Bucureşti 1970
- 88.- I.Tripșa, I.Dragomir : Teoria proceselor siderurgice,
EDP Buc. 1972
- 89.- V.G.Agheenkov, G.Ia.Mihin : Calculul Metalurgic (1.rusă)
Ed. tehn. 1964
- 90.- Al.Rău : Elaborarea otelurilor, Ed.tehn.Buc.1959

L ISTA FIGUR ILOR

- Fig.1.1.- Influența cuprului asupra caracteristicilor de rezistență ale fierului
- Fig.1.2.- Influența cuprului asupra rezilienței oțelului OLC 35
- Fig.1.3.- Diagrama de echilibru Fe - Cu
- Fig.1.4.- Influența conținutului în Cu asupra diagramei CCT a unui oțel cu 0,45 % C
- Fig.1.5.- Influența conținutului în Cu asupra diagramei consti-
tuentilor
- Fig.1.6.- Influența oromului și a molibdenului asupra comportă-
rii oțelurilor la revenire
- Fig.1.7.- Influența conținutului de Mo în oțel asupra temperatu-
rilor de transformare la răcire
- Fig.1.8.- Diagrama constituentilor din oțeluri în funcție de
conținutul de C și de Mo
- Fig.2.1.- Probe de forjabilitate. Înălțimea a fost redusă cu
2/3 . 1:1
- Fig.2.2.- Structuri de forjare , șarja A (x 600) :
a.- secțiune transversală
b.- secțiune longitudinală
- Fig.2.3.- Structuri de forjare, șarja B (x 600) :
a.- secțiune transversală
b.- secțiune longitudinală
- Fig.2.4.- Structuri de forjare, șarja C (x 600) :
a.- secțiune transversală
b.- secțiune longitudinală
- Fig.2.5.- Diagrama de recocere pendulară cu răcire dirijată
- Fig.3.1.- Diagrame dilatometrice :
a.- șarja A
b.- șarja B
c.- șarja C
- Fig.3.2.- Variația diferenței temperaturilor de transformare la încălzire și răcire - ΔA_1 respectiv ΔA_3 - în func-
ție de conținutul în Cu
- Fig.3.3.- Coeficientul ΔT pentru corectarea temperaturii ori-
tice calculate

Fig.3.4.- Variația carbonului echivalent în funcție de conținutul în Cu

Fig.3.5.- Structura de recoacere pendulară a șarjei A(x 1080)

Fig.3.6.- Structura de recoacere pendulară a șarjei B(x 1080)

Fig.3.7.- Structura de recoacere pendulară a șarjei C(x 1080)

Fig.3.8.- Structura de recoacere obișnuită a șarjei A(x 1080)

Fig.3.9.- Structura de recoacere obișnuită a șarjei B(x 1080)

Fig.3.10.- Structura de recoacere obișnuită a șarjei C(x 1080)

Fig.3.11.- Structura de călire a seriei A-4 (x 1080)

Fig.3.12.- Structura de călire a seriei A-8 (x 1080)

Fig.3.13.- Structura de călire a seriei B-4 (x 1080)

Fig.3.14.- Structura de călire a seriei B-8 (x 1080)

Fig.3.15.- Structura de călire a seriei C-4 (x 1080)

Fig.3.16.- Structura de călire a seriei C-8 (x 1080)

Fig.3.17.- Microstructură electronică din seria C-4 (x 17 000)

Fig.3.18.- Variația duratăii în funcție de temperatura de revenire

Fig.3.19.- Structuri de revenire, șarja A (x 1080) :

- a.- revenit la 473°K
- b.- revenit la 573°K
- c.- revenit la 673°K
- d.- revenit la 723°K
- e.- revenit la 773°K
- f.- revenit la 823°K
- g.- revenit la 873°K
- h.- revenit la 923°K

Fig.3.20.- Structuri de revenire, șarja B (x 1080) :

- a.- revenit la 473°K
- b.- revenit la 573°K
- c.- revenit la 673°K
- d.- revenit la 723°K
- e.- revenit la 773°K
- f.- revenit la 823°K
- g.- revenit la 873°K
- h.- revenit la 923°K

Fig.3.21.- Structuri de revenire, șarja C ($\times 1080$);

- a.-revenit la 473°K
- b.-revenit la 573°K
- c.-revenit la 673°K
- d.-revenit la 723°K
- e.-revenit la 773°K
- f.-revenit la 823°K
- g.-revenit la 873°K
- h.-revenit la 923°K

Fig.3.22.- Microstructura electronică a probelor C-3

$$(T_{\text{rev}} = 473^{\circ}\text{K})$$

Fig.3.23.- Microstructura electronică a probelor din șarja C, revenite la 673°K :

- a.-x 2740
- b.-x 5700

Fig.3.24.- Microstructura electronică a probelor din șarja C, revenite la 873°K :

- a.-x 2740
- b.-x 5700

Fig.4.1.- Variația rezistivității electrice în funcție de temperatură de revenire

Fig.4.2.- Variația cîmpului coercitiv și a magnetismului remanent în funcție de temperatura de revenire

Fig.4.3.- Diagrama de încovoiere

Fig.4.4.- Dispozitiv de măsurare directă a săgeții la încovoiere

Fig.4.5.- Diagrama de încovoiere - șarja A:

- a.-probă călită
- b.-probă călită și revenită la 573°K
- c.-probă călită și revenită la 673°K
- d.-probă călită și revenită la 773°K
- e.-probă călită și revenită la 823°K

Fig.4.6.- Diagrama de încovoiere - șarja B:

- a.-probă călită
- b.-probă călită și revenită la 573°K
- c.-probă călită și revenită la 673°K
- d.-probă călită și revenită la 773°K
- e.-probă călită și revenită la 823°K

Fig.4.7.- Diagrame de încovoiere - șarja C:

- a.-probă călită
- b.-probă călită și revenită la 573°K
- c.-probă călită și revenită la 673°K
- d.-probă călită și revenită la 773°K
- e.-probă călită și revenită la 823°K

Fig.4.8.- Caracteristicile de rezistență ale oțelului A:

- a.-variația caracteristicilor la încovoiere în funcție de temperatura de revenire
- b.-variația săgeții totale, elastice și plastice
- c.-variația lucrului mecanic total, elastic și plastic

Fig.4.9.- Structurile microfractografice ale probelor de încovoiere - oțelul A ($\times 2000$):

- a.-probă călită și revenită la 573°K
- b.-probă călită și revenită la 673°K
- c.-probă călită și revenită la 823°K

Fig.4.10.-Caracteristicile de rezistență ale oțelului A:

- a.-variația caracteristicilor la încovoiere în funcție de temperatura de revenire
- b.-variația săgeții totale, elastice și plastice
- c.-variația lucrului mecanic total, elastic și plastic

Fig.4.11.-Structurile microfractografice ale probelor de încovoiere - oțelul B ($\times 2000$):

- a.-probă călită și revenită la 573°K
- b.-probă călită și revenită la 673°K
- c.-probă călită și revenită la 823°K

Fig.4.12.-Caracteristicile de rezistență ale oțelului C:

- a.-variația caracteristicilor la încovoiere în funcție de temperatura de revenire
- b.-variația săgeții totale, elastice și plastice
- c.-variația lucrului mecanic total, elastic și plastic

Fig.4.13.-Structurile microfractografice ale probelor de încovoiere - oțelul C:

- a.-probă călită
- b.-probă călită și revenită la 573°K
- c.-probă călită și revenită la 673°K
- d.-probă călită și revenită la 823°K

Fig.4.14.- Variația rezilienței în funcție de temperatură de revenire

Fig.4.15.- Structurile microfractografice ale probelor de reziliență - oțelul A (x 15 200) :

- a.- probă călită și revenită la 473°K
- b.- probă călită și revenită la 673°K
- c.- probă călită și revenită la 823°K

Fig.4.16.- Structurile microfractografice ale probelor de reziliență - oțelul B (x 15 200) :

- a.- probă călită și revenită la 473°K
- b.- probă călită și revenită la 673°K
- c.- probă călită și revenită la 823°K

Fig.4.17.- Structurile microfractografice ale probelor de reziliență - oțelul C (x 15 200) :

- a!- probă călită și revenită la 473°K (x 15 200)
- b!- probă călită și revenită la 473°K (x 8 500)
- a"-.- probă călită și revenită la 473°K (x 4 100)
- b.- probă călită și revenită la 673°K (x 15 200)
- c.- probă călită și revenită la 823°K (x 15 200)

Fig.5.1.- Forma și dimensiunile probelor de uzură

Fig.5.2.- Stanța pentru decuparea lamelei negative pentru bateria 3 R 12 :

- a ; b - poansoane executate din oțelul cercoitat
- c.- stanța

Fig.5.3.- Lamela negativă pentru bateria 3 R 12

Fig.5.4.- Banda de alamă și fazele de lucru

Fig.5.5.- Placă suport balast CDIF - GH

Fig.5.6.- Bandă de decupat și fazele de lucru

Fig.5.7.- Stanța pentru decupat placa suport balast CDIF

- a ; b ; c - poansoane de șlișuit , $\varnothing 2,2$ și de bercluit executate din oțelurile cercoitate
- d.- stanța

L ISTA TABELELOR

- Tabelul 2.1.- Compoziția chimică a oțelurilor aliate cu
Cu - Cr - Mo elaborate
- Tabelul 2.2.- Duritatea oțelurilor elaborate
- Tabelul 2.3.- Duritatea oțelurilor după recoacerea pendulară
cu răcire dirijată
- Tabelul 3.1.- Punctele critice de transformare stabilite di-
latometric
- Tabelul 3.2.- Temperaturile critice calculate
- Tabelul 3.3.- Valorile calculate ale carbonului echivalent
- Tabelul 3.4.- Duritatea Vickers la sarcini mici ale consti-
tuentilor probelor recopate
- Tabelul 3.5.- Duritatea oțelurilor după recoacerea obținută
și răcire lentă în cupor
- Tabelul 3.6.- Duritatea probelor călăze
- Tabelul 3.7.- Duritatea seriilor de probe 4 și 8
- Tabelul 3.8.- Duritatea probelor revenite în funcție de
durata de revenire
- Tabelul 3.9.- Duritatea oțelurilor Cu - Cr - Mo în funcție de
temperatura de revenire
- Tabelul 4.1.- Rezistivitatea electrică ρ [Ωm] în funcție de
temperatura de revenire - oțelul A
- Tabelul 4.2.- Rezistivitatea electrică ρ [Ωm] în funcție de
temperatura de revenire - oțelul B
- Tabelul 4.3.- Rezistivitatea electrică ρ [Ωm] în funcție de
temperatura de revenire - oțelul C
- Tabelul 4.4.- Cîmpul coercitiv și magnetismul remanent în
funcție de temperatura de revenire - oțelul A
- Tabelul 4.5.- Cîmpul coercitiv și magnetismul remanent în
funcție de temperatura de revenire - oțelul B
- Tabelul 4.6.- Cîmpul coercitiv și magnetismul remanent în
funcție de temperatura de revenire - oțelul C
- Tabelul 4.7.- Valorile de rezistență stabilite prin încercare
la încovoiere - oțelul A
- Tabelul 4.8.- Valorile de rezistență stabilite prin încercare
la încovoiere - oțelul B
- Tabelul 4.9.- Valorile de rezistență stabilite prin încercare
la încovoiere - oțelul C

Tabelul 4.10.- Valorile medii caracteristice ale oțelurilor
Cu - Cr - Mo

Tabelul 4.11.- Reziliența oțelurilor cercozate în funcție de
temperatura de revenire

Tabelul 5.1.- Uzura relativă a oțelurilor Cu - Cr - Mo.

TABLA DE MATERII

Cap.1. CONSIDERATII TEORETICE ASUPRA OTELURILOR ALIATE	
Cu-Cr-Mo DESTINATE SCULELOR PENTRU PRELUCRAREA	.. .
LA RECE FARA DEGAJARE DE ASCHII A METALELOR .. .	1
1.1. Alegera materialului pentru sculele folosite în procesul de prelucrare la rece a metalelor	
1.2. Considerații teoretice asupra oțelurilor Cu-Cr-Mo pentru scule de prelucrare la rece .. .	5
1.2.1. Influența cuprului în oțel	
1.2.2. Influența cromului în oțel	.. . , 10
1.2.3. Influența molibdenului în oțel 11
1.2.4. Necesitatea elaborării unor oțeluri aliante cu Cu-Cr-Mo 13
Cap.2. ELABORAREA SI FORJAREA OTELULUI ALIAT Cu-Cr-Mo .. .	15
2.1. Elaborarea șarjelor de oțel complex aliat .. .	
2.2. Forjarea și recoacerea oțelurilor elaborate .. .	18
2.2.1. Forjarea oțelurilor Cu-Cr-Mo. Forjabilitatea .. .	
2.2.2. Recoacerea oțelurilor elaborate .. .	20
2.3. Concluzii asupra elaborării și forjării oțelurilor cercetate , 21
Cap.3. TRATAMENTE TERMICE APLICATE OTELURILOR Cu-Cr-Mo .. .	23
3.1. Punctele critice ale transformărilor de fază la răcire .. .	
3.2. Determinarea carbonului echivalent 28
3.3. Structurile de recoacere ale oțelurilor cercetate 29
3.4. Călirea și revenirea oțelurilor aliante cu Cu-Cr-Mo 33
3.4.1. Călirea oțelurilor cercetate .. .	
3.4.2. Revenirea oțelurilor călite 38
3.5. Concluzii asupra regimului de tratament termic și a transformărilor de fază 49
Cap.4. PROPRIETATILE FIZICO-MECANICE ALE OTELURILOR	
Cu-Cr-Mo .. .	51
4.1. Caracteristicile electrice și magnetice ale oțelurilor cercetate .. .	
4.2. Proprietățile mecanice ale oțelurilor tratate 63

4.2.1.Incercarea la încovoiere.Tenacitatea oțelurilor cercetate.Analiza microfractografică 63
4.2.2.Incercarea de reziliență.Analiza microfractografică 88
4.3.Concluzii asupra proprietăților fizico-mecanice ale oțelurilor cercetate 97
Cap.5.COMPORTAREA IN EXPLOATARE A OTELURIILOR ALIATE	
Cu-Cr-Mo 99
· 5.1.Rezistența la uzură a oțelurilor aliante	
· Cu-Cr-Mo 100
· 5.2,Rezultate din exploatare
· 5.3.Concluzii 107
Cap.6.CONCLUZII FINALE	
· 6.1.Contribuții la elaborarea și prelucrarea termică a oțelurilor Cu-Cr-Mo	
· 6.2.Transformările structurale în oțelurile Cu-Cr-Mo...109	
· 6.3,Proprietățile mecanice ale oțelurilor Cu-Cr-Mo. . . 110	
· 6.4.Fiabilitatea sculelor de prelucrare la rece, executate din oțelurile Cu-Cr-Mo	
BIBLIOGRAFIE 112
LISTA FIGURILOR 117
LISTA TABELELOR 122